

บทที่ 3

ผลการทดลอง

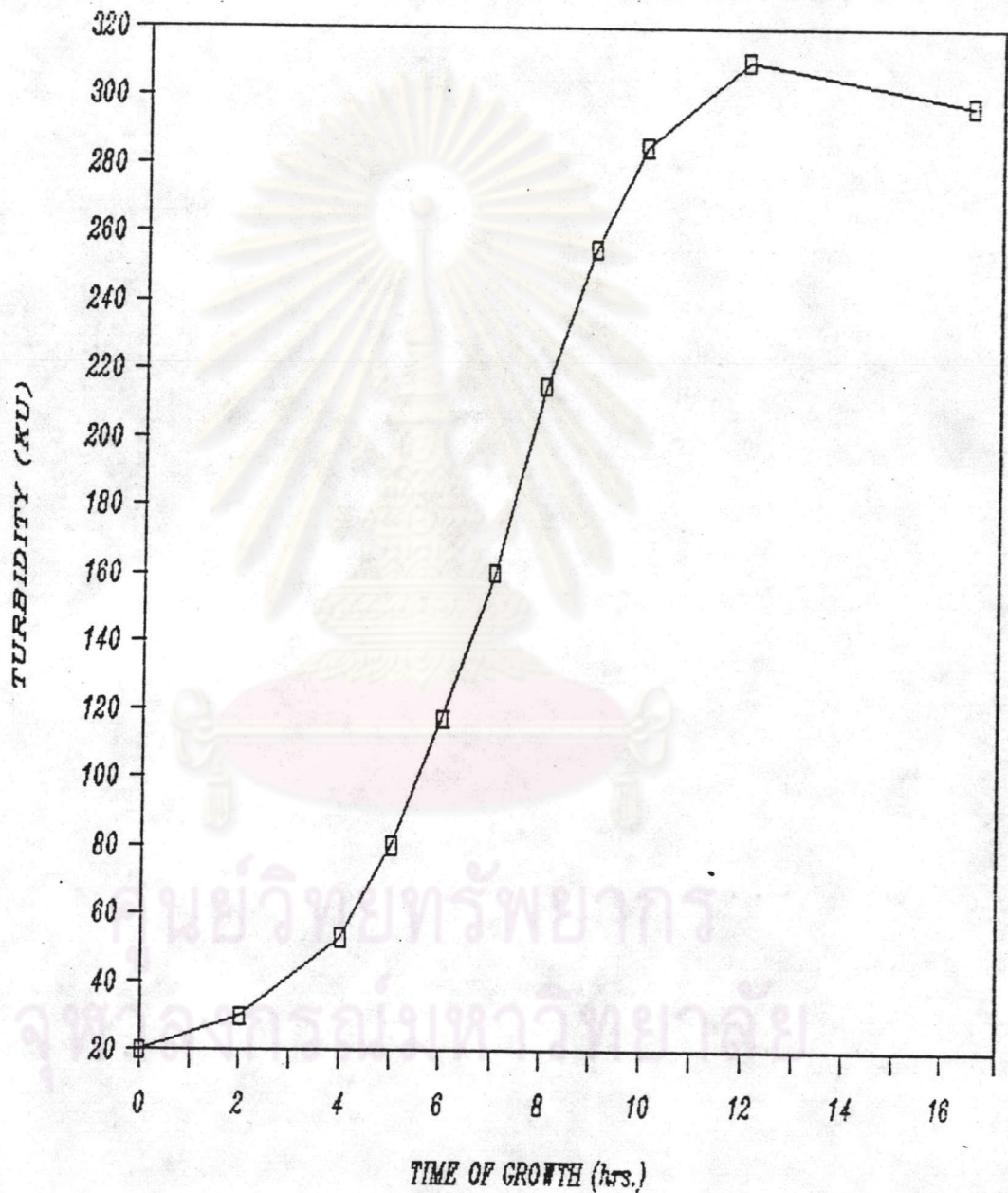
1. การศึกษาการเจริญของไรโซเบียมในสภาวะที่มีความเครียดของไรโซเดียมคลอไรด์

1.1 การเจริญของ *Rhizobium* sp. TAL 141 ในอาหารสูตรปรับต่ำ

ไรโซเบียมเป็นแบคทีเรียที่สามารถสร้างเมือกได้ ดังนั้นการติดตามการเจริญของไรโซเบียมโดยการวัดค่าการดูดแสงอาจทำให้ได้ข้อมูลที่ไม่ถูกต้อง เพื่อที่จะนำวิธีการวัดค่าการดูดแสงซึ่งเป็นวิธีที่สะดวกในการติดตามการเจริญของแบคทีเรียมาใช้แทนการนับจำนวนเซลล์ที่มีชีวิต (viable cell count) จึงได้ทดลองติดตามการเจริญของเชื้อโดยการนับจำนวนเซลล์ที่มีชีวิตและการวัดค่าการดูดแสงที่ระยะการเจริญต่าง ๆ ของเชื้อ

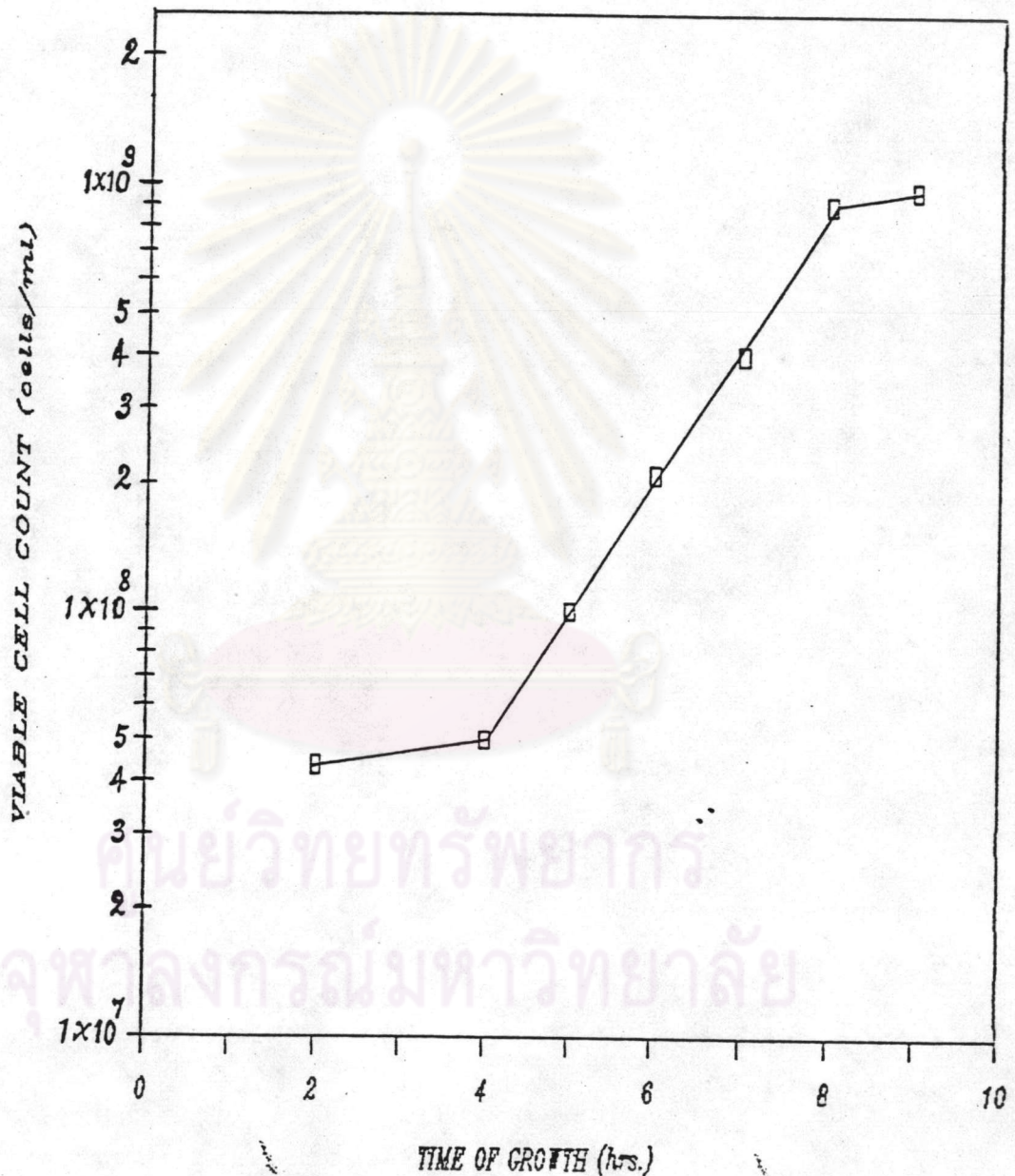
ในการศึกษาการเจริญของไรโซเบียมสายพันธุ์ TAL 141 ในอาหารสูตรปรับต่ำสองชนิดคือ MGG และ MMG ได้สร้างกราฟมาตรฐาน 3 แบบ คือ 1. กราฟความสัมพันธ์ระหว่างความขุ่นของเซลล์ในหน่วย KU (Klett Units) กับช่วงเวลาการเจริญของเชื้อ 2. จำนวนเซลล์ที่มีชีวิตต่อมิลลิลิตร กับช่วงเวลาการเจริญของเชื้อ 3. กราฟความสัมพันธ์ระหว่างจำนวนเซลล์ที่มีชีวิตกับความขุ่นของเซลล์ ที่ระยะการเจริญต่าง ๆ ของเชื้อ ซึ่งแสดงในรูปที่ 1 ก, ข, ค และ รูปที่ 2 ก, ข, ค ตามลำดับ ดังนั้นการหาเวลาที่ใช้ในการเพิ่มจำนวนเซลล์สองเท่า (generation time) ของเชื้อสามารถกระทำได้โดยการใช้กราฟมาตรฐานดังกล่าวข้างต้น ในการแปรค่าความขุ่นในหน่วย KU ให้อยู่ในหน่วยของจำนวนเซลล์ที่มีชีวิตเสียก่อน จึงอ่านค่าเวลาที่ใช้เพิ่มจำนวนเซลล์สองเท่า ข้อจำกัดในการแปรค่าคือจะต้องเลือกใช้ในช่วงกราฟความสัมพันธ์ที่มีลักษณะเป็นเส้นตรง ซึ่งพบว่าอยู่ในช่วงการเจริญระยะ mid log ตัวอย่างเช่น การประมาณเวลาที่ใช้ในการเพิ่มจำนวนเซลล์สองเท่าของไรโซเบียมสายพันธุ์ TAL 141 ในอาหารเหลวสูตรปรับต่ำ MGG เป็นดังนี้ ในรูปที่ 1 ค ค่าความขุ่นที่ 100 KU เท่ากับจำนวนเซลล์ที่มีชีวิต 1.3×10^8 ต่อมิลลิลิตร ซึ่งสัมพันธ์กับช่วงเวลาที่ใช้ในการเจริญ 5.4 ชั่วโมงในรูปที่ 1 ข และที่จำนวนเซลล์สองเท่าคือ 2.6×10^8 ต่อมิลลิลิตร สัมพันธ์กับช่วงเวลาที่ใช้ในการเจริญ 6.4 ชั่วโมง ดังนั้นเวลาที่ใช้ในการเพิ่มจำนวนเซลล์สองเท่าในอาหารสูตรปรับต่ำ MGG จึงเท่ากับ 1 ชั่วโมง

รูปที่ 1 ก. กราฟแสดงความสัมพันธ์ระหว่างความขุ่นของ เชื้อกับช่วง เวลาที่เข้าในการเจริญ
อาหารสูตรปรับค่า MGG



รูปแบบการเจริญของ *Rhizobium* sp. TAL 141 ซึ่งได้จากการวัดความขุ่นของคัลเจอร์ที่ช่วง
เวลาการเจริญต่าง ๆ

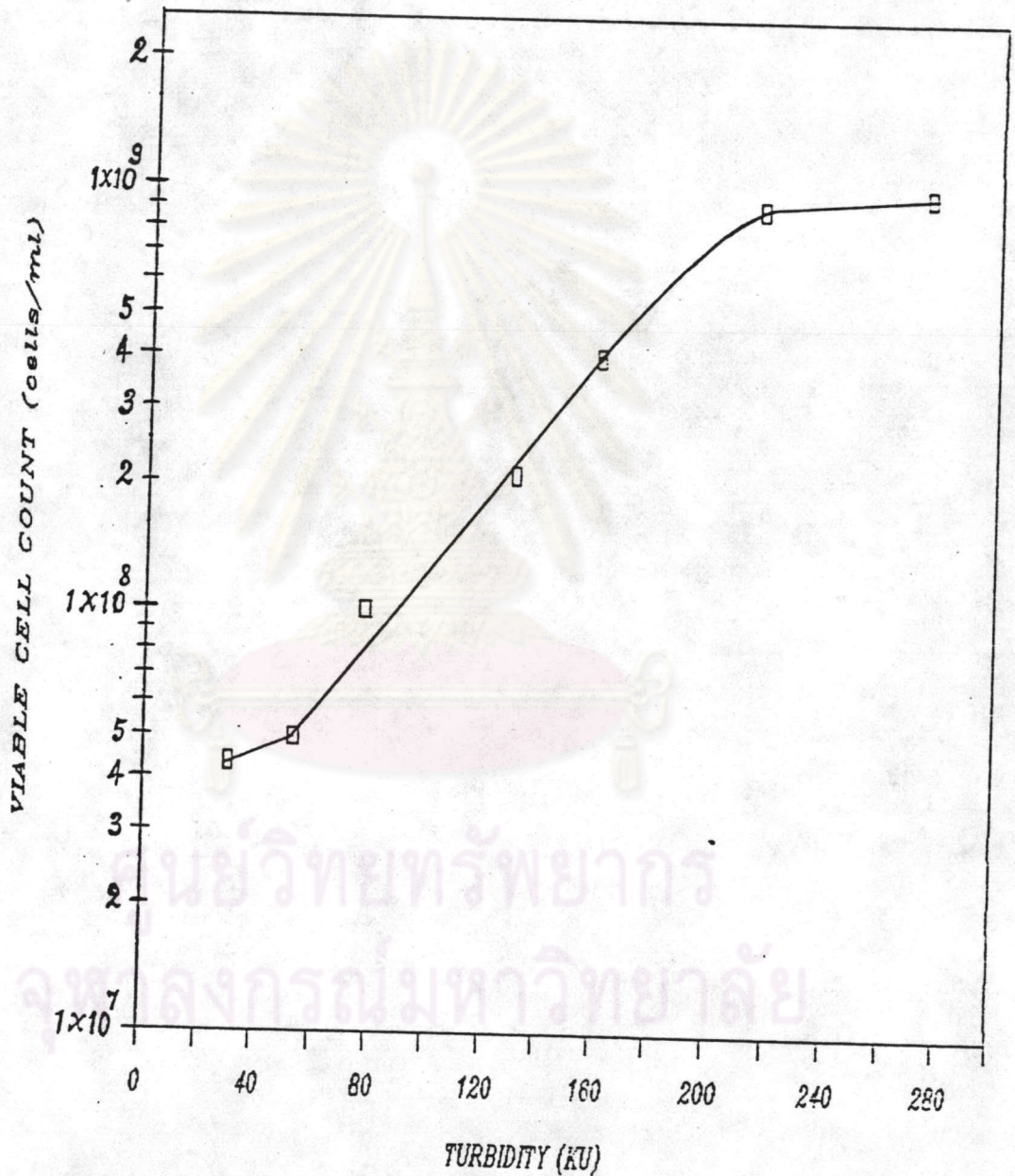
รูปที่ 1 ข กราฟแสดงความสัมพันธ์ระหว่างจำนวนเซลล์ที่มีชีวิตกับช่วงเวลาการเจริญของ เชื้อ
ในอาหารสูตรปรับต่ำ MGG



รูปแบบการเจริญของ *Rhizobium* sp. TAL 141 ซึ่งได้จากการนับจำนวนเซลล์ที่มีชีวิตที่ช่วงเวลาการเจริญต่าง ๆ

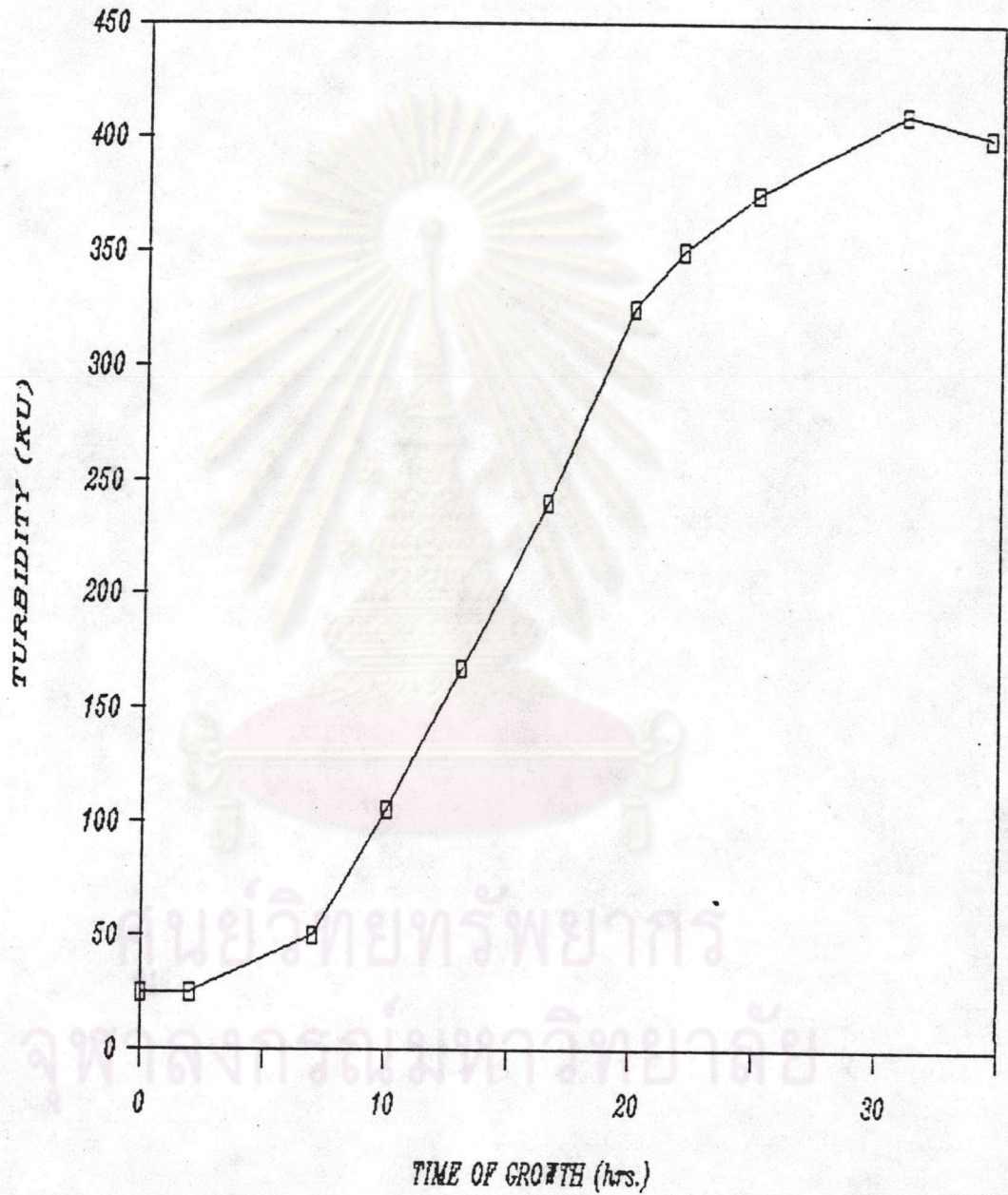


รูปที่ 1 ค กราฟแสดงความสัมพันธ์ระหว่างจำนวนเซลล์ที่มีชีวิตและความขุ่นของ เซื้อานอาหาร
สูตรปรับค่า MGG



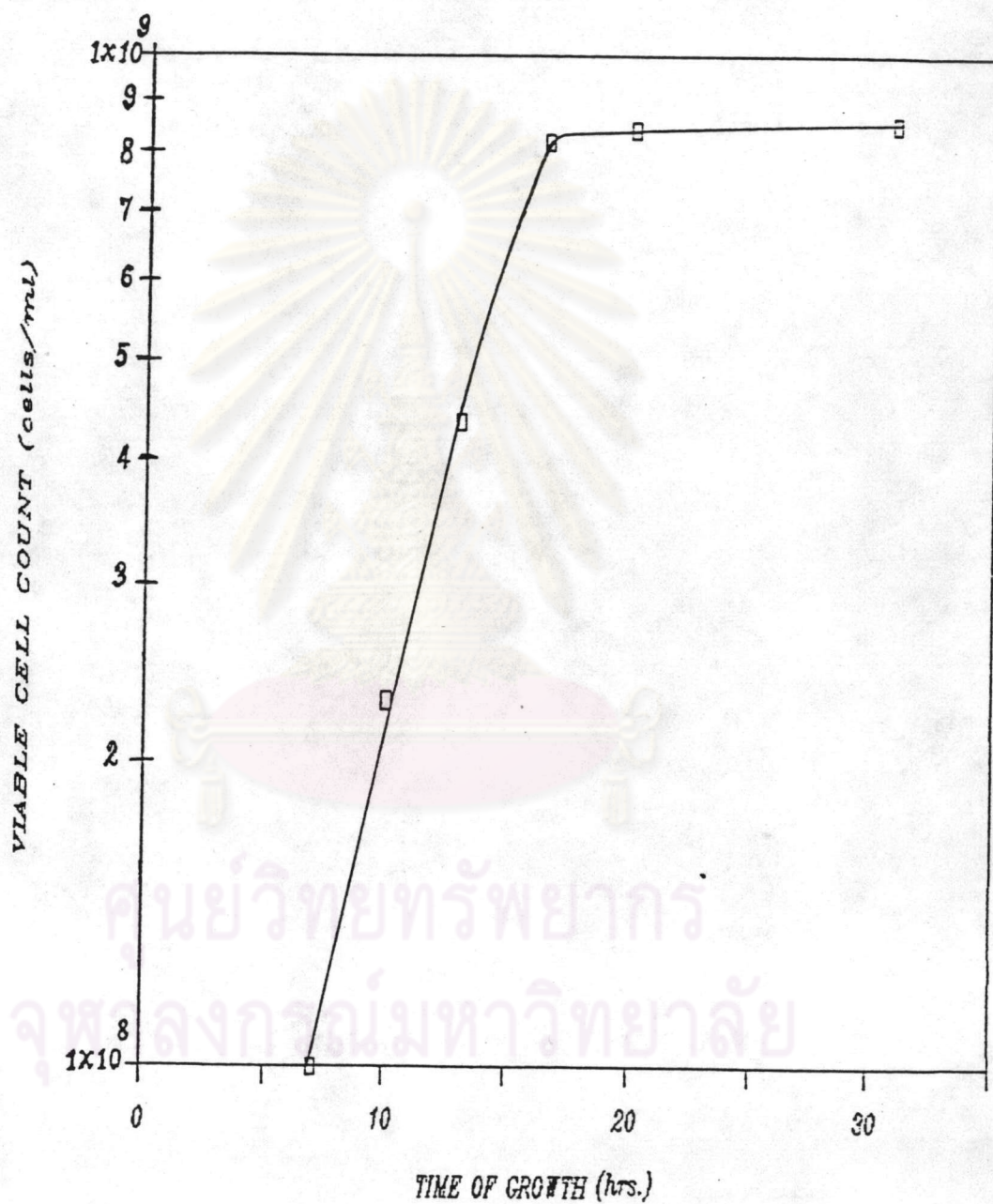
รูปกราฟแสดงความขุ่นของ เซลล์กับจำนวน เซลล์ที่มีชีวิตที่ช่วง เวลาที่สัมพันธ์กัน

รูปที่ 2 ก กราฟแสดงความสัมพันธ์ระหว่างความขุ่นของ เชื้อกับช่วง เวลาที่ใช้ในการเจริญ
อาหารสูตรปรับค่า MMG



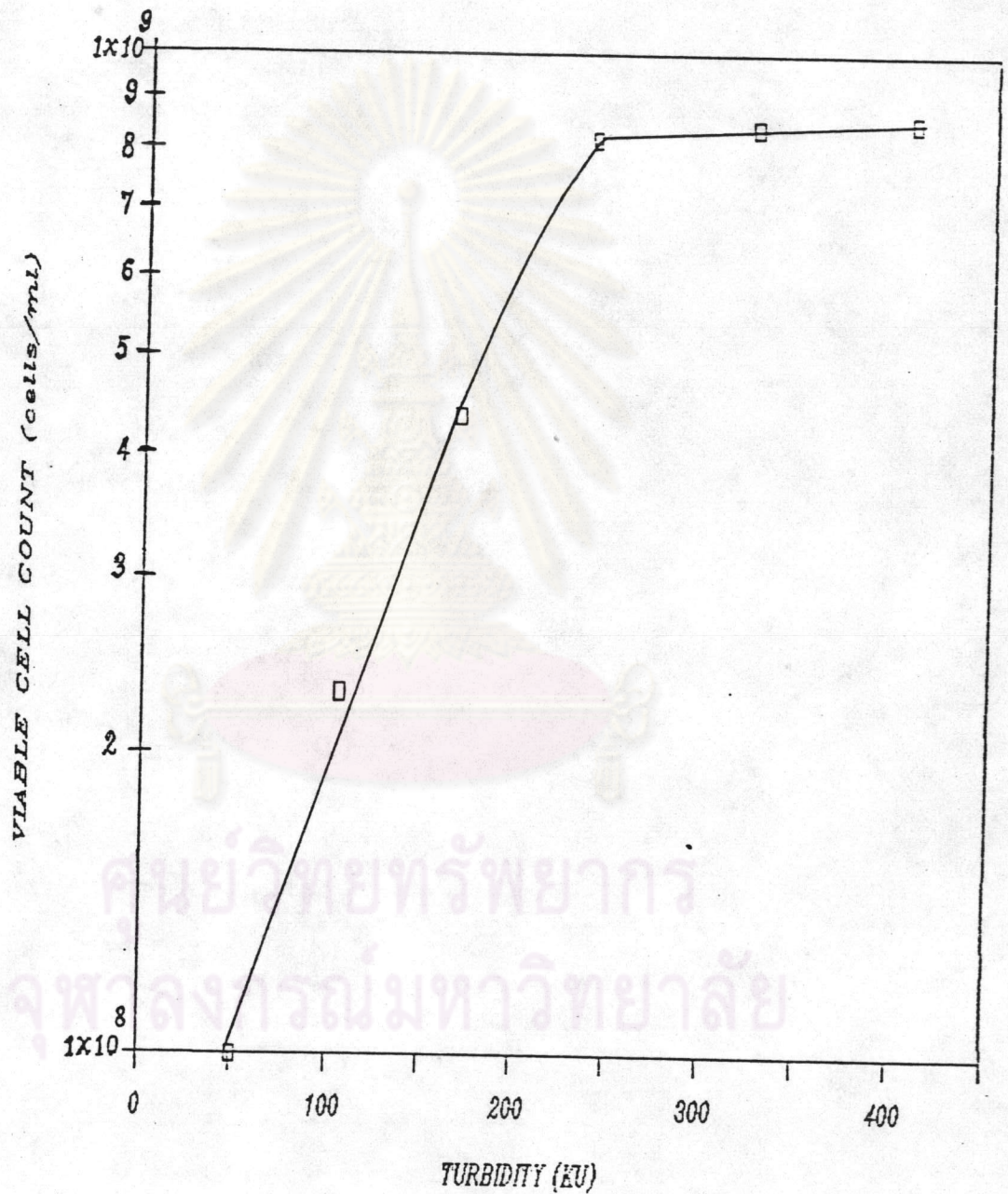
รูปแบบการเจริญของ Rhizobium sp. TAL 141 ซึ่งได้จากการวัดความขุ่นของคัลเจอร์ที่ช่วง
เวลาการเจริญต่าง ๆ

รูปที่ 2 ข กราฟแสดงความสัมพันธ์ระหว่างจำนวนเซลล์ที่มีชีวิตกับช่วงเวลาในการเจริญของเชื้อ
ในอาหารสูตรปรับต่ำ MMG



รูปแบบการเจริญของ *Rhizobium* sp. TAL141 ซึ่งได้จากการนับจำนวนเซลล์ที่มีชีวิตที่ช่วง
เวลาการเจริญต่าง ๆ

รูปที่ 2 ค กราฟแสดงความสัมพันธ์ระหว่างจำนวนเซลล์ที่มีชีวิตและความขุ่นของเชื้อในอาหาร
สูตรปรับค่า MMG



รูปกราฟแสดงความขุ่นของ เซลล์กับจำนวนเซลล์ที่มีชีวิตที่ช่วง เวลาที่สัมพันธ์กัน

ในทำนองเดียวกัน การหาเวลาที่ใช้ในการเพิ่มจำนวนเซลล์สองเท่าในอาหารสูตรปรับต่ำ MMG ก็สามารถกระทำได้โดยวิธีที่กล่าวมาแล้วข้างต้น ซึ่งเวลาที่ใช้ในการเพิ่มจำนวนเซลล์สองเท่าในอาหารสูตรปรับต่ำ MMG เท่ากับ 3 ชั่วโมง

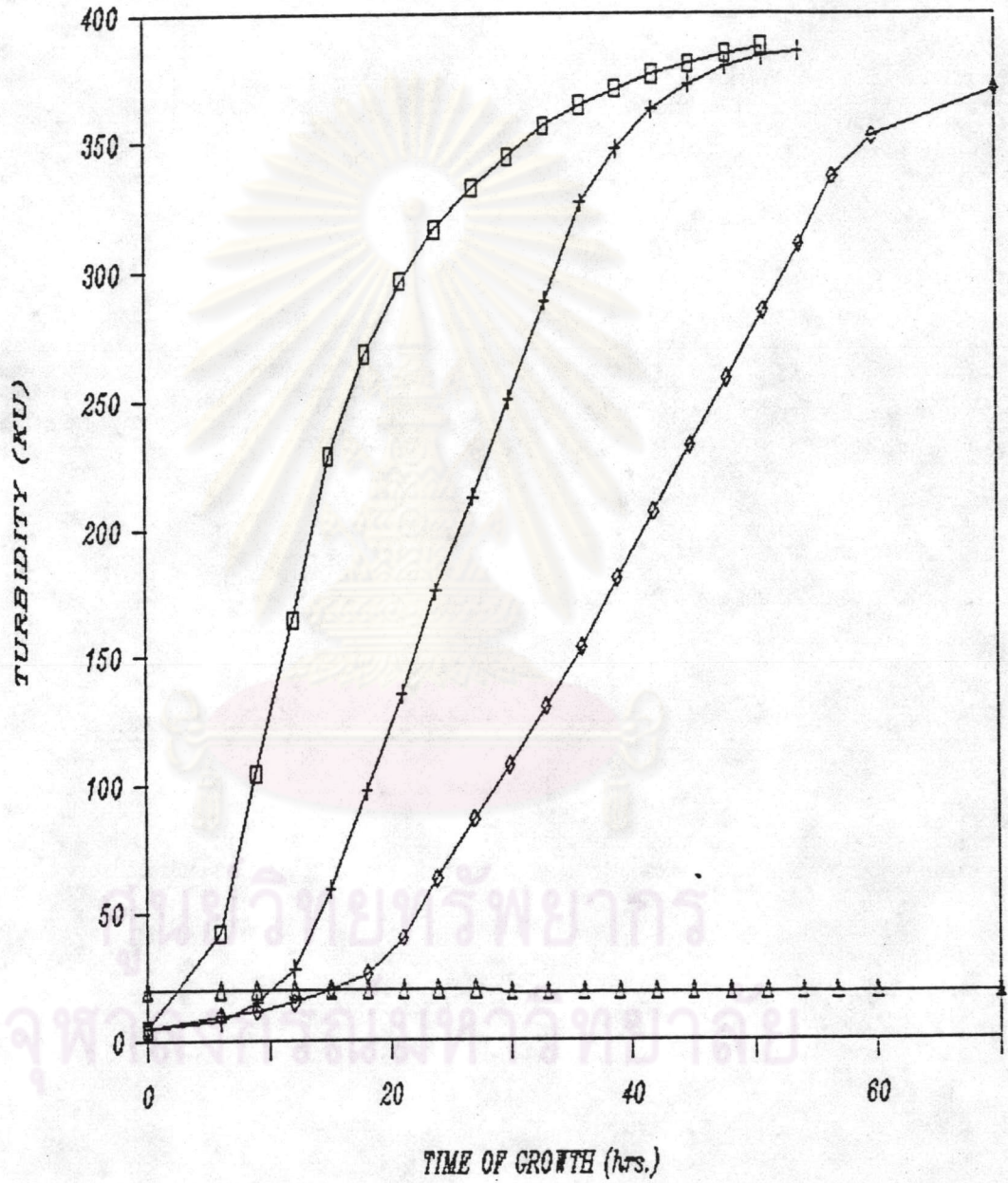
1.2 การศึกษาการเจริญของไรโซเบียมในสภาวะที่มีความเครียดของโซเดียมคลอไรด์ ได้เปรียบเทียบการเจริญของไรโซเบียมที่สามารถทนเค็ม 2 สายพันธุ์ คือ TAL 141 และ TAL 380 ในอาหารเหลวสูตรปรับต่ำ MMG, MGG ที่เสริมด้วยโซเดียมคลอไรด์ 0.3, 0.5 และ 0.7 โมลาร์ ซึ่งแสดงรูปแบบการเจริญไว้ในรูปที่ 3 - 6 สรุปได้ดังนี้คือ

1.2.1 การเจริญของไรโซเบียมสายพันธุ์ TAL 141 ในอาหารสูตรปรับต่ำ MMG ที่มีความเครียดของโซเดียมคลอไรด์ 0.3 และ 0.5 โมลาร์ (รูปที่ 3) ไม่แตกต่างจากการเจริญในสภาวะปกติ ทั้งค่าการเจริญสูงสุดและเวลาที่ใช้ในการเพิ่มจำนวนเซลล์สองเท่ามีค่าใกล้เคียงกัน แต่การเจริญในสภาวะที่มีความเครียด จะใช้เวลาในการพักตัว (lag phase) นานกว่าการเจริญในสภาวะปกติ และเวลาในการพักตัวจะยาวนานขึ้นเมื่อเพิ่มความเข้มข้นของโซเดียมคลอไรด์ นอกจากนี้ยังพบว่า TAL 141 ไม่สามารถเจริญได้ในอาหารสูตร MMG ที่ความเข้มข้นของโซเดียมคลอไรด์ 0.7 โมลาร์

1.2.2 การเจริญของ TAL 141 ในอาหารเหลวสูตรปรับต่ำ MGG ที่มีความเครียดของโซเดียมคลอไรด์ แตกต่างจากการเจริญในสภาวะปกติโดยสิ้นเชิง กล่าวคือ การเจริญในสภาวะที่มีความเครียดของโซเดียมคลอไรด์ 0.3 โมลาร์ ต้องใช้เวลาในการเพิ่มจำนวนเซลล์สองเท่า ยาวนานเป็น 12 เท่าของสภาวะปกติ และการเจริญสูงสุดลดลงเหลือประมาณ 1 ใน 7 ของสภาวะปกติ ซึ่งสรุปไว้ในตารางที่ 1 สำหรับสภาวะที่มีความเครียดของโซเดียมคลอไรด์ที่ 0.5 และ 0.7 โมลาร์ในอาหารสูตรนี้ พบว่า TAL 141 ไม่สามารถเจริญได้ (รูปที่ 4)

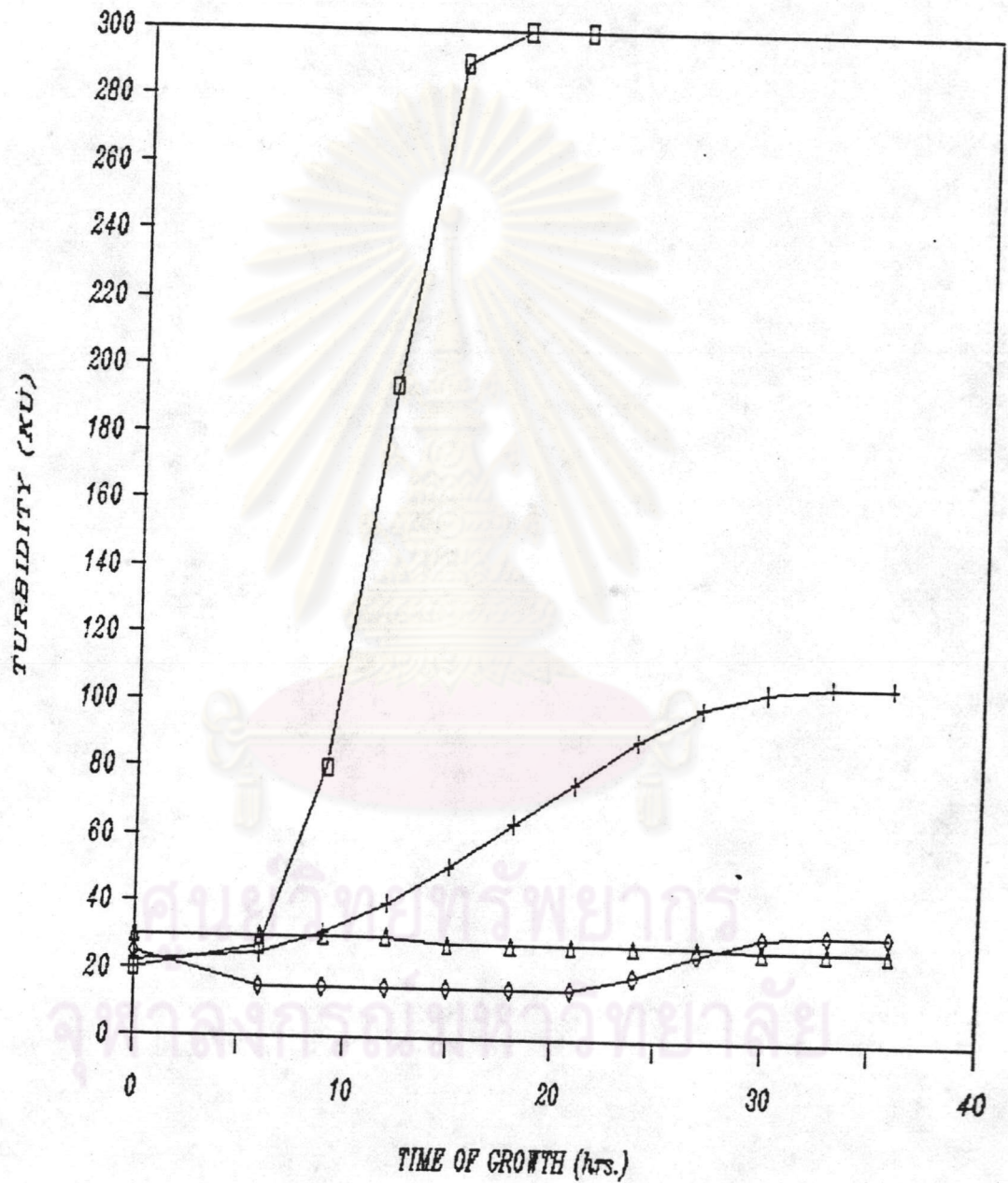
1.2.3 การเจริญของ TAL 380 ในอาหารเหลวสูตรปรับต่ำ MMG ที่มีความเครียดของโซเดียมคลอไรด์ (รูปที่ 5) ไม่แตกต่างจากการเจริญในสภาวะปกติ ทั้งค่าการเจริญสูงสุดและเวลาที่ใช้ในการเพิ่มจำนวนเซลล์สองเท่ามีค่าใกล้เคียงกัน แต่การเจริญในสภาวะที่มีความเครียด จะใช้เวลาในการพักตัว (lag phase) นานกว่าการเจริญในสภาวะปกติ และเวลาในการพักตัวจะยาวนานขึ้นเมื่อเพิ่มความเข้มข้นของโซเดียมคลอไรด์ นอกจากนี้ยังพบว่า TAL 380 ไม่สามารถเจริญได้ในอาหารสูตร MMG ที่ความเข้มข้นของโซเดียมคลอไรด์ 0.7 โมลาร์

รูปที่ 3 รูปแบบการเจริญของไรโซเบียมสายพันธุ์ TAL 141 ในอาหารสูตรปรับค่า MMG ที่มี ความเค็มของโซเดียมคลอไรด์



- | | | | |
|---|----------------|---|----------------|
| □ | MMG | + | MMG+0.3 M NaCl |
| ◇ | MMG+0.5 M NaCl | △ | MMG+0.7 M NaCl |

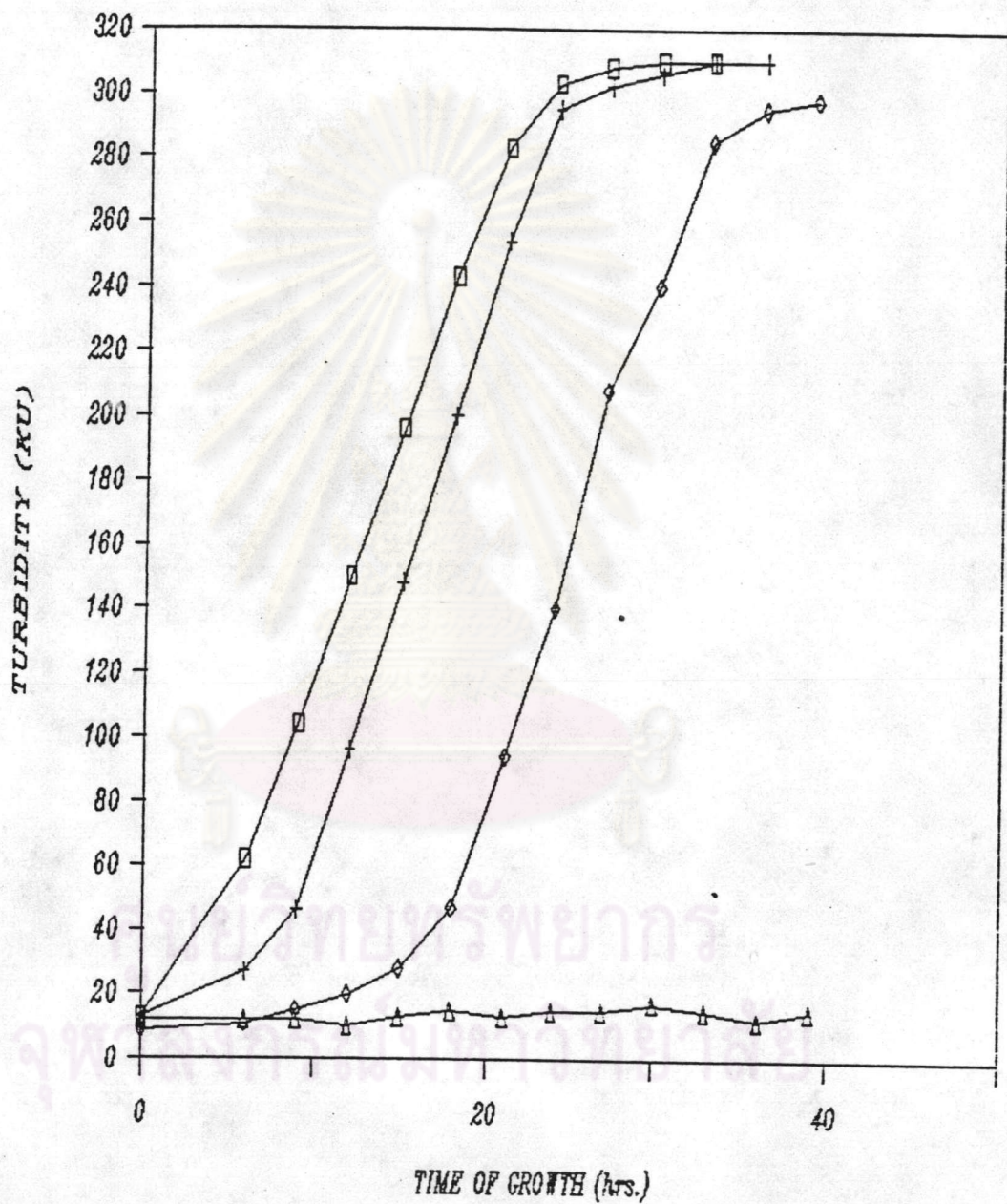
รูปที่ 4 รูปแบบการเจริญของไรโซเบียมสายพันธุ์ TAL 141 ในอาหารสูตรปรับค่า MGG ที่มี
ความเค็มของโซเดียมคลอไรด์



- | | | | |
|---|----------------|---|----------------|
| □ | MGG | + | MGG+0.3 M NaCl |
| ◇ | MGG+0.5 M NaCl | △ | MGG+0.7 M NaCl |



รูปที่ 5 รูปแบบการเจริญของไรโซเบียมสายพันธุ์ TAL 380 ในอาหารสูตรปรับค่า MMG ที่มี
ความเค็มของโซเดียมคลอไรด์



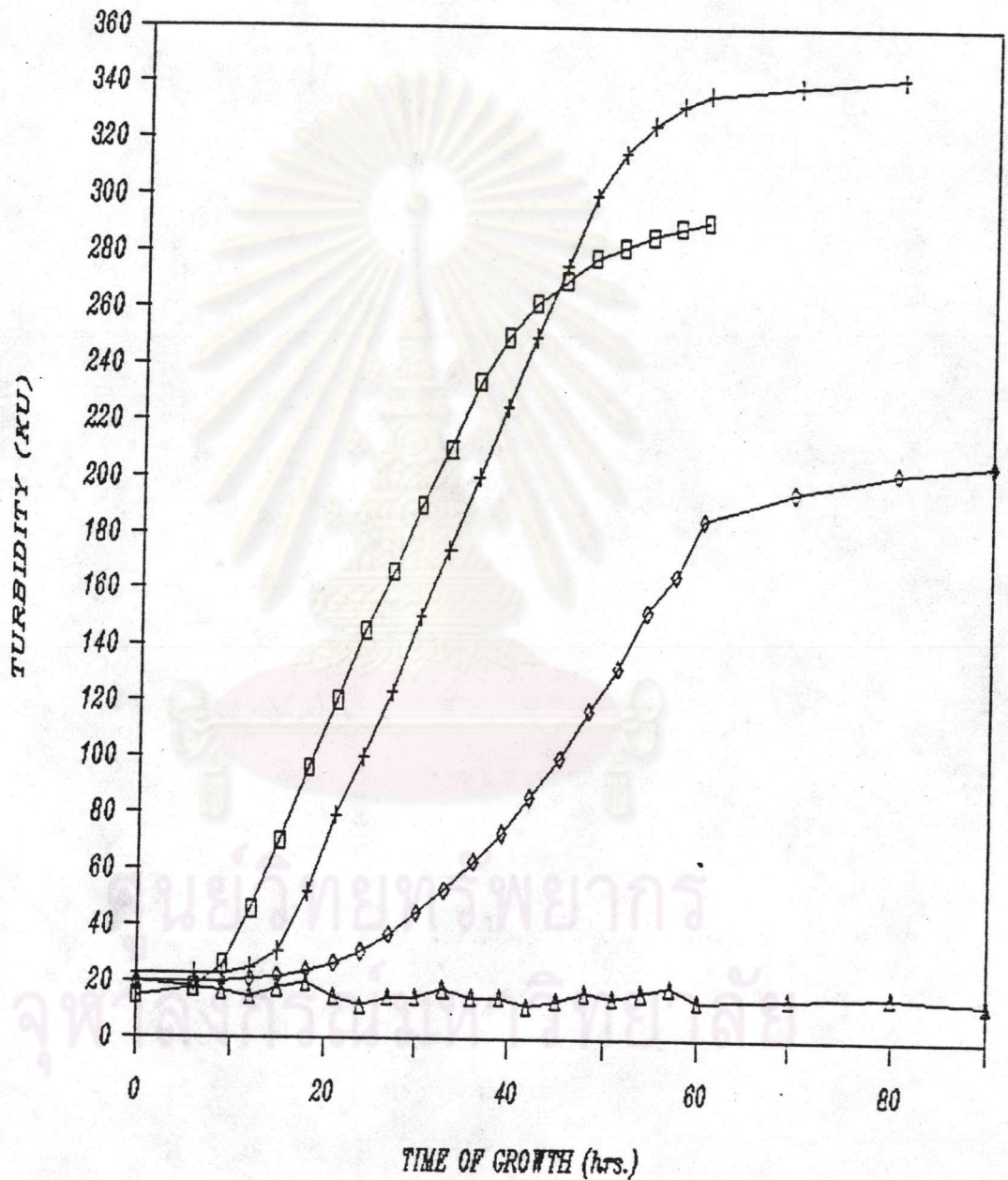
□ MMG

◇ MMG+0.5 M NaCl

+ MMG+0.3 M NaCl

△ MMG+0.7 M NaCl

รูปที่ 6 รูปแบบการเจริญของไวรัสเบียมสายพันธุ์ TAL 380 ในอาหารสูตรปรับค่า MGG ที่มี
ความเค็มของโซเดียมคลอไรด์



- | | | | |
|---|----------------|---|----------------|
| □ | MGG | + | MGG+0.3 M NaCl |
| ◇ | MGG+0.5 M NaCl | △ | MGG+0.7 M NaCl |

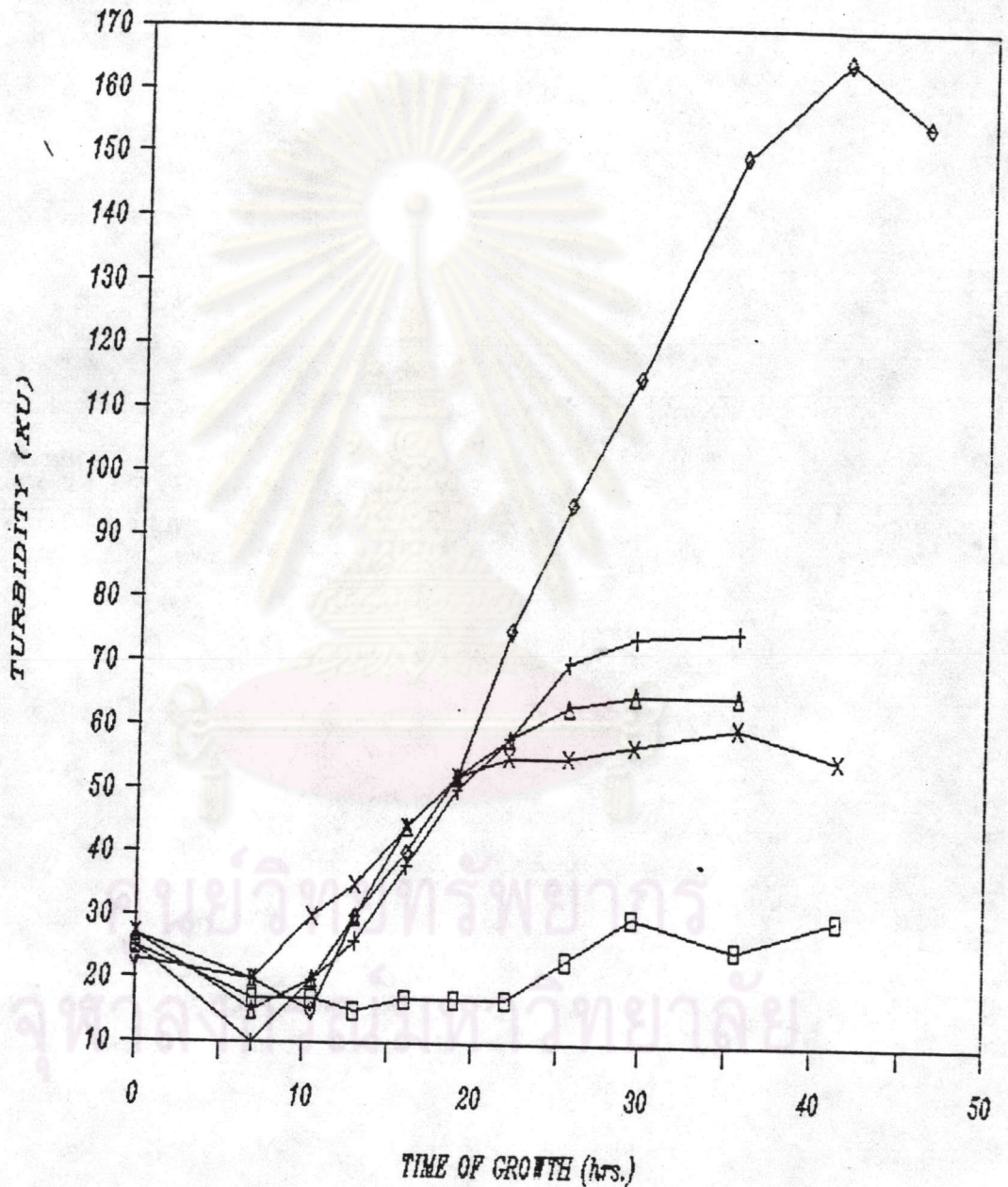
1.2.4 การเจริญของ TAL 380 ในอาหารเหลวสูตรปรับต่ำ MGG ที่มีความเครียดของโซเดียมคลอไรด์ (รูปที่ 6) พบว่า ที่ความเข้มข้นของโซเดียมคลอไรด์ 0.3 โมลาร์ ค่าการเจริญสูงสุดและ เวลาที่ใช้ในการเพิ่มจำนวนเซลล์สองเท่าใกล้เคียงกัน แต่ที่ความเข้มข้นของโซเดียมคลอไรด์ 0.5 โมลาร์ ค่าการเจริญสูงสุดลดลงอย่างมีนัยสำคัญ และไม่พบการเจริญของเชื้อที่ความเข้มข้นของโซเดียมคลอไรด์ 0.7 โมลาร์เช่นกัน ในกรณีของ เวลาที่ใช้หักตัวก็อธิบายได้ในทำนองเดียวกับ TAL 141 (ข้อ 1.2.1)

1.3 บทบาทของไกลซีนบีแทนต่อการเจริญของไรโซเบียมสายพันธุ์ TAL 141 ในสภาวะที่มีความเครียดของโซเดียมคลอไรด์

1.3.1 ความเข้มข้นที่เหมาะสมของไกลซีนบีแทนต่อการเจริญในสภาวะที่มีความเครียดของโซเดียมคลอไรด์ ในการศึกษานี้ได้เจริญเซลล์ไรโซเบียมสายพันธุ์ TAL 141 ในอาหารเหลวสูตรปรับต่ำ MGG ที่มีความเครียดของโซเดียมคลอไรด์ 0.5 โมลาร์ และเสริมด้วยไกลซีนบีแทนที่มีความเข้มข้น 0.1, 1.0, 5.0 และ 10.0 มิลลิโมลาร์ ซึ่งแสดงผลการทดลองในรูปที่ 7 พบว่าไกลซีนสามารถช่วยเพิ่มการเจริญของ TAL 141 ในสูตรอาหารปรับต่ำ MGG ที่มีความเครียดของโซเดียมคลอไรด์ และความเข้มข้นของไกลซีนที่เหมาะสมคือ 1.0 มิลลิโมลาร์ ซึ่งให้ค่าการเจริญสูงสุดมากกว่าสภาวะอื่น ๆ อย่างเห็นได้ชัด

1.3.2 บทบาทของไกลซีนบีแทนในการเพิ่มการเจริญของไรโซเบียมสายพันธุ์ TAL 141 ในอาหารสูตรปรับต่ำ MGG ที่มีสภาวะเครียดของโซเดียมคลอไรด์ จากการเจริญ TAL 141 ในอาหารเหลวสูตรปรับต่ำ MGG ที่มีความเข้มข้นของโซเดียมคลอไรด์ต่างๆ และเสริมไกลซีนบีแทน 1.0 มิลลิโมลาร์ ซึ่งแสดงผลการทดลองไว้ในรูปที่ 8 อธิบายได้ว่า ไกลซีนบีแทน 1.0 มิลลิโมลาร์ สามารถช่วยเพิ่มการเจริญของ TAL 141 ในอาหารสูตรปรับต่ำ MGG ที่มีความเครียดของโซเดียมคลอไรด์ได้ จากการหาค่าการเจริญสูงสุดและ เวลาที่ใช้ในการเพิ่มจำนวนสองเท่าซึ่งแสดงไว้ในตารางที่ 1 พบว่าที่ความเครียดของโซเดียมคลอไรด์ 0.3 โมลาร์ ให้ค่าการเจริญสูงสุด 2.6 เท่าของสภาวะที่มีความเครียดของโซเดียมคลอไรด์ดังกล่าว แต่ไม่เสริมไกลซีนบีแทน (เปรียบเทียบจำนวนเซลล์ที่มีชีวิต) และช่วยเพิ่มอัตราเร็วในการเพิ่มจำนวนเซลล์สองเท่า จากสภาวะที่ไม่เสริมไกลซีนบีแทน 12 ชั่วโมง เหลือเพียง 5 ชั่วโมง นอกจากนี้ยังพบว่าที่ความเข้มข้นของโซเดียมคลอไรด์ 0.5 โมลาร์ ซึ่งไม่มีการเจริญของเชื้อ การเสริมไกลซีนบีแทนในสภาวะนี้ช่วยให้มีการเจริญสูงสุด 7.3 เท่าของสภาวะที่มีความเครียดของโซเดียม

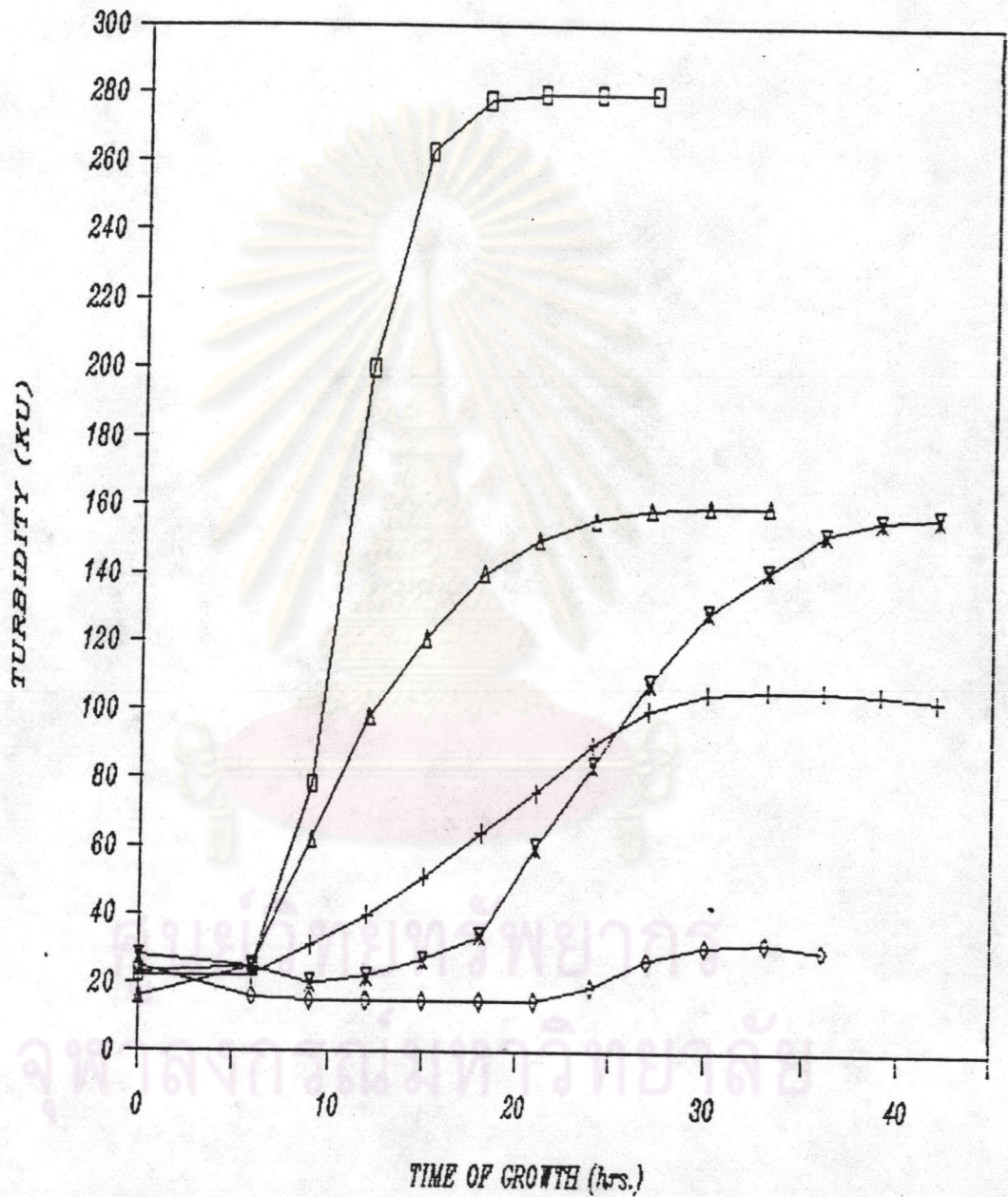
รูปที่ 7 ความเข้มข้นของไกลซีนบีเทนที่เหมาะสมต่อการเจริญของไวรัสเบียมสายพันธุ์ TAL 141 ในอาหารสูตรปรับค่า MGG ที่มีความเค็มของโซเดียมคลอไรด์



- MGG+0.5 M NaCl (no Betaine-HCl)
- + +0.1 mM Betaine-HCl
- ◇ +1.0 mM Betaine-HCl
- Δ +5.0 mM Betaine-HCl
- X +10 mM Betaine-HCl



รูปที่ 8 ผลกระทบของไกลซีนบีเทนในการช่วยเพิ่มการเจริญของ TAL 141 ในอาหารสูตรปรับต่ำ MGG ที่มีโซเดียมคลอไรด์



□ MGG

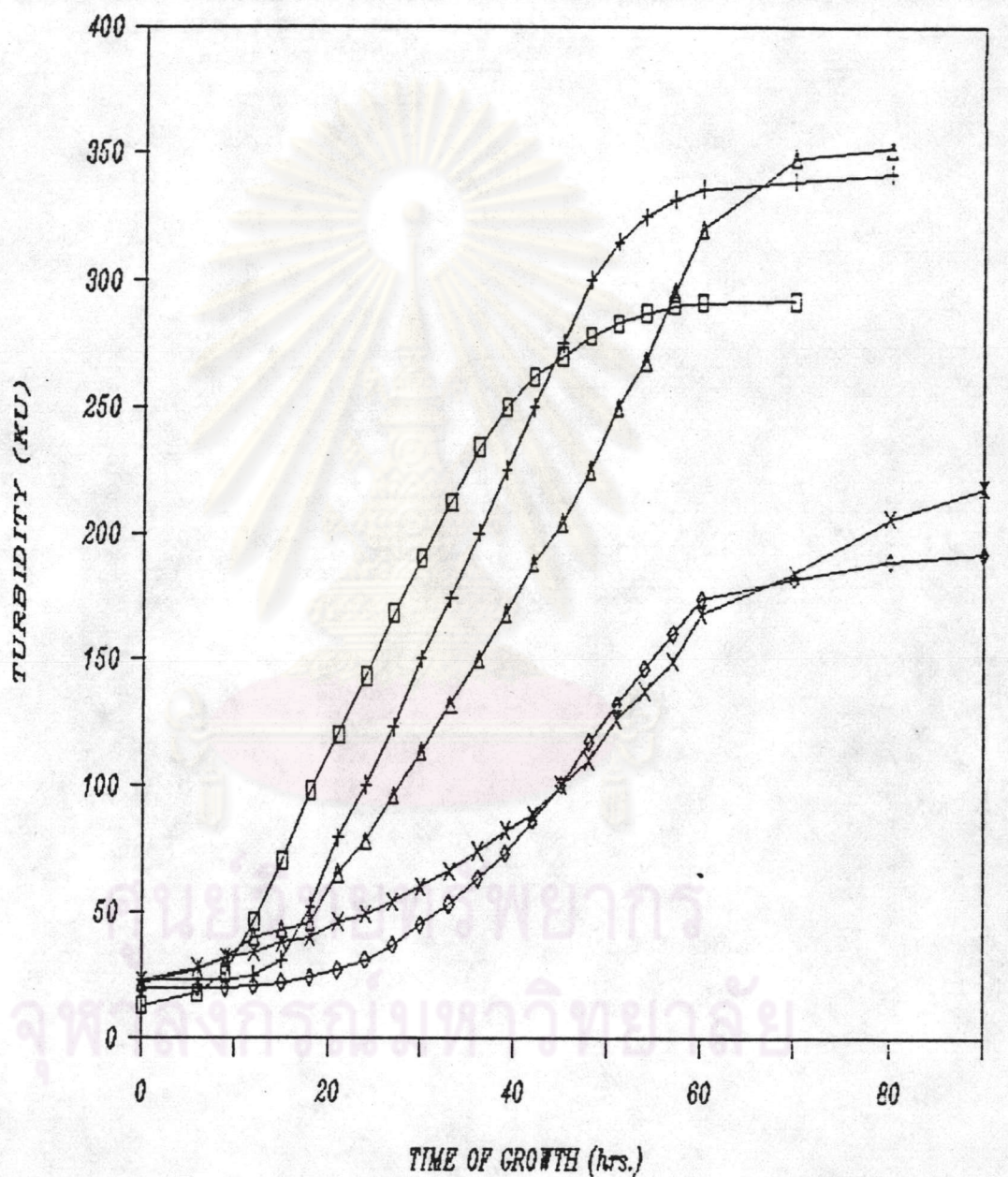
+ +0.3 M NaCl

Δ +0.3 M NaCl+1 mM Betaine-HCl

◇ +0.5 M NaCl

X +0.5 M NaCl+1 mM Betaine-HCl

รูปที่ 9 ผลกระทบของไกลซีนบีเทนต่อการเจริญของ TAL 380 ในอาหารสูตรปรับค่า MGG ที่มี โซเดียมคลอไรด์



□ MGG

+ +0.3 M NaCl

Δ +0.3 M NaCl+1 mM Betaine-HCl

◇ +0.5 M NaCl

X +0.5 M NaCl+1 mM Betaine-HCl

คลอไรด์ดังกล่าวแต่ไม่เสริมไกลซีนบีเทน และใช้เวลาในการเพิ่มจำนวนเซลล์สองเท่า 5.5 ชั่วโมง อย่างไรก็ตาม การเสริมไกลซีนบีเทนสามารถช่วยเพิ่มการเจริญของ TAL 141 ในอาหารสูตรปรับต่ำ MGG ที่มีความเครียดของโซเดียมคลอไรด์ได้ในขีดจำกัดเท่านั้น กล่าวคือ ทั้งค่าการเจริญสูงสุดและเวลาที่ใช้ในการเพิ่มจำนวนเซลล์สองเท่าในสภาวะ เครียดดังกล่าวที่เสริมไกลซีนบีเทน ก็ยังคงมีค่าต่ำและยาวนานกว่าสภาวะปกติ (ตารางที่ 1) และไกลซีนบีเทนไม่สามารถแก้ไขการเจริญของ TAL 141 ในอาหารสูตรดังกล่าวที่มีความเข้มข้นของโซเดียมคลอไรด์ 0.7 โมลาร์ (ไม่ได้แสดงข้อมูลไว้)

ได้ทดลองเสริมไกลซีนบีเทนลงในอาหารสูตรปรับต่ำ MMG ที่มีความเครียดของโซเดียมคลอไรด์ระดับความเข้มข้นต่างๆ ไม่พบว่าไกลซีนบีเทนมีผลต่อการเจริญของ TAL 141 ในสภาวะ เครียดดังกล่าวแต่อย่างใด นอกจากนี้ได้นำไกลซีนบีเทนไปใช้กับสายพันธุ์ TAL 380 ก็ไม่ปรากฏผลกระทบของไกลซีนบีเทนต่อการเจริญ ทั้งการเจริญในอาหารสูตรปรับต่ำ MMG (ไม่ได้แสดงข้อมูล) และ MGG (รูปที่ 9) ที่มีความเครียดของโซเดียมคลอไรด์ระดับความเข้มข้นต่าง ๆ เช่นการเจริญของ TAL 141 ในอาหารสูตรปรับต่ำ MGG ที่มีความเครียดของโซเดียมคลอไรด์

2. การแยกยีนเครื่องหมาย

ได้ทำการแยกยีนเครื่องหมายของ *Rhizobium* sp. TAL 141 และ *R. fredii* โดยการกลายพันธุ์ด้วย NTG 2 และ 1 ครั้งตามลำดับ ซึ่งแยกมิวแทนต์ได้ดังแสดงในตารางที่ 2 จากการกลายพันธุ์ TAL 141 ครั้งแรก ได้สายพันธุ์ TAL 141 ure 1 โคลินี่ ซึ่งมีสมบัติเป็นมิวแทนต์ที่ไม่สามารถอาศัยูเรียเป็นแหล่งต้นตอไนโตรเจน และให้โคลินี่ที่มีเมือกน้อยมากเมื่อเปรียบเทียบกับสายพันธุ์เดิม TAL 141 ซึ่งมีลักษณะ โคลินี่ที่มีเมือกจำนวนมากบนอาหารสูตรเดียวกัน (YM) และแยกยีนเครื่องหมายครั้งที่ 2 ได้สายพันธุ์ TAL 141 ure his 1 โคลินี่ มีสมบัติเป็นมิวแทนต์ที่ไม่สามารถอาศัยูเรียและต้องการฮีสติดีนในการเจริญเติบโต (*his* auxotroph) นอกจากนี้ยังพบว่าการเจริญในอาหารเหลวของมิวแทนต์ชนิดนี้ ในสภาวะที่ให้อากาศโดยการเขย่า จะทำให้เกิดการจับกลุ่มกันของเซลล์ ในกรณีของ USDA 192 ได้แยกยีนเครื่องหมายที่มีสมบัติเป็นออโรเมติกออกโซโทรป จากการกลายพันธุ์ด้วย NTG เพียงครั้งเดียว ได้ออโรเมติกออกโซโทรปชนิดต่าง ๆ กัน คือ USDA 192 Trp Tyr Phe 5 โคลินี่, USDA 192 Trp Phe 1 โคลินี่, USDA 192 trp 5 โคลินี่ USDA 192 tyr 2 โคลินี่ USDA 192 phe 2 โคลินี่

ตารางที่ 1 การเจริญของ TAL 141 ในสูตรอาหารปรับด่ำ MGG ที่มีความเครียดของ โซเดียมคลอไรด์ที่ไม่เสริมและเสริมด้วยบีเทน 1 มิลลิโมลาร์

Conditions	Generation time ⁽¹⁾ (hr)	Growth yield	
		KU	Viable count / ml
1. MGG	1.0	280	9.5×10^8
2. MGG+0.3 M NaCl	12.0	100	1.3×10^8
3. MGG+0.3 M NaCl +1 mM Betaine	5.0	160	3.4×10^8
4. MGG+0.5 M NaCl	NG ⁽²⁾	30	4.4×10^7
5. MGG+0.5 M NaCl +1 mM Betaine	5.5	155	3.2×10^8

(1) ข้อมูลได้จากรูปที่ 8 และแปรค่าจากหน่วย Klett Unit (KU) เป็น Viable cell count ด้วยกราฟความสัมพันธ์รูปที่ 1 ค ก่อนหาค่าการเจริญสูงสุดและการเพิ่มจำนวนเซลล์

(2) NG หมายถึง ไม่มีการเจริญของเชื้อ

ตารางที่ 2 ชนิดของยีนเครื่องหมายและจำนวนมิวแทนต์ที่แยกได้จากการกลายพันธุ์ด้วย NTG

Strains	No. of initial cells	No. of selected mutants	Type/No. of auxotrophs
TAL 141 ⁽¹⁾	7.3×10^9	3712	<u>ure</u> / 1
TAL 141 <u>ure</u> ⁽²⁾	3.5×10^9	2976	<u>his</u> / 1
USDA 192 ⁽¹⁾	5.2×10^9	5460	Trp Tyr Phe/5 Trp Phe/1 <u>trp</u> / 5 <u>tyr</u> / 2 <u>phe</u> / 2

(1) การกลายพันธุ์ด้วย NTG ครั้งที่ 1

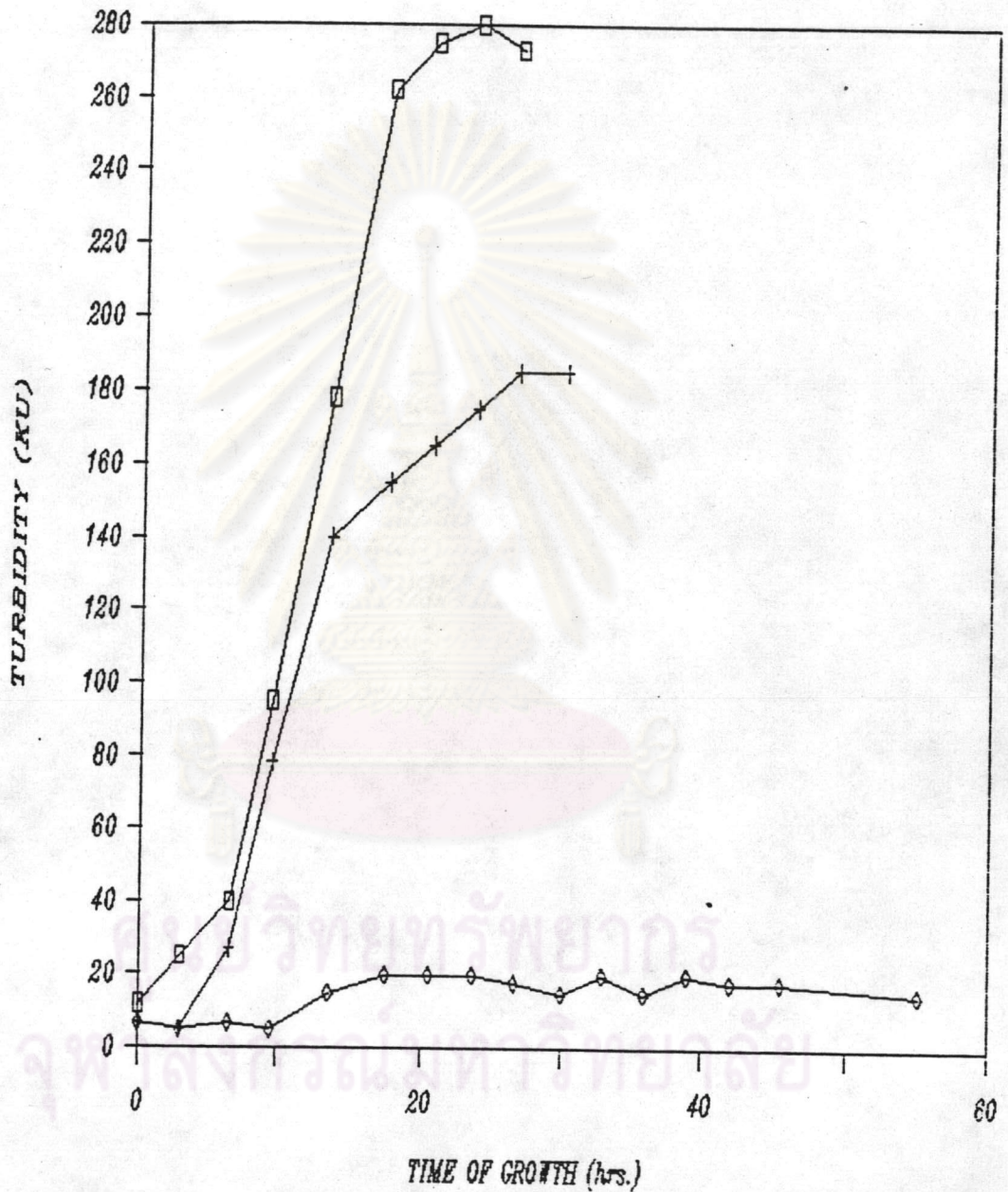
(2) การกลายพันธุ์ด้วย NTG ครั้งที่ 2

จากการสังเกตการเจริญของ TAL 141 ure his และมิวแทนต์ของสายพันธุ์ USDA 192 บนอาหารสูตรครบ (อาหารสูตรที่ 4.6.1) พบว่าสายพันธุ์ TAL 141 ure his มีการเจริญช้ากว่าสายพันธุ์เดิม TAL 141 สำหรับ USDA 192 Trp Phe มีการเจริญใกล้เคียงกับ USDA 192 สายพันธุ์เดิม และสายพันธุ์มิวแทนต์อื่นๆ ได้นำสายพันธุ์ TAL 141 ure his และ USDA 192 Trp Phe มาศึกษาการเจริญในอาหารเหลวสูตรครบ สูตรปรับต่ำ MMG ซึ่งแสดงผลการทดลองในรูปที่ 10 และ 11 จะเห็นว่า TAL 141 ure his และ USDA 192 Trp Phe ซึ่งมีสมบัติเป็นออกซิโทรป ไม่สามารถเจริญในอาหารสูตรปรับต่ำ MMG ในขณะที่มีค่าการเจริญสูงสุดบนอาหารสูตรครบเท่ากับ 185 และ 270 KU ตามลำดับ ต่อมาได้นำสายพันธุ์ TAL 141 ure, TAL 141 ure his, USDA 192 Trp Phe และ USDA 192 Trp Phe อีกสามสายพันธุ์ ไปศึกษาในเทคนิคโพรโทพลาสต์ฟิวชัน

3. การสร้างโพรโทพลาสต์

ครั้งแรกได้ทดลองนำไรโซเบียมชนิดต่างๆ มาใช้สร้างโพรโทพลาสต์ โดยการเจริญในอาหารสูตรอุดม YM ซึ่งเป็นสูตรอาหารปกติที่ใช้เจริญไรโซเบียมได้ดี แล้วสร้างโพรโทพลาสต์โดยใช้ไลโซไซม์ร่วมกับ EDTA ซึ่งใช้ได้ผลกับแบคทีเรียแกรมลบบางชนิด พบว่าเปอร์เซ็นต์ในการเกิดโพรโทพลาสต์ของไรโซเบียมแต่ละชนิดแตกต่างกัน และเมื่อนำโพรโทพลาสต์ไปปั่นล้างเอาไลโซไซม์ออกในสารละลายบัฟเฟอร์ที่มีสารปรับความดันแล้วก็ตาม พบว่าไม่สามารถรักษาสภาพโพรโทพลาสต์ไว้ได้ เนื่องจากภายหลังการปั่นตกตะกอนเซลล์พบลักษณะการจับกันของ เซลล์เป็นก้อน และเมื่อนำเซลล์มากระจายอีกครั้งในสารละลายบัฟเฟอร์ดังกล่าว พบว่ามีการแตกของเซลล์ซึ่งสังเกตจากความขุ่นที่ลดลงอย่างเห็นได้ชัด และเมื่อนำเซลล์ไปวัดค่าการดูดแสง พบว่าค่าการดูดแสงภายหลังการปั่นล้างโพรโทพลาสต์ลดลงถึง 10 เท่า เมื่อเปรียบเทียบกับค่าการดูดแสงของเซลล์ก่อนการสร้างโพรโทพลาสต์ กล่าวคือมีการสูญเสียเซลล์ประมาณ 90 เปอร์เซ็นต์ จึงได้ตัดแปลงขั้นตอนการล้างเซลล์โดยการใช้เซลล์เริ่มต้นที่มีความหนาแน่นสูง (ประมาณ 10^{10} ต่อ มิลลิลิตร) และหาสภาวะการสร้างโพรโทพลาสต์ที่ใช้ปริมาณไลโซไซม์ค่อนข้างต่ำ (ประมาณ 0.2 มิลลิกรัมต่อมิลลิลิตร) แต่ให้เปอร์เซ็นต์โพรโทพลาสต์สูงพอสมควร (มากกว่า 80 เปอร์เซ็นต์) แล้วเจือจางเซลล์ด้วยสารละลายรักษาสภาพโพรโทพลาสต์ 10 เท่า เก็บรักษาที่อุณหภูมิ 4° หรือ -70° ซ นอกจากนี้นี้ยังได้ตัดแปลงสภาวะในการเตรียมโพรโทพลาสต์ที่ได้ผลกับแบคทีเรียแกรมลบ

รูปที่ 10 รูปแบบการเจริญของไวรัสเบียมสายพันธุ์ TAL 141 ure และ TAL 141 ure his ในอาหารสูตรครบ CM และสูตรปรับต่ำ MMG



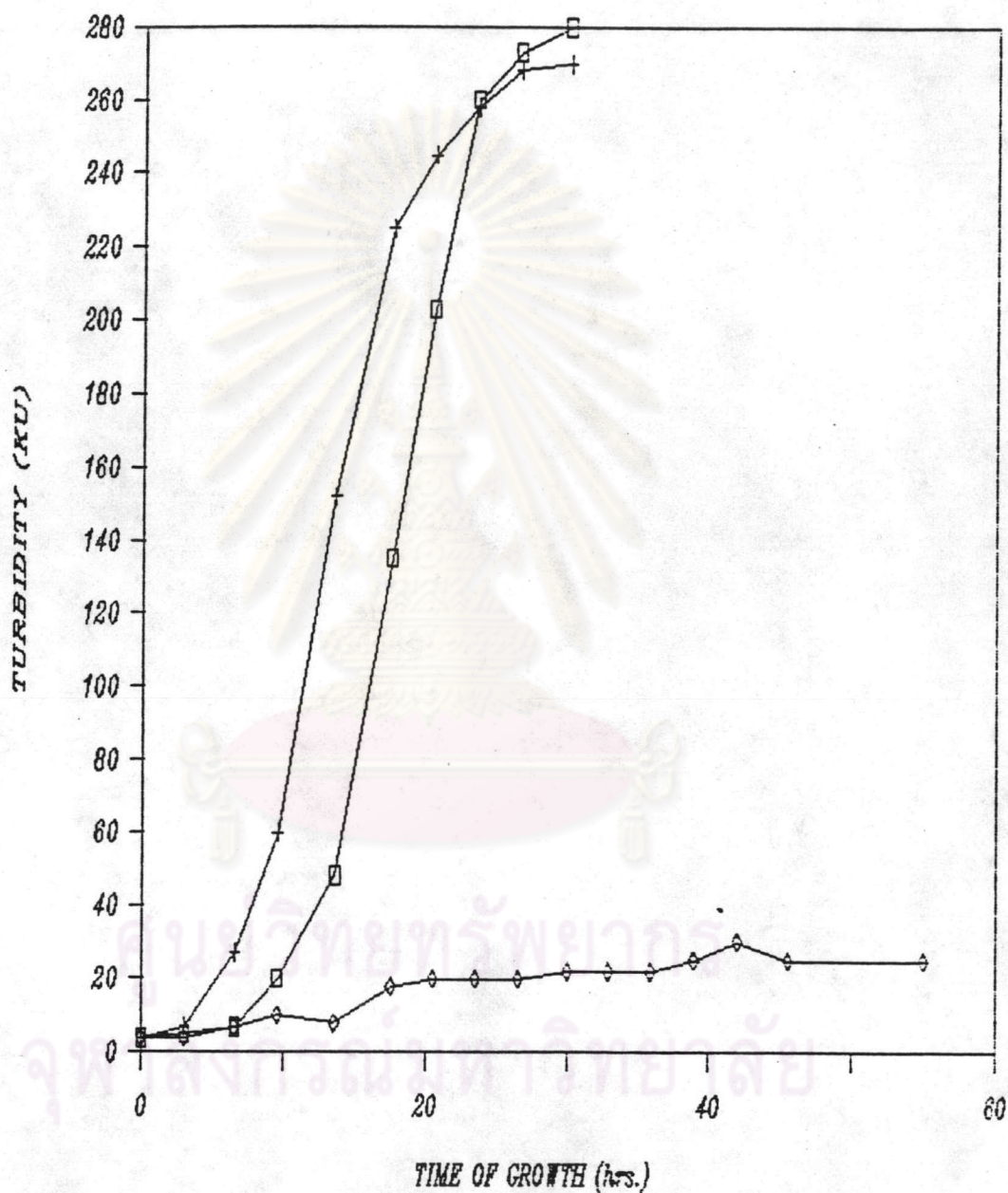
□ TAL141 ure in MMG

◇ TAL141 ure his in MMG

+ TAL141 ure his in CM



รูปที่ 11 รูปแบบการเจริญของไรโซเบียมสายพันธุ์ USDA 192 และ USDA 192 Trp Phe ในอาหารสูตรครบ CM และสูตรปรับต่ำ MMG



□ USDA192 in MMG

◇ USDA192 Trp Phe in MMG

+ USDA192 Trp Phe in CM

บางชนิด เช่น *E. coli* , *Azotobacter vinelandii* , *Pseudomonas aeruginosa* (Repaske, 1958) และ *Providencia alcalifaciens* (Coetzee et al., 1979) มาประยุกต์ใช้กับสายพันธุ์มิวแทนต์ของ *Rhizobium* sp. TAL 141 และ *R. fredii* USDA 192 เนื่องจากไรโซเบียมเป็นแบคทีเรียกรัมลบ ที่ต้องการกาซออกซิเจนสำหรับการเจริญเติบโต (obligatory aerobic bacteria) และความขุ่นของคัลเจอร์จะแปรตามชนิดของอาหารและปัจจัยอื่น ๆ ดังนั้นขั้นแรกนี้จะศึกษาผลกระทบของภาวะการเจริญของไรโซเบียมต่อการเกิดโพรโทพลาสต์

3.1 การสร้างโพรโทพลาสต์ของ *Rhizobium* sp. TAL 141 ure ในการทดลองใช้ไรโซเบียมสายพันธุ์ TAL 141 ure เป็นตัวอย่างในการศึกษาการสร้างโพรโทพลาสต์ของไรโซเบียม เนื่องจากมีลักษณะโคโลนีที่มีเมื่อน้อย ซึ่งคาดว่าจะทำให้การสร้างโพรโทพลาสต์ได้ผลดี จึงเลือกใช้สายพันธุ์ดังกล่าว

3.1.1 ชนิดของอาหารเลี้ยงเชื้อและอายุของเซลล์ ในการทดลองได้เจริญเซลล์ในอาหารเหลวปริมาตร 25 มิลลิลิตรซึ่งบรรจุอยู่ในขวดเอเลนเมเยอร์ชนิดมีแขนข้างขนาด 250 มิลลิลิตร เขย่าที่ 30^oซ 120 รอบต่อนาที และติดตามความขุ่นของคัลเจอร์ด้วยเครื่องวัดความขุ่น Klett colorimeter เก็บคัลเจอร์ที่ระยะ mid log (ประมาณ 100 KU) และ late log (ประมาณ 200 KU) แล้วนำไปปั่นตกตะกอนเซลล์ และล้างหนึ่งครั้งด้วยสารละลาย Tris buffer 50 มิลลิโมลาร์ ซึ่งมีซูโครส 0.4 โมลาร์ (14 กรัมเปอร์เซ็นต์) สร้างโพรโทพลาสต์ในสารละลายซูโครส 0.4 โมลาร์ ที่มีความเข้มข้นสุดท้ายของ Tris buffer, EDTA และไลโซไซม์เท่ากับ 50 มิลลิโมลาร์ , 50 มิลลิโมลาร์ และ 0.2 มิลลิกรัมต่อมิลลิลิตร ตามลำดับ คำนวณหาเปอร์เซ็นต์การเกิดโพรโทพลาสต์ด้วยวิธีวัดค่าการดูดแสงที่ 660 นาโนเมตร และการสังเกตการเปลี่ยนแปลง รูปร่างของเซลล์รูปท่อน (rod shape) เป็นโพรโทพลาสต์ รูปวงกลม (oval shape) ภายใต้วัดกล้องจุลทรรศน์

ผลกระทบของชนิดของอาหารเลี้ยงเชื้อ และอายุของเซลล์ *Rhizobium* sp. TAL 141 ure ต่อการเกิดโพรโทพลาสต์ แสดงไว้ในตารางที่ 3 พบว่าเซลล์ที่ได้จากการเจริญในอาหารสูตรอุดม (YM) และอาหารสูตรปรับต่ำ MMG เกิดโพรโทพลาสต์ได้ในเปอร์เซ็นต์ใกล้เคียงกัน และเซลล์ในระยะ mid log มีแนวโน้มว่าเกิดโพรโทพลาสต์ได้สูงกว่าระยะ late log อยู่เล็กน้อย และจากการสังเกตการเปลี่ยนแปลงรูปร่างของเซลล์จากรูปท่อนเป็นรูปวงกลมให้ผล



ศูนย์วิทยทรัพยากร
จุฬาลงกรณ์มหาวิทยาลัย

การทดลองนี้ได้นำเซลล์มากระจายในสารละลายบัฟเฟอร์ Tris 125 มิลลิโมลาร์ ที่มี
ซูโครส 0.4 โมลาร์ pH 7.8 และเติม lytic buffer A ซึ่งประกอบด้วยไลโซไซม์ที่มีความ
เข้มข้น 1.0 มิลลิกรัมต่อมิลลิลิตร ในสารละลายซูโครส 0.4 โมลาร์ (เตรียมไลโซไซม์ใหม่ทุก
ครั้งก่อนการสร้างโพริโทพลาสต์) ค่อยๆ เหยี่ยงหลอดผสมให้เข้ากันและเติม lytic buffer B
ซึ่งประกอบด้วย EDTA 125 มิลลิโมลาร์ ในสารละลายซูโครส 0.4 โมลาร์ pH 8.0 ในอัตรา
ส่วน 2:1:2 ตามลำดับ โดยมีปริมาตรรวม 0.5 มิลลิลิตร ค่อย ๆ ผสมให้เข้ากัน ตั้งอุณหภูมิที่
37 °ซ จนกว่าจะเห็นการเปลี่ยนแปลงของสารละลายผสมในหลอดทดลอง เมื่อพบว่าสารละลาย
ผสมมีลักษณะเหนียวแต่ความข้นของเซลล์ยังคงเดิม เป็นปรากฏการณ์อันหนึ่งที่จะบอกได้ว่ามี
โพริโทพลาสต์เกิดขึ้น จึงสูบลมตัวอย่างครั้งละ 5 ไมโครลิตร เพื่อสังเกตการเปลี่ยนแปลงรูปร่าง
เซลล์ภายหลังการเติม lytic buffer เปรียบเทียบกับก่อนเติม lytic buffer เมื่อ
พบโพริโทพลาสต์รูปร่างกลมจำนวนมากพอ (oval shape ประมาณ 80-90 เปอร์เซ็นต์) ภายใน
1 ชั่วโมงของการอุ่นที่ 37 °ซ ก็เติมสารละลาย 0.4 โมลาร์ ซูโครส 4.5 มิลลิลิตร เพื่อ
เจือจาง 10 เท่า และเก็บไว้ที่ 4 °ซ เพื่อนำไปหาเปอร์เซ็นต์การเกิดโพริโทพลาสต์โดยวิธีวัดค่า
การดูดแสงที่ความยาวคลื่น 660 นาโนเมตร และตรวจสอบซ้ำด้วยการสังเกตรูปร่างเซลล์ภายใต้
กล้องจุลทรรศน์อีกครั้งหนึ่ง

ศูนย์วิทยทรัพยากร
จุฬาลงกรณ์มหาวิทยาลัย

ค่อนข้างสอดคล้องกัน คือวิธีหลังพบโพธิพลาสต์ประมาณครึ่งหนึ่งของการทดสอบด้วยวิธีแรก

เมื่อเสริมโซเดียมคลอไรด์ 0.3 โมลาร์ลงในอาหารเลี้ยงเชื้อ ได้พบปรากฏการณ์หลายอย่างที่แตกต่างกันไป คือ (1) โซเดียมคลอไรด์ 0.3 โมลาร์ มีผลในการลดค่าการเจริญสูงสุดของเซลล์ในอาหารสูตร YM คือหลังจากระยะ mid log 7 ชั่วโมง แทบจะไม่มีปริมาณเพิ่มขึ้น (ดูคำอธิบายใต้ตารางที่ 3) ในขณะที่ไม่พบผลกระทบดังกล่าวในอาหารสูตรปรับต่ำ MMG (2) มีการแตกของเซลล์ที่ได้จากการเจริญในอาหารสูตร YM ที่เสริมด้วยโซเดียมคลอไรด์ 0.3 โมลาร์ หลังจากการปั่นตกตะกอนเซลล์ ทำให้เบอร์เซ็นต์โพธิพลาสต์ต่ำมาก (3) การเสริมโซเดียมคลอไรด์ 0.3 โมลาร์ ในอาหารสูตรปรับต่ำ MMG ทำให้การสร้างโพธิพลาสต์ของ *Rhizobium* sp. TAL 141 ure เกิดได้ดีที่สุด และการเปลี่ยนแปลงรูปร่างเซลล์จากรูปท่อนเป็นรูปร่างกลมก็สูงถึง 60% จาก 83% ที่ได้จากการวัดค่าการดูดแสงอีกด้วย (4) ยังพบว่าเซลล์ที่ได้จากการเจริญในอาหารสูตรปรับต่ำ MMG ที่เสริมด้วยโซเดียมคลอไรด์ 0.3 โมลาร์ ในระยะ mid log มีการเกิดโพธิพลาสต์สูงกว่า late log ประมาณ 2 เท่า

3.1.2 ผลกระทบของกำลังออสโมติกจากบัฟเฟอร์ โดยหลักการวิธีสร้าง

โพธิพลาสต์ในแบคทีเรียแกรมลบ ต้องอาศัยการทำงานร่วมกันระหว่าง Tris-HCl, lysozyme และ divalent metal chelating agent ในอัตราส่วนที่เหมาะสมและจะแตกต่างกันไปในจุลชีพแต่ละชนิด (Repaske, 1956 ; Peberdy, 1980) ในงานวิจัยนี้ได้ศึกษาถึงผลกระทบของความเข้มข้นของ Tris buffer ต่อการเกิดโพธิพลาสต์ของ *Rhizobium* sp. TAL 141 ure โดยใช้ Tris buffer pH 7.8 ที่มีความเข้มข้น 10-15 มิลลิโมลาร์ ความเข้มข้นของไลโซไซม์ และ EDTA คงที่ คือ 0.2 มิลลิกรัมต่อมิลลิลิตร และ 50 มิลลิโมลาร์ ตามลำดับ และมีซูโครส 0.4 โมลาร์ (14 กรัมเบอร์เซ็นต์) เป็นสารปรับความดัน ในการทดลองนี้ใช้เซลล์ระยะ mid log จากการเจริญในอาหารสูตรปรับต่ำ MMG ซึ่งมีกลูโคสเป็นแหล่งต้นตอคาร์บอนที่เสริมและไม่เสริมด้วยโซเดียมคลอไรด์ 0.3 โมลาร์ เพื่อศึกษาผลของแหล่งต้นตอคาร์บอนควบคู่ไปกับความเข้มข้นของ Tris buffer จากผลการทดลองในตารางที่ 4 ความเข้มข้นของสารละลาย Tris buffer ระหว่างความเข้มข้น 10-50 มิลลิโมลาร์ ให้เบอร์เซ็นต์การเกิดโพธิพลาสต์ใกล้เคียงกันในแต่ละสภาวะที่เสริมและไม่เสริมด้วยโซเดียมคลอไรด์ 0.3 โมลาร์ เซลล์ที่ได้จากการเจริญในอาหารสูตรปรับต่ำ MMG พบเบอร์เซ็นต์ในการเกิดโพธิพลาสต์สูงกว่าเซลล์ที่ได้จากการเจริญในอาหารสูตรเดียวกันที่เสริมโซเดียมคลอไรด์ 0.3 โมลาร์ ซึ่งผลดังกล่าวนี้ตรงข้ามกับ

ตารางที่ 4 ความสัมพันธ์ระหว่างความเข้มข้นของสารละลายบัฟเฟอร์ Tris กับเปอร์เซ็นต์การเกิดโปรโทพลาสต์ของ Rhizobium sp. TAL 141 ure

Types of medium ⁽¹⁾	Tris-HCl (mM)	% Protoplast	% Alteration ⁽²⁾ of cell shape
		OD _{660 nm}	
MGG	10	80	50
	25	77	50
	50	77	50
MGG + 0.3 M NaCl	10	61	40
	25	62	40
	50	59	40

(1) สูตรอาหารชนิดต่าง ๆ (บทที่ 2)

(2) เปอร์เซ็นต์การเปลี่ยนแปลงรูปร่างเซลล์จากรูปท่อนเป็นโปรโทพลาสต์รูปวงกลมจากการสังเกตภายใต้กล้องจุลทรรศน์

วิธีการสร้างโปรโทพลาสต์ ดูรายละเอียดจากคำอธิบายใต้ตารางที่ 3 สำหรับความเข้มข้นสุดท้ายของบัฟเฟอร์ Tris ที่ 10 และ 25 มิลลิโมลาร์ กระทำได้โดยการนำสารละลายเข้มข้นของบัฟเฟอร์ Tris 125 มิลลิโมลาร์ ซึ่งอยู่ในสารละลาย 0.4 โมลาร์ ซูโครสมาเจือจางด้วยสารละลายซูโครส 0.4 โมลาร์ ให้มีความเข้มข้นเป็น 25, 62.5 และ 125 มิลลิโมลาร์ มาปรับอัตราส่วนของ Tris buffer : Lysozyme : EDTA เท่าเดิม คือ 2:1:2

ศูนย์วิทยทรัพยากร
จุฬาลงกรณ์มหาวิทยาลัย



เซลล์ที่ได้จากการเจริญอาหารสูตรปรับค่า MMG ที่มีแมนนิทอลเป็นแหล่งต้นตอคาร์บอน (ตารางที่ 3)

3.1.3 ความเข้มข้นของสารละลายไลโซไซม์ ได้ทดลองศึกษาผลกระทบของปริมาณเอนไซม์ไลโซไซม์ที่ใช้ในการสร้างโปรโทพลาสต์ของ Rhizobium sp. TAL 141 ure ที่ความเข้มข้นของไลโซไซม์ (เกรด 1 ของ Sigma) 0.1-1.0 มิลลิกรัมต่อมิลลิลิตร ความเข้มข้นของสารละลาย Tris buffer และ EDTA คงที่ (50 มิลลิโมลาร์ เท่ากัน) และมีซูโครส 0.4 โมลาร์ เป็นสารปรับความดัน ในการทดลองนี้ใช้เซลล์ระยะ mid log ซึ่งได้จากการเจริญอาหารสูตรปรับค่า MMG ที่เสริมและไม่เสริมด้วยโซเดียมคลอไรด์ 0.3 โมลาร์

เมื่อเปรียบเทียบเปอร์เซ็นต์การเกิดโปรโทพลาสต์ของเซลล์ที่เจริญอาหารสูตรดังกล่าวพบว่าเซลล์ที่ได้จากการเจริญอาหารทั้งสองสูตร สามารถนำมาสร้างโปรโทพลาสต์ได้ใกล้เคียงกันเมื่อใช้ไลโซไซม์ที่มีความเข้มข้นระหว่าง 0.1-1.0 มิลลิกรัมต่อมิลลิลิตรดังในตารางที่ 5 แต่อย่างไรก็ตาม เมื่อพิจารณาแนวโน้มการเกิดโปรโทพลาสต์ตามความเข้มข้นของ ไลโซไซม์ที่เพิ่มขึ้นจาก 0.1 ถึง 1.0 มิลลิกรัมต่อมิลลิลิตรแล้ว พบว่าเซลล์ที่ได้จากการเจริญอาหารสูตรปรับค่า MMG ที่เสริมด้วยโซเดียมคลอไรด์ 0.3 โมลาร์ มีแนวโน้มการเกิดโปรโทพลาสต์ได้สูงสุดที่ความเข้มข้นของไลโซไซม์เพียง 0.3 มิลลิกรัมต่อมิลลิลิตร ซึ่งให้เปอร์เซ็นต์ในการเกิดโปรโทพลาสต์โดยวิธีวัดค่าการดูดแสงสูงถึง 84 เปอร์เซ็นต์ ในขณะที่เซลล์ที่ได้จากอาหารสูตรปรับค่า MMG ที่ไม่เสริมโซเดียมคลอไรด์ ต้องการความเข้มข้นไลโซไซม์ 1.0 มิลลิกรัมต่อมิลลิลิตร ในการเกิดโปรโทพลาสต์ 80 เปอร์เซ็นต์ (ค่าสูงสุด) และจากการสังเกตการเปลี่ยนแปลงรูปร่างเซลล์จากรูปท่อนเป็นรูปร่างกลม ก็ให้ผลในทำนองเดียวกัน แต่ยังคงมีค่าต่ำกว่าเปอร์เซ็นต์โปรโทพลาสต์ที่ได้จากการวัดค่าการดูดแสง เช่นเดียวกับผลการทดลองในตารางที่ 3

3.1.4 ความเข้มข้นของสารละลาย EDTA ซึ่งเป็น divalent metal chelating agent ที่มีประสิทธิภาพในการทำงานร่วมกับไลโซไซม์ในการย่อยผนังเซลล์ของแบคทีเรียแกรมลบบางชนิด ปริมาณ EDTA ในอัตราส่วนที่เหมาะสมกับไลโซไซม์ และบัฟเฟอร์ Tris มีผลกระทบต่อการศึกษาการเกิดโปรโทพลาสต์ของแบคทีเรียแกรมลบดังกล่าวแล้วในข้อ 3.1.2 ได้ศึกษาความเข้มข้นของสารละลาย EDTA ระหว่าง 10-100 มิลลิโมลาร์ ต่อการเกิดโปรโทพลาสต์ของ Rhizobium sp. TAL141 ure โดยใช้ความเข้มข้นของ Tris buffer และไลโซไซม์คงที่ (50 มิลลิโมลาร์ และ 0.2 มิลลิกรัมต่อมิลลิลิตรตามลำดับ) และมีสารละลายซูโครส 0.4 โมลาร์ เป็นสารปรับความดัน การทดลองนี้ใช้เซลล์ระยะ mid log ที่เจริญอาหารสูตรปรับค่าที่มี

ตารางที่ 5 ความสัมพันธ์ระหว่างความเข้มข้นของสารละลายไลโซไซม์ (SIGMA GRADE I) กับเปอร์เซ็นต์การเกิดโพรโทพลาสต์ของ *Rhizobium* sp. TAL 141 ure

Types of medium ⁽¹⁾	Lysozyme	% Protoplast	% Alteration ⁽²⁾
	(mg/ml)	OD _{660 nm}	of cell shape
MGG	0.1	63	30
	0.3	66	30
	0.5	73	40
	1.0	80	50
MGG + 0.3 M NaCl	0.1	77	40
	0.3	84	60
	0.5	84	60
	1.0	85	60

(1) สูตรอาหารชนิดต่าง ๆ (บทที่ 2)

(2) เปอร์เซ็นต์การเปลี่ยนแปลงรูปร่างเซลล์จากรูปท่อนเป็นโพรโทพลาสต์รูปร่างกลมจากการสังเกตุภายใต้กล้องจุลทรรศน์

วิธีการสร้างโพรโทพลาสต์ ดูรายละเอียดได้จากคำอธิบายใต้ตารางที่ 3 สำหรับความเข้มข้นสุดท้ายของไลโซไซม์เท่ากับ 0.1, 0.2, 0.5 และ 1.0 มิลลิกรัมต่อมิลลิลิตร กระทำได้โดยการเจือจางสารละลายเข้มข้นของไลโซไซม์ 5.0 มิลลิกรัมต่อมิลลิลิตร ที่อยู่ในสารละลาย 0.4 โมลาร์ ซูโครส ให้มีความเข้มข้นเป็น 0.5, 1.5, 2.5 และ 5.0 มิลลิกรัมต่อมิลลิลิตร นำมาปรับอัตราส่วนของ Tris buffer : Lysozyme : EDTA เท่ากับ 2:1:2 เช่นเดิม

จุฬาลงกรณ์มหาวิทยาลัย

โซเดียมคลอไรด์ 0.3 โมลาร์ 2 ชนิด ที่มีสารต้นตอคาร์บอนแตกต่างกัน คือ แมนนิทอล และกลูโคส ซึ่งแสดงผลการทดลองในตารางที่ 6 พบว่าความเข้มข้นของสารละลาย EDTA 50 มิลลิโมลาร์ จะดีกว่าที่ 10 และ 100 มิลลิโมลาร์ และในการทดลองที่ใช้อาหารสูตรที่คล้ายคลึงกัน 2 ชนิดนี้ เสริมด้วยยีสต์สกัด 0.025 กรัมเปอร์เซ็นต์ มีผลช่วยทำให้เกิดโปรโทพลาสต์ได้มากขึ้น (เปรียบเทียบตารางที่ 6 กับตารางที่ 3,4,5) โดยเปอร์เซ็นต์การเกิดโปรโทพลาสต์สูงสุดที่ความเข้มข้นของสารละลาย EDTA เท่ากับ 50 มิลลิโมลาร์ จากวิธีวัดค่าการดูดแสงได้เปอร์เซ็นต์โปรโทพลาสต์ สูงถึง 95 และ 83 เปอร์เซ็นต์ จากเซลล์ที่เจริญในสูตรอาหารที่มีแมนนิทอล และกลูโคสเป็น แหล่งต้นตอคาร์บอน ตามลำดับ และจากการสังเกตการเปลี่ยนแปลงรูปร่างเซลล์ ก่อนและหลังการ สร้างโปรโทพลาสต์ พบเซลล์รูปร่างกลมภายหลังการสร้างโปรโทพลาสต์สูงถึง 80-90 เปอร์เซ็นต์ (จากเซลล์รูปท่อน 100 เปอร์เซ็นต์ก่อนสร้างโปรโทพลาสต์) ซึ่งค่าดังกล่าวใกล้เคียงกับค่าที่ได้ จากการวัดค่าการดูดแสง

3.1.5 สรุปการสร้างโปรโทพลาสต์ของ Rhizobium sp. TAL 141 ure เป็นดังนี้

ก. สูตรอาหารที่เหมาะสมในการเจริญเซลล์ คือ อาหารสูตร ปรับค่าที่มีแหล่งต้นตอคาร์บอนเป็นแมนนิทอล เสริมด้วยยีสต์สกัด 0.025 กรัมเปอร์เซ็นต์ และ โซเดียมคลอไรด์ 0.3 โมลาร์ (MMGY + 0.3 M NaCl) หลังจากได้เซลล์ในระยะ mid log นำไปปั่นล้างด้วยสารละลายซูโครส 0.4 โมลาร์ที่มี Tris-HCl 50 มิลลิโมลาร์ pH 7.8 หนึ่งครั้ง

ข. นำตะกอนเซลล์ที่ปั่นล้างแล้วไปกระจายในสารละลายสร้าง โปรโทพลาสต์ คือ สารละลายซูโครส 0.4 โมลาร์ ซึ่งมีความเข้มข้นสุดท้ายของ Tris buffer, โลริโซลิม และ EDTA เท่ากับ 50 มิลลิโมลาร์, 0.2 มิลลิกรัมต่อมิลลิลิตร และ 50 มิลลิโมลาร์ ตามลำดับ ในปริมาตรรวม 0.5 มิลลิลิตร อุณหภูมิ 37°ซ ภายใน 1 ชั่วโมง สังเกตการเปลี่ยนแปลง ที่เกิดขึ้น เมื่อได้โปรโทพลาสต์รูปร่างกลม นำมาเจือจางด้วยซูโครส 0.4 โมลาร์ 10 เท่า เก็บไว้ ที่ 4°ซ เพื่อหาเปอร์เซ็นต์การเกิดโปรโทพลาสต์โดยวิธีวัดค่าการดูดแสง

ค. โปรโทพลาสต์ของ Rhizobium sp. TAL 141 ure ที่ เตรียมได้จากเซลล์ที่เจริญในอาหารสูตรและสภาวะที่เหมาะสมดังกล่าวข้างต้น จะให้โปรโทพลาสต์ รูปร่างกลม (oval shape) เกือบ 100 เปอร์เซ็นต์ ดังภาพที่ 3 และ 4 ซึ่งแตกต่างจากเซลล์ ก่อนสร้างโปรโทพลาสต์ที่มีรูปร่างเป็นท่อน (ภาพที่ 1,2)

ตารางที่ 6 ความสัมพันธ์ระหว่างความเข้มข้นของสารละลาย EDTA กับเปอร์เซ็นต์การเกิดโปรโทพลาสต์ของ Rhizobium sp. TAL 141 ure

Types of medium ⁽¹⁾	EDTA	% Protoplast ⁽³⁾	% Alteration ⁽²⁾
	(mM)	OD _{660 nm}	of cell shape
MGG	10	88	80
	50	95	90
	100	36	90
MGG + 0.3 M NaCl	10	81	80
	50	83	80
	100	65	80

(1) สูตรอาหารชนิดต่าง ๆ (บทที่ 2)

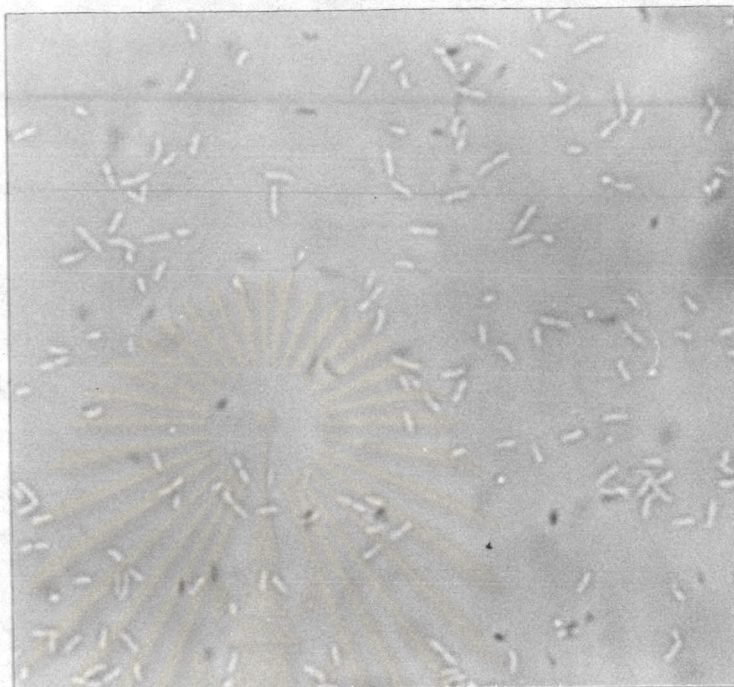
(2) เปอร์เซ็นต์การเปลี่ยนแปลงรูปร่างของเซลล์จากรูปก่อนเป็นโปรโทพลาสต์รูปวงกลมจากการสังเกตภายใต้กล้องจุลทรรศน์

(3) จำนวนเซลล์หลังการสร้างโปรโทพลาสต์ลดลงอย่างเห็นได้ชัดโดยวิธีวัดค่าการดูดแสงและการสังเกตภายใต้กล้องจุลทรรศน์

วิธีการสร้างโปรโทพลาสต์ดูรายละเอียดได้จากคำอธิบายใต้ตารางที่ 3 สำหรับความเข้มข้นสุดท้ายของสารละลาย EDTA 10, 50 และ 100 มิลลิโมลาร์ กระทำได้โดยการเจือจางสารละลายเข้มข้นของ EDTA 500 มิลลิโมลาร์ ที่มีสารละลายซูโครส 0.4 โมลาร์ ด้วยสารละลายซูโครส 0.4 โมลาร์ ให้มีความเข้มข้นเป็น 50, 250 และ 500 มิลลิโมลาร์ แล้วปรับอัตราส่วนของ Tris buffer : Lysozyme : EDTA เท่ากับ 2:1:2 เช่นเดิม

จุฬาลงกรณ์มหาวิทยาลัย

ภาพที่ 1

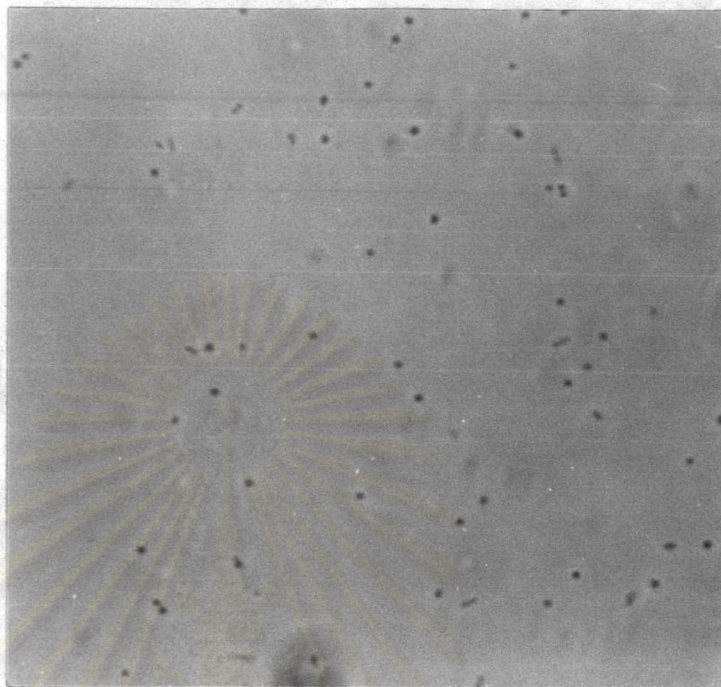


ภาพที่ 2

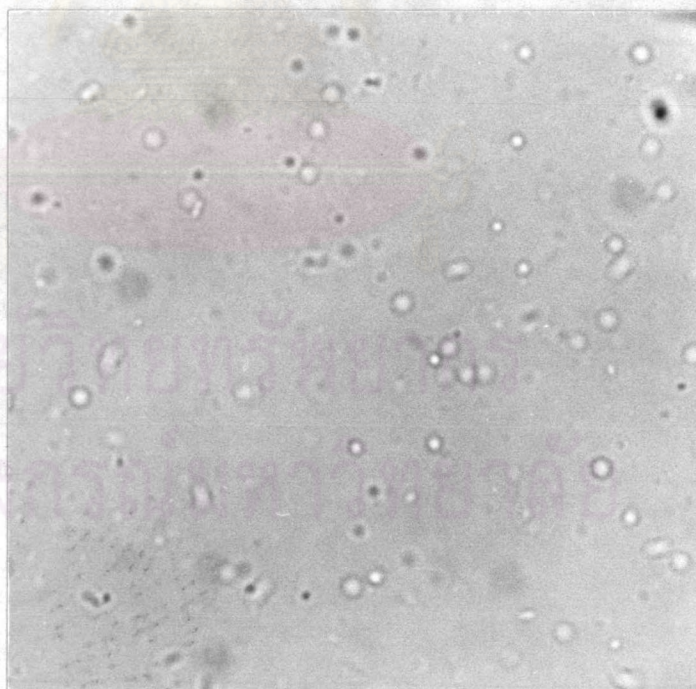


ภาพที่ 1,2 เซลล์โรโซเบียมก่อนการสร้างโพรโทพลาสต์ โดยปกติมีรูปร่างเป็นท่อนยาว (rod shape) จากการสังเกตภายใต้กล้องจุลทรรศน์กำลังขยาย 400 และ 1000 เท่า ตามลำดับ

ภาพที่ 3



ภาพที่ 4



ภาพที่ 3,4 เซลล์โรโซเบียมหลังจากการสร้างโปรโทพลาสต์ แสดงการเกิดโปรโทพลาสต์ของโรโซเบียม ซึ่งมีการเปลี่ยนแปลงรูปร่างเซลล์จากรูปท่อนยาว (rod shape) เป็นรูปร่างกลม (oval shape) ภายใต้อาหารที่เหมาะสมที่ใช้ในการสร้างโปรโทพลาสต์จากการสังเกตภายใต้กล้องจุลทรรศน์กำลังขยาย 400 และ 1000 เท่า ตามลำดับ

3.2 การสร้างโปรโทพลาสต์ของสายพันธุ์พ่อแม่ (parental strain) ที่ใช้ในเทคนิคโปรโทพลาสต์ฟิวชัน เนื่องจากไม่สามารถใช้ Rhizobium sp. TAL 141 ure ในการหลอมเซลล์กับ R. fredii USDA 192 เพราะขาดยีนเครื่องหมายในการติดตามฟิวชันด์ จึงสร้างยีนเครื่องหมายเพิ่มขึ้น คือสายพันธุ์ TAL 141 ure his และ USDA 192 Trp Phe

3.2.1 ปัญหาในการเตรียมโปรโทพลาสต์ของ Rhizobium sp. TAL 141 ure his และ มีวแทนต์ของ R. fredii USDA 192 ความแตกต่างที่เด่นชัดระหว่าง TAL 141 ure his กับ TAL 141 ure คือ TAL 141 ure his มีการเจริญในอาหารสูตรอุดมซีกว่า TAL 141 ure และสร้างเมือกได้มากกว่า TAL 141 ure (แต่น้อยกว่า TAL 141) นอกจากนี้ยังพบว่า การเจริญของ TAL 141 ure his ในสภาวะที่ให้ก๊าซออกซิเจนปกติ ในอัตราส่วนปริมาตรคัลเจอร์ต่อปริมาตรขวดเอเลนเมเยอร์ 1 ต่อ 10 พร้อมทั้งเขย่าที่ 120 รอบต่อนาที จะทำให้เซลล์เกิดการจับกลุ่มกัน ไม่ว่าจะเลี้ยงในอาหารสูตรใดก็ตาม และเมื่อนำเซลล์ดังกล่าวไปสร้างโปรโทพลาสต์ ตามวิธีที่กล่าวไว้ใน 3.1.5 ข. พบว่าสามารถสร้างโปรโทพลาสต์ได้เพียง 60 เบอร์เซ็นต์โดยวิธีวัดค่าการดูดแสง และจากการสังเกตการเปลี่ยนแปลงรูปร่างเซลล์ภายใต้กล้องจุลทรรศน์ พบการเปลี่ยนแปลงของเซลล์รูปท่อนเป็นรูปท่อนอ้วนสั้น (stunt-short rod shape) เพียง 30 เบอร์เซ็นต์ และไม่พบโปรโทพลาสต์รูปร่างกลม (oval shape) ซึ่งแตกต่างจากการเกิดโปรโทพลาสต์ของ TAL 141 ure

สำหรับ R. fredii USDA 192 ไม่ว่าจะ เป็นสายพันธุ์เดิมหรือสายพันธุ์มีวแทนต์ ไม่สามารถเจริญในอาหารที่มีโซเดียมคลอไรด์ 0.3 โมลาร์ ดังนั้นจึงเลี้ยงเซลล์ในอาหารสูตร MMGY และ MMGY ที่เสริมด้วยกรดอะมิโนทริปโตเฟน และฟีนอลอะลานีน (ตามชนิดของยีนเครื่องหมาย) และสร้างโปรโทพลาสต์ตามวิธีที่กล่าวไว้ใน 3.1.5 ข. ได้เบอร์เซ็นต์โปรโทพลาสต์จากการวัดค่าการดูดแสงประมาณ 80 เบอร์เซ็นต์ แต่จากการสังเกตภายใต้กล้องจุลทรรศน์ พบการเปลี่ยนแปลงรูปร่างเซลล์จากรูปท่อนเป็นรูปท่อนอ้วนสั้นเพียง 40 เบอร์เซ็นต์ และไม่พบโปรโทพลาสต์รูปร่างกลม (ไม่ได้แสดงข้อมูลไว้)

ดังนั้นจึงต้องค้นคว้าเพิ่มเติมเกี่ยวกับวิธีการสร้างโปรโทพลาสต์โดยใช้ Rhizobium sp. TAL 141 ure his และ R. fredii USDA 192 Trp Phe เป็นเซลล์ต้นแบบในการศึกษาขั้นต่อไป

3.2.2 ความเข้มข้นของไกลซีนที่เหมาะสมในสูตรอาหารเลี้ยงเชื้อ

Coetzee et al. (1979) สร้างโปรโตพลาสต์ของ Providencia alcalifaciens โดยการเติมไกลซีนในปริมาณที่สามารถยับยั้งการเจริญบางส่วนของเซลล์ในอาหารเลี้ยงเชื้อ แล้วสร้างโปรโตพลาสต์โดยวิธี lysozyme-EDTA ดังนั้นจึงได้นำวิธีการนี้มาประยุกต์ใช้กับการสร้างโปรโตพลาสต์ของ Rhizobium sp. TAL 141 ure his และ R. fredii USDA 192 Trp Phe

ก. ผลกระทบของไกลซีนต่อการเจริญเติบโตจากการเจริญเซลล์ Rhizobium sp. TAL 141 ure his และ R. fredii USDA 192 Trp Phe ในสูตรอาหารกึ่งปรับต่ำ MMGY ที่เสริมด้วยกรดอะมิโน ตามชนิดของ auxotroph และไกลซีนที่มีความเข้มข้นต่าง ๆ กัน ได้ผลการทดลองดังในตารางที่ 7 ความเข้มข้นของไกลซีนที่ 3.0 และ 0.03 กรัมเปอร์เซ็นต์ สามารถยับยั้งการเจริญได้อย่างสมบูรณ์ในสายพันธุ์ TAL 141 ure his และ USDA 192 Trp Phe ตามลำดับ จะเห็นว่าความต้านทานของเซลล์ต่อไกลซีนของไรโซเบียมทั้งสองสายพันธุ์นี้มีความแตกต่างกันถึง 100 เท่า สำหรับไรโซเบียมสายพันธุ์ TAL 141 ure his เริ่มเห็นผลกระทบของไกลซีนต่อการเจริญของเซลล์เพียงเล็กน้อยที่ความเข้มข้นของไกลซีน 0.3 กรัมเปอร์เซ็นต์ และผลกระทบของไกลซีนต่อการเจริญของเซลล์เห็นได้ชัดเจนที่ความเข้มข้นของไกลซีน 0.6 กรัมเปอร์เซ็นต์ ซึ่งเป็นความเข้มข้นที่สามารถยับยั้งการเจริญสูงสุดได้ประมาณ 1/2 เท่าของเซลล์ที่เจริญในอาหารสูตรชนิดเดียวกันที่ไม่เสริมด้วยไกลซีน ในขณะที่ความเข้มข้นของไกลซีนระดับต่ำเพียง 0.005-0.01 กรัมเปอร์เซ็นต์ ก็สามารถยับยั้งการเจริญของไรโซเบียมสายพันธุ์ USDA 192 Trp Phe ได้ 1/2 เท่า

ข. ผลกระทบของระยะเวลาเจริญของเซลล์ที่สัมผัสกับไกลซีนต่อการเกิดโปรโตพลาสต์ ในการสร้างโปรโตพลาสต์ของไรโซเบียมทั้งสองสายพันธุ์ดังกล่าว ได้นำเซลล์ไรโซเบียมสายพันธุ์ TAL 141 ure his และ USDA 192 Trp Phe ที่ได้จากการเจริญในอาหารสูตร MMGY ที่เสริมด้วยกรดอะมิโนตามชนิดของยีนเครื่องหมาย และไกลซีนที่มีความเข้มข้น 0.6 และ 0.01 กรัมเปอร์เซ็นต์ ตามลำดับ มาสร้างโปรโตพลาสต์ตามวิธีที่กล่าวไว้ใน 3.1.5 ข. พบว่าวิธีดังกล่าวใช้ได้ผลดีกับสายพันธุ์มิวแทนต์ของ USDA 192 ดังแสดงผลในตารางที่ 8 สายพันธุ์มิวแทนต์ของ USDA 192 ทั้งสี่สายพันธุ์ สามารถเกิดโปรโตพลาสต์ได้ใกล้เคียงกัน และมีค่าสูงถึง 80-90 เปอร์เซ็นต์ โดยวิธีวัดค่าการดูดแสง และจากการสังเกต

ตารางที่ 7 ความสัมพันธ์ระหว่างความเข้มข้นของไกลซีนกับค่าความขุ่นสูงสุด (max. turbidity)

Strains	Types of medium ⁽¹⁾	Glycine conc. (g%)	Maximum turbidity (KU)	%Alteration ⁽²⁾ of cell shape before treatment
TAL 141 <u>ure his</u>	MMGY + histidine	0	275	0
		0.3	230	0
		0.6	150	70 ^{sr}
		1.0	100	>90 ^{sr}
		3.0	10	CND
USDA 192 Trp Phe	MMGY + tryptophan + phenylalanine	0	300	0
		0.005	185	80 ^{sr}
		0.01	120	90 ^{sr}
		0.02	65	>90 ^{sr}
		0.03	10	CND

(1) สูตรอาหารชนิดต่าง ๆ (บทที่ 2)

(2) การเปลี่ยนแปลงรูปร่างของเซลล์ก่อนเติม lytic buffer เมื่อเลี้ยงเซลล์ในสูตรอาหารที่เสริมด้วยไกลซีน พบการเปลี่ยนแปลงรูปร่างเซลล์จากรูปก่อนเป็นเซลล์รูปท่อนสั้นก่อนการสร้างโพรโทพลาสต์

^{sr} = เซลล์รูปท่อนสั้น (stunt-short rod cells)

CND = ไม่สามารถตรวจพบเซลล์ภายใต้กล้องจุลทรรศน์

การเจริญเซลล์ในสูตรอาหารกึ่งปรับต่ำที่เสริมด้วยกรดอะมิโน (ตามชนิดของ auxotroph) และไกลซีนในการทดลองนี้ กระทำโดยการเติมกรดอะมิโนและไกลซีนในสูตรอาหารดังกล่าวก่อนแล้วจึงค่อยถ่ายเชื้อลงในสูตรอาหารดังกล่าว

ตารางที่ 8 การเกิดโพโรพลาสต์ของมิวแทนต์ของ *R. fredii* USDA 192 ที่เจริญใน
 สูตรอาหารที่เสริมด้วยไกลซีน⁽¹⁾ และสร้างโพโรพลาสต์โดยวิธี lysozyme-EDTA

Strains	%Protoplast	%Alteration ⁽²⁾	Incubation time ⁽³⁾
	OD _{660 nm}	of cell shape	(min)
USDA 192 Trp Phe no. 6	85	>95	4
USDA 192 Trp Tyr Phe no. 8	85	>95	15
USDA 192 Trp Tyr Phe no. 9	85	>95	10
USDA 192 Trp Tyr Phe no.12	91	70	30

- (1) สูตรอาหารที่ใช้ในการเจริญสายพันธุ์มิวแทนต์ทั้งสี่ของ USDA 192 คือ สูตรอาหารกึ่งปรับต่ำที่เสริมด้วยกรดอะมิโนตามชนิดของ auxotroph และไกลซีน 0.01 กรัมเปอร์เซ็นต์ในระยะ early log
- (2) เซลล์ของมิวแทนต์ของ USDA 192 ทั้งสี่สายพันธุ์มีการเปลี่ยนแปลงรูปร่างจากรูปท่อนอ้วนสั้น (ซึ่งเกิดเนื่องจากการเลี้ยงเซลล์ในสูตรอาหารที่เสริมไกลซีน) เป็นโพโรพลาสต์รูปร่างกลมภายหลังการสร้างโพโรพลาสต์ด้วยวิธี lysozyme-EDTA
- (3) ช่วงเวลาที่ใช้ในการเกิดโพโรพลาสต์ภายหลังการเติม lytic buffer และอุ่นที่ 37 °C

การเปลี่ยนแปลงรูปร่างเซลล์ภายหลังการสร้างโพรโทพลาสต์ พบโพรโทพลาสต์รูปร่างกลมมากกว่า 90 เปอร์เซ็นต์ ยกเว้นสายพันธุ์ USDA 192 Trp Tyr Phe no.12 พบโพรโทพลาสต์รูปร่างกลมเพียง 70 เปอร์เซ็นต์ อย่างไรก็ตามเป็นที่น่าสังเกตว่าเปอร์เซ็นต์การเกิดโพรโทพลาสต์ของมิวแทนต์ทั้งสี่สายพันธุ์ไม่แตกต่างกันอย่างมีนัยสำคัญ ทั้งจากวิธีการวัดค่าการดูดแสงและการสังเกตรูปร่างเซลล์ภายใต้กล้องจุลทรรศน์ แต่มีความแตกต่างกันในช่วงเวลาที่ใช้ในการเกิดโพรโทพลาสต์ ซึ่งแสดงถึงความยากง่ายในการเกิดโพรโทพลาสต์ของแต่ละสายพันธุ์อีกด้วย

ในกรณีของไรโซเบียมสายพันธุ์ TAL 141 ure his พบว่าการสร้างโพรโทพลาสต์โดยวิธี 3.1.5 ข. จากเซลล์ที่เจริญในสูตรอาหาร MMGY เป็น TY ซึ่งประกอบด้วย tryptone และยีสต์สกัด (yeast extract) แต่ไม่มีน้ำตาลเป็นแหล่งต้นตอคาร์บอนโดยตรง เมื่อใช้สูตรอาหารชนิดนี้และเสริมด้วยไกลซีนให้มีความเข้มข้นสุดท้ายเป็น 0.6 กรัมเปอร์เซ็นต์ โดยเติมไกลซีนในช่วงการเจริญระยะต่าง ๆ กัน พบว่าการเกิดโพรโทพลาสต์ของสายพันธุ์ TAL 141 ure his ได้ดีเพียงใดนั้นยังขึ้นอยู่กับช่วงเวลาที่เหมาะสมในการเติมไกลซีนระดับที่สามารถยับยั้งการเจริญบางส่วน of เซลล์อีกด้วย (0.6 กรัมเปอร์เซ็นต์) ดังผลการทดลองในตารางที่ 9 พบว่าการเสริมไกลซีนความเข้มข้นต่ำ 0.1 กรัมเปอร์เซ็นต์ ในระยะการเจริญของเซลล์ early log และเสริมไกลซีนอีก 0.5 กรัมเปอร์เซ็นต์ ในระยะ mid log (สภาวะ B) จะให้เปอร์เซ็นต์การเกิดโพรโทพลาสต์โดยวิธีวัดค่าการดูดแสงสูงสุด เมื่อเปรียบเทียบกับ การเสริมไกลซีนระดับความเข้มข้นสูง 0.6 กรัมเปอร์เซ็นต์ ในระยะ early log (สภาวะ C) หรือ mid log (สภาวะ A) เพียงอย่างเดียว และจากการสังเกตการเปลี่ยนแปลงรูปร่างเซลล์ภายหลังการสร้างโพรโทพลาสต์ พบโพรโทพลาสต์รูปร่างกลม (oval shape) 50 เปอร์เซ็นต์เพียงสภาวะเดียว คือสภาวะที่เสริมไกลซีนระดับต่ำที่ระยะ early log และเติมไกลซีนระดับความเข้มข้นสูงเพิ่มอีกที่ระยะ mid log และพบเซลล์รูปท่อนอ้วนสั้นอีก 50 เปอร์เซ็นต์ ซึ่งแตกต่างจากเซลล์ก่อนสร้างโพรโทพลาสต์ที่มีรูปร่างเป็นท่อนยาว (rod shape) เพียงแบบเดียว สำหรับในสภาวะที่เสริมไกลซีนระดับความเข้มข้นสูงในระยะ mid log (สภาวะ A) พบการเปลี่ยนแปลงของเซลล์จากรูปท่อนยาวเป็นรูปท่อนอ้วนสั้น (stunt-short rod shape) เพียงเล็กน้อย (30 เปอร์เซ็นต์) และสภาวะที่เสริมไกลซีนความเข้มข้นสูงในระยะ early log พบว่าเซลล์ก่อนสร้างโพรโทพลาสต์มีรูปร่างเป็นท่อนอ้วนสั้นมากกว่า 90 เปอร์เซ็นต์ แต่ภายหลังการสร้างโพรโทพลาสต์ไม่พบการเปลี่ยนแปลงรูปร่างเซลล์ และเมื่อพิจารณาพร้อมกับเปอร์เซ็นต์การเกิด

ตารางที่ 9 ความสัมพันธ์ระหว่างระยะเวลาเจริญของเซลล์ที่เติมไกลซีนระดับความเข้มข้นที่ยับยั้งการเจริญบางส่วน of เซลล์ที่เลี้ยงในสูตรอาหาร TY⁽¹⁾ ต่อการสร้างโปรโทพลาสต์ของ *Rhizobium* sp. TAL 141 ure his

Addition of glycine ⁽²⁾		% Protoplast		An observe under LM	
stage of growth	glycine conc. (gm%)	OD _{660nm}	before treat \bar{c} lysozyme-EDTA	after treat \bar{c} lysozyme-EDTA	
early log	0	57	rod cells 100%	stunt-short rod cells 30%	
mid log	0.6				
early log	0.1	77	rod cells 100%	stunt-short rod cells 50% , oral cells 50%	
mid log	0.5				
early log	0.6	40	stunt-short rod cells >90%	stunt-short rod cells >90%	
mid log	0				

(1) สูตรอาหาร TY ของ Beringer (บทที่ 2) เจริญเซลล์โดยให้อากาศ 10 เท่าโดยปริมาตร และตั้งไว้ที่อุณหภูมิ 30° ซ แต่ไม่ต้องเขย่า

(2) การเติมไกลซีนในทุกสภาวะมีความเข้มข้นสุดท้ายเท่ากับ 0.6 กรัมเปอร์เซ็นต์ เพียงแต่แตกต่างกันในขั้นตอนหรือช่วงเวลาเติมไกลซีนของแต่ละสภาวะ

สภาวะ A เติมไกลซีน 0.6 กรัมเปอร์เซ็นต์ เมื่อเซลล์เจริญถึงช่วง mid log (ประมาณ 80 KU) และตั้งทิ้งไว้ที่ 30° ซ 2 ชั่วโมง ก่อนนำเซลล์ไปสร้างโปรโทพลาสต์ รวมเวลาที่ใช้ในการเจริญก่อนเก็บเซลล์ 14 ชั่วโมง ซึ่งให้ความชุ่มประมาณ 100 KU

สภาวะ B เติมไกลซีน 0.1 กรัมเปอร์เซ็นต์ลงในอาหารเลี้ยงเชื้อ TY ก่อนแล้วจึงถ่ายเชื้อลงในสูตรอาหารดังกล่าว เจริญเซลล์จนได้ระยะ mid log (ประมาณ 80 KU) แล้วเติมไกลซีนอีก 0.5 กรัมเปอร์เซ็นต์ ตั้งไว้ที่ 30° ซ 2 ชั่วโมง ก่อนนำไปสร้างโปรโทพลาสต์ รวมเวลาที่ใช้ในการเจริญก่อนเก็บเซลล์ 17 ชั่วโมง ซึ่งให้ความชุ่มประมาณ 100 KU

สภาวะ C เติมไกลซีน 0.6 กรัมเปอร์เซ็นต์ลงในอาหารเลี้ยงเชื้อ TY ก่อนแล้วจึงถ่ายเชื้อลงในสูตรอาหารดังกล่าว เจริญเซลล์จนได้ความชุ่มประมาณ 100 KU แล้วนำไปสร้างโปรโทพลาสต์ รวมเวลาที่ใช้ในการเจริญก่อนเก็บเซลล์ 24 ชั่วโมง

\bar{c} = with

โพรโทพลาสต์โดยการวัดค่าการดูดแสง จะเห็นว่ามิโพรโทพลาสต์รูปท่อนสั้น (short rod) เพียงเล็กน้อย (40 เปอร์เซ็นต์)

เป็นที่น่าสังเกตว่าการเสริมไกลซีนที่มีความเข้มข้นสูง 0.6 กรัมเปอร์เซ็นต์ มีผลทำให้รูปร่างของเซลล์ TAL 141 ure his เปลี่ยนแปลงจากรูปท่อนยาวเป็นรูปท่อนสั้นได้แม้ยังไม่เติม lytic buffer และการเจริญเซลล์ในสภาวะดังกล่าวต้องใช้เวลานานในการเจริญเติบโตยาวนานกว่าสภาวะอื่น ๆ

3.2.3 การใช้ GEDTA ในการสร้างโพรโทพลาสต์ของ TAL 141 ure his อย่างไรก็ตามการสร้างโพรโทพลาสต์ของไรโซเบียมสายพันธุ์ TAL 141 ure his จากสภาวะการเจริญที่ติดดังกล่าว (สภาวะ B ในตารางที่ 9) สามารถเกิดโพรโทพลาสต์รูปวงกลมเพียง 50 เปอร์เซ็นต์ จึงทดลองเปลี่ยนชนิดของ divalent metal chelating agent จาก EDTA เป็น GEDTA โดยใช้เซลล์ที่เจริญในสูตรอาหาร TY ที่เสริมด้วยไกลซีนระดับต่ำ 0.1 กรัมเปอร์เซ็นต์ ในระยะ early log และเสริมไกลซีนอีก 0.5 กรัมเปอร์เซ็นต์ในระยะ mid log (คำอธิบายสภาวะ B ในตารางที่ 9) และสร้างโพรโทพลาสต์ในสารละลายซูโครส 0.4 โมลาร์ที่มีความเข้มข้นของ Tris buffer pH 7.8, ไลโซไซม์ (เกรด 1 ของ Sigma) และ GEDTA pH 8.5 เท่ากับ 50 มิลลิโมลาร์, 0.3 มิลลิกรัมต่อมิลลิลิตร และ 50 มิลลิโมลาร์ตามลำดับ (วิธีการสร้างโพรโทพลาสต์ทำนองเดียวกับคำอธิบายในตารางที่ 3 เพียงแต่ใช้ GEDTA แทน EDTA)

เมื่อใช้ GEDTA แทน EDTA ในการทำงานร่วมกับ Tris buffer และไลโซไซม์ ในอัตราส่วนที่เหมาะสมดังกล่าวข้างต้น พบว่า GEDTA ช่วยในการทำงานของไลโซไซม์ในการย่อยผนังเซลล์ของ TAL141 ure his มีประสิทธิภาพดีขึ้น ซึ่งแสดงผลการทดลองในตารางที่ 10 เมื่อใช้ GEDTA ร่วมกับไลโซไซม์ เปอร์เซ็นต์การเกิดโพรโทพลาสต์จากการวัดค่าการดูดแสงสูงถึง 89 เปอร์เซ็นต์ ในขณะที่การใช้ EDTA ร่วมกับไลโซไซม์ เกิดโพรโทพลาสต์เพียง 75 เปอร์เซ็นต์ และจากการสังเกตการเปลี่ยนแปลงรูปร่างเซลล์พบว่าการเปลี่ยนแปลงรูปร่างจากรูปท่อนยาวเป็นโพรโทพลาสต์รูปวงกลมถึง 90 เปอร์เซ็นต์ เมื่อใช้ GEDTA ร่วมกับไลโซไซม์ ในขณะที่การใช้ EDTA ร่วมกับไลโซไซม์ ให้เปอร์เซ็นต์การเกิดโพรโทพลาสต์รูปวงกลมเพียง 50 เปอร์เซ็นต์

3.2.4 การรักษาสภาพโพรโทพลาสต์และการหาลึคนผนังเซลล์ หลังจาก

ตารางที่ 10 เปรียบเทียบเปอร์เซ็นต์การเกิดโพรโทพลาสต์ของ *Rhizobium* sp. TAL 141 ure his เมื่อใช้ GEDTA กับ EDTA ในสารละลายที่ใช้สร้างโพรโทพลาสต์

Types of metal chelating agent	% Protoplast	% Alteration of ⁽¹⁾ cell shape
	OD _{660 nm}	
GEDTA	89	90
EDTA	75	50

⁽¹⁾ เปอร์เซ็นต์การเปลี่ยนแปลงรูปร่างเซลล์ จากรูปท่อนยาว(ก่อนการสร้างโพรโทพลาสต์) เป็นโพรโทพลาสต์รูปร่างกลม ภายหลังการสร้างโพรโทพลาสต์ จากการสังเกตภายใต้ กล้องจุลทรรศน์

ศูนย์วิทยทรัพยากร
จุฬาลงกรณ์มหาวิทยาลัย

ขั้นตอนการสร้างโปรโตพลาสต์แล้ว จะต้องหาวิธีรักษาสภาพโปรโตพลาสต์ให้คงอยู่ในที่นี้ได้อีกศึกษาถึงปัจจัยที่สำคัญที่มีผลต่อการรักษาสภาพโปรโตพลาสต์โดยทดสอบการหาค่าของความเป็นชีวิตของ เซลล์

ก. ชนิดของบัฟเฟอร์และอุณหภูมิที่ใช้ในการรักษาสภาพโปรโตพลาสต์ได้เปรียบเทียบกับชนิดของบัฟเฟอร์ที่ใช้ในการเก็บรักษาโปรโตพลาสต์ของไรโซเบียมที่อุณหภูมิ 4° และ -70° ซ โดยใช้โปรโตพลาสต์ของ Rhizobium sp. TAL 141 ure his เป็นตัวอย่างในการศึกษา โดยได้นำโปรโตพลาสต์ของ TAL 141 ure his กระจายในสารละลายบัฟเฟอร์ 5 ชนิด ที่มีซูโครส 0.4 โมลาร์ เป็นสารปรับความดัน ทดสอบการเก็บที่ -70° ซ และที่ 4° ซ เป็นเวลา 2.5 วัน นำโปรโตพลาสต์ที่เก็บไว้มาแขวนลอยในสารละลายบัฟเฟอร์เดิมและในน้ำกลั่นในปริมาณที่เป็นอนุกรม เพื่อหาจำนวนเซลล์มีชีวิตบนอาหารเลี้ยงเชื้อสูตรครบที่มีซูโครส 0.4 โมลาร์ โดยวิธี spread plate บ่มที่ 28° ซ ได้ข้อมูลดังแสดงในตารางที่ 11 พบว่าความเป็นชีวิตของโปรโตพลาสต์จะไม่ขึ้นกับความเข้มข้นของบัฟเฟอร์และอุณหภูมิที่เก็บรักษาทั้งคู่อีกด้วย แต่ maleate buffer จะให้ผลดีกว่าบัฟเฟอร์ชนิดอื่น

สรุปได้ว่าการเก็บโปรโตพลาสต์ที่ -70° ซ ใน maleate buffer น่าจะเป็นวิธีการที่เหมาะสม

ข. ชนิดและความเข้มข้นของสารรักษาความดัน ได้ศึกษาชนิดของสารปรับความดันต่อการหาค่าของ เซลล์ของโปรโตพลาสต์ของไรโซเบียม 2 สายพันธุ์ คือ Rhizobium sp. TAL 141 ure his และ R. fredii USDA 192 Trp Phe (ซึ่งเก็บรักษาอยู่ในสารละลาย maleate buffer 50 มิลลิโมลาร์ pH 6.5 ที่มีซูโครส 0.4 โมลาร์) โดยใช้สารรักษาความดัน 2 ชนิด คือ ซูโครสและ โซเดียมคลอไรด์ โดยเลือกใช้ความเข้มข้นของซูโครสและโซเดียมคลอไรด์เท่ากับ 0.4 และ 0.3 โมลาร์ ตามลำดับ พบว่า Rhizobium sp. TAL 141 ure his สามารถหาค่าโปรโตพลาสต์บนอาหารสูตรครบที่เสริมด้วยซูโครส 0.4 โมลาร์ หรือโซเดียมคลอไรด์ 0.3 โมลาร์ได้ดีพอๆ กัน ยกเว้นแต่ว่าอาหารสูตรครบที่เสริมด้วยโซเดียมคลอไรด์จะมีการเจริญของโคโลนีช้ากว่าอาหารสูตรครบที่เสริมด้วยซูโครสเท่านั้น (ตารางที่ 12) ทั้งสองสภาวะไม่พบการหาค่าของ เซลล์ของโปรโตพลาสต์ของ R. fredii USDA 192 Trp Phe

ลองทดลองใหม่โดยใช้สารละลาย maleate buffer 50 มิลลิโมลาร์ pH 6.5 ที่มีซูโครสระหว่าง 0.12-0.4 โมลาร์ ในการรักษาสภาพโปรโตพลาสต์ ได้ผลการทดลองดังแสดงในรูปที่ 12 พบว่าสารละลายบัฟเฟอร์ที่มีซูโครสระหว่าง 0.175-0.292 โมลาร์ (6-10 กรัม

ตารางที่ 11 เปรียบเทียบจำนวนเซลล์ที่มีชีวิต เมื่อเก็บในสารละลายรักษาสภาพโปรโทพลาสต์ ชนิดต่างๆ ที่อุณหภูมิ 4° และ -70° ซ เป็นเวลา 2.5 วัน

Protoplast stabilizing buffer	Before storage		After storage at temperature			
	4°c		4°c		-70°c	
	P buffer	D.W.	P buffer	D.W.	P buffer	D.W.
YS-14 pH 6.8	3.5×10^8	2.7×10^7	2.6×10^8	2.7×10^7	3.2×10^8	2.6×10^7
50 mM.Tris-HCl pH 7.5 + 0.4 M sucrose	3.2×10^8	2.6×10^7	4.3×10^7	2.6×10^6	2.0×10^8	2.1×10^7
10 mM.Maleate pH 6.5 + 0.4 M sucrose	NT	NT	3.3×10^8	3×10^7	NT	NT
20 mM.Maleate pH 6.5 + 0.4 M sucrose	NT	NT	3.4×10^8	2.9×10^7	NT	NT
50 mM.Maleate pH 6.5 + 0.4 M sucrose	3.7×10^8	2.6×10^7	3.9×10^8	2.3×10^7	3.7×10^8	2.4×10^7
50 mM.Maleate pH 7.5 + 0.4 M น้ำตาลทราย	NT	NT	3.7×10^8	2.2×10^7	3.3×10^8	2.4×10^7

NT = ไม่ได้ทำการทดลองในสภาวะดังกล่าว

P buffer = Protoplast stabilizing buffer ที่ใช้ในการเจือจางเพื่อนับจำนวนเซลล์ที่มีชีวิต ซึ่งจะเป็นชนิดเดียวกับชนิดที่ใช้เก็บรักษาโปรโทพลาสต์ในสภาวะนั้น ๆ

D.W. = น้ำกลั่นที่ใช้เจือจางเพื่อนับจำนวนเซลล์ที่มีผนังเซลล์ (non protoplast)

YS-14 = สูตรอาหารที่มี YM ที่มีซูโครส 0.4 โมลาร์ ทำหน้าที่เป็นสารปรับความดันสำหรับโปรโทพลาสต์

ตารางที่ 12 ความสัมพันธ์ระหว่างชนิดสารปรับความดันกับการหาค่าหนึ่งเซลล์ของโพรโทพลาสต์ของ *Rhizobium* sp. TAL141 ure his บนสูตรอาหารอุดมยีสต์แมนนิทอล (YM) ที่เสริมด้วยกรดอะมิโนตามชนิดของออกไซโทริป (สูตรอาหารครบ)

Rhizobial strain	Types of osmostabilizing agent	Viable cell count/ml	
		before PMA	after PMA
<i>Rhizobium</i> sp.	0.4 M sucrose	1.0×10^8	6.2×10^7
TAL 141 <u>ure his</u>	0.3 M NaCl	9.1×10^7	5.7×10^7
	D.W.	NT	7.5×10^6

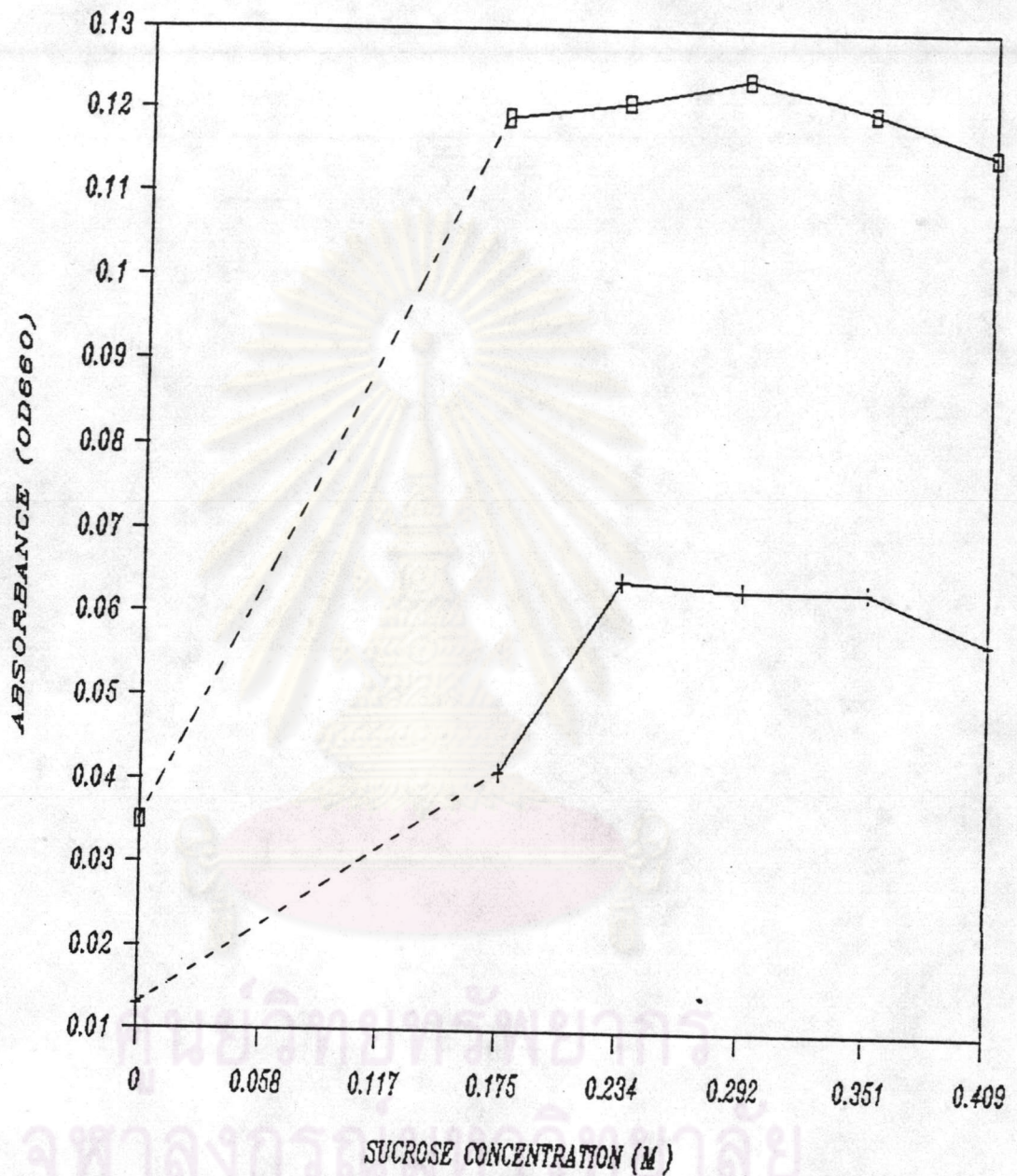
PMA = protoplast formation

NT = ไม่ได้ทำการทดลองในสภาวะดังกล่าว (not test)

การทดลองนี้ได้นำโพรโทพลาสต์ของไรโซเปียมทั้งสองสายพันธุ์มาเจือจางในสารละลายบัฟเฟอร์มาลิเอท 50 มิลลิโมลาร์ pH 6.5 ที่มีซูโครส 0.4 โมลาร์ หรือโซเดียมคลอไรด์ 0.3 โมลาร์ เป็นสารปรับความดันของแต่ละชุดการทดลองเพื่อหาจำนวนเซลล์ที่มีชีวิตทั้งหมด เมื่อเจือจางเซลล์จนได้ความหนาแน่นของเซลล์ที่เหมาะสมก็นำไปกระจายบนสูตรอาหารอุดมที่มีซูโครส 0.4 โมลาร์ หรือโซเดียมคลอไรด์ 0.3 โมลาร์ ตามลำดับ โดยเทคนิค spread plate (Somasegaran & Hoben, 1985) และเจือจางเซลล์ในน้ำกลั่นเพื่อหาจำนวนเซลล์ที่ไม่ใช่โพรโทพลาสต์ โดยทำการทดลองในทำนองเดียวกัน แล้วกระจายบนสูตรอาหาร YM ที่มีซูโครส 0.4 โมลาร์ นับจำนวนเซลล์ที่มีชีวิตอยู่ (viable cell count) ของแต่ละสภาวะ

จากการทดลองดังกล่าวไม่พบการหาค่าหนึ่งเซลล์ของโพรโทพลาสต์ของ USDA 192 Trp Phe จากค่าการดูดแสงที่ $OD_{660} = 0.215$ (จำนวนเซลล์ประมาณ $10^7 - 10^8$ ต่อ มิลลิลิตร) และไม่พบการเจริญของเซลล์ปกติที่เหลืออยู่ (เมื่อเจือจางในน้ำกลั่น) บนสูตรอาหารครบที่มีความเข้มข้นของสารปรับความดันทั้งสามชนิดดังกล่าว แต่สำหรับ TAL 141 ure his มีการหาค่าหนึ่งเซลล์บนสูตรอาหารครบที่มีซูโครส 0.4 โมลาร์ได้เร็วภายใน 1 วัน ในขณะที่การหาค่าหนึ่งเซลล์บนสูตรอาหารครบที่มีโซเดียมคลอไรด์ 0.3 โมลาร์ เป็นสารปรับความดันต้องใช้เวลาถึง 3 วัน

รูปที่ 12 การคงสภาพของโพรโทพลาสต์ ที่ปริมาณซูโครสแตกต่างกัน

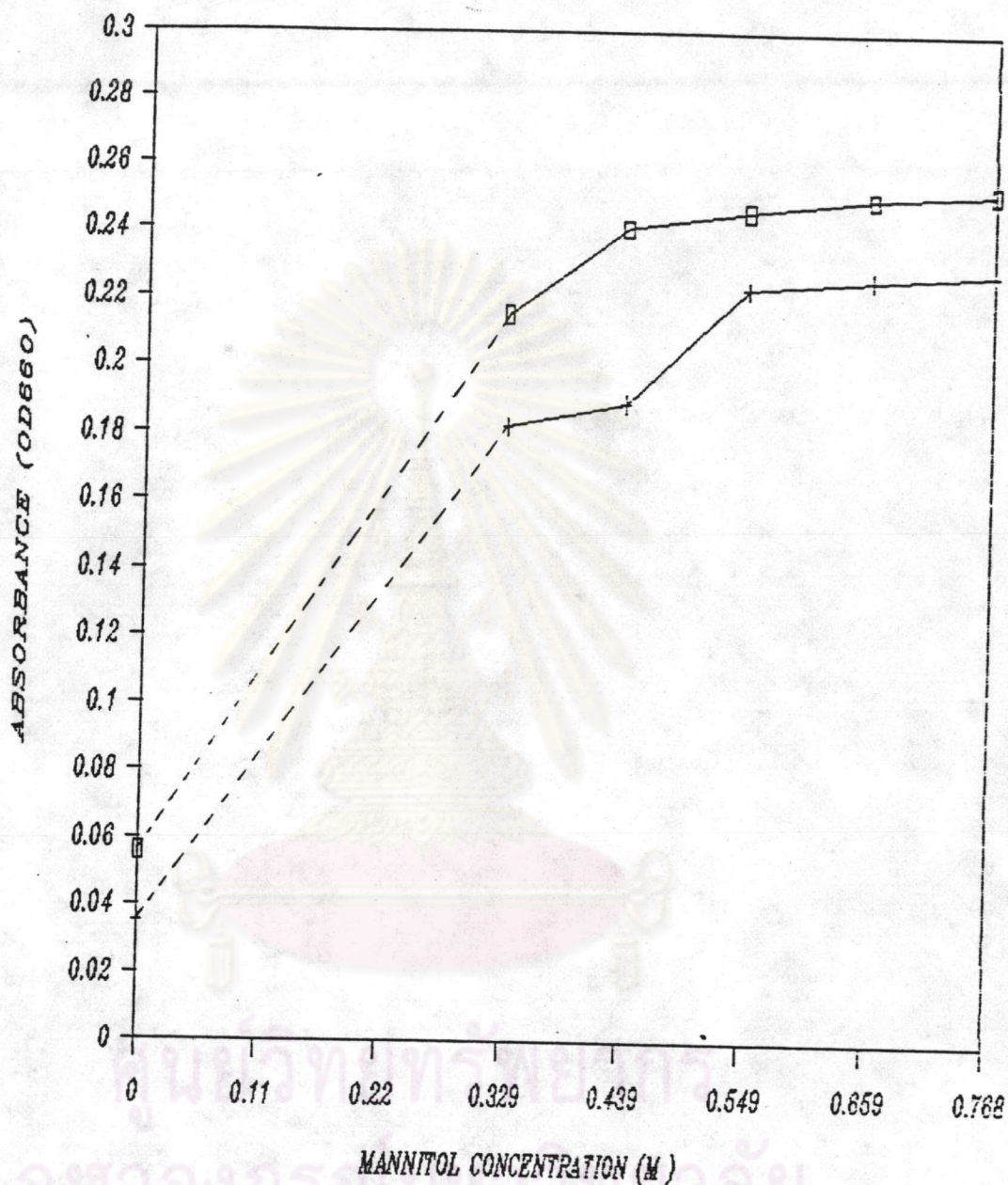


□ Rhizobium sp. TAL 141 ure his

+ R. fredii USDA 192 Trp Phe

ในการทดลองได้นำโพรโทพลาสต์ของไรโซเบียมมาเจือจางในสารละลายรักษาสภาพโพรโทพลาสต์ ที่มีซูโครสความเข้มข้นระหว่าง 0.175 - 0.409 โมลาร์ เป็นสารปรับความดันในอัตราส่วนของโพรโทพลาสต์ต่อสารละลายรักษาสภาพโพรโทพลาสต์เท่ากับ 1:9 ที่ทุกๆ ความเข้มข้นของซูโครส และนำไปวัดค่าการดูดแสงที่ความยาวคลื่น 660 นาโนเมตร

รูปที่ 13 การคงสภาพของโพรโทพลาสต์ ที่ปริมาณแมนนิทอลแตกต่างกัน



□ *Rhizobium* sp. TAL 141 ure his

+ *R. fredii* USDA 192 Trp Phe

ในการทดลองได้นำโพรโทพลาสต์ของไรโซเบียมมาเจือจางในสารละลายรักษาสภาพโพรโทพลาสต์ที่มีความเข้มข้นของแมนนิทอลระหว่าง 0.329 - 0.659 โมลาร์ เป็นสารปรับความดันในอัตราส่วนของโพรโทพลาสต์ต่อสารละลายรักษาสภาพโพรโทพลาสต์เท่ากับ 1:2 ที่ทุก ๆ ความเข้มข้นของแมนนิทอล และวัดค่าการดูดแสงที่ความยาวคลื่น 660 นาโนเมตร

ตารางที่ 13 การหาค่าหนึ่งเซลล์ของโพรโทพลาสต์ที่เตรียมจากเซลล์ในระยะการเจริญ mid log และ late log บนสูตรอาหารอุดม (YM) ที่มีซูโครส 0.234 โมลาร์ เป็นตัวปรับความดัน

Strains	Growth phase	%Protoplast ⁽¹⁾ regeneration	%Cell loss after ⁽²⁾ protoplast formation by OD ₆₆₀ ⁽²⁾
<u>Rhizobium</u> sp.	mid log	49	12
TAL 141 <u>ure his</u>	late log	36	13
<u>R. fredii</u>	mid log	28	8
USDA 192 Trp Phe	late log	0.3	36

- (1) การหาเปอร์เซ็นต์การหวนกลับของโพรโทพลาสต์ได้จากการคำนวณในภาคผนวก
- (2) ค่าความเสียหายที่สูญเสียภายหลังการสร้างโพรโทพลาสต์โดยการวัดค่าการดูดแสง (การคำนวณในภาคผนวก)

ศูนย์วิทยทรัพยากร
จุฬาลงกรณ์มหาวิทยาลัย

เปอร์เซ็นต์) ช่วยรักษาสภาพโพรโทพลาสต์ที่ดีที่สุด ได้ทดลองเปลี่ยนชนิดของน้ำตาลที่ใช้เป็นสารปรับความดันจากซูโครสเป็นแมนนิทอล และทดลองในทำนองเดียวกัน พบว่าโพรโทพลาสต์ของ TAL 141 ure his และ USDA 192 Trp Phe ต้องการความเข้มข้นของแมนนิทอลสูง 0.439 โมลาร์ (8 กรัมเปอร์เซ็นต์) และ 0.549 โมลาร์ (10 กรัมเปอร์เซ็นต์) ตามลำดับ (รูปที่ 13)

สรุปก็คือ ซูโครส 0.234 โมลาร์จะรักษาสภาพของโพรโทพลาสต์ที่ดีที่สุด

ได้ทดลองนำเซลล์ระยะ mid log และ late log มาสร้างโพรโทพลาสต์และเก็บรักษาในสภาวะที่เหมาะสม คือมีซูโครส 0.234 โมลาร์ เป็นสารปรับความดันใน maleate buffer และเก็บที่ 4° หรือ -70° พบว่าไรโซเบียมสายพันธุ์ TAL 141 ure his นั้นจะใช้เซลล์ช่วงใดมาสร้างโพรโทพลาสต์ก็ได้ เปอร์เซ็นต์การสูญเสียโพรโทพลาสต์ไม่สูงมากนัก แต่ถ้าเป็นไรโซเบียมสายพันธุ์ USDA 192 Trp Phe แล้ว ต้องใช้เซลล์จากระยะ mid log อย่างเดียว

ได้นำสภาวะที่ศึกษาทั้งหมดมารวมกันแล้วทำการทดลองซ้ำ ได้ผลการทดลองดังแสดงในตารางที่ 13 พบว่าโพรโทพลาสต์ของ USDA 192 Trp Phe สามารถหาลิ้นผนังเซลล์ได้ในสภาวะที่เหมาะสม และการหาลิ้นผนังเซลล์ของโพรโทพลาสต์ของสายพันธุ์ทั้งสองที่เตรียมได้จากเซลล์ในระยะ mid log มีค่าสูงกว่าระยะ late log ซึ่งเห็นได้ชัดเจนในสายพันธุ์ USDA 192 Trp Phe ซึ่งมีการหาลิ้นผนังเซลล์ในระยะ mid log สูงกว่า late log ถึง 99 เปอร์เซ็นต์ นอกจากนี้ยังพบว่าการสร้างโพรโทพลาสต์จากเซลล์ในระยะ late log มีการสูญเสียจำนวนเซลล์มากกว่าการสร้างโพรโทพลาสต์จากเซลล์ในระยะ mid log และเห็นได้ชัดเจนในสายพันธุ์ USDA 192 Trp Phe ซึ่งมีการสูญเสียเซลล์ภายหลังการสร้างโพรโทพลาสต์จากเซลล์ในระยะ late log สูงถึง 36 เปอร์เซ็นต์

อย่างไรก็ตามได้ทดลองนำโพรโทพลาสต์ของสายพันธุ์ USDA 192 Trp Phe เบอร์ 8, 9 และ 12 มาหาลิ้นผนังเซลล์บนสูตรอาหารครบที่มีซูโครส 0.234 โมลาร์เช่นกัน จากการสังเกตเป็นเวลา 10 วัน ไม่พบการหาลิ้นผนังเซลล์ของโพรโทพลาสต์บนสูตรอาหารดังกล่าว

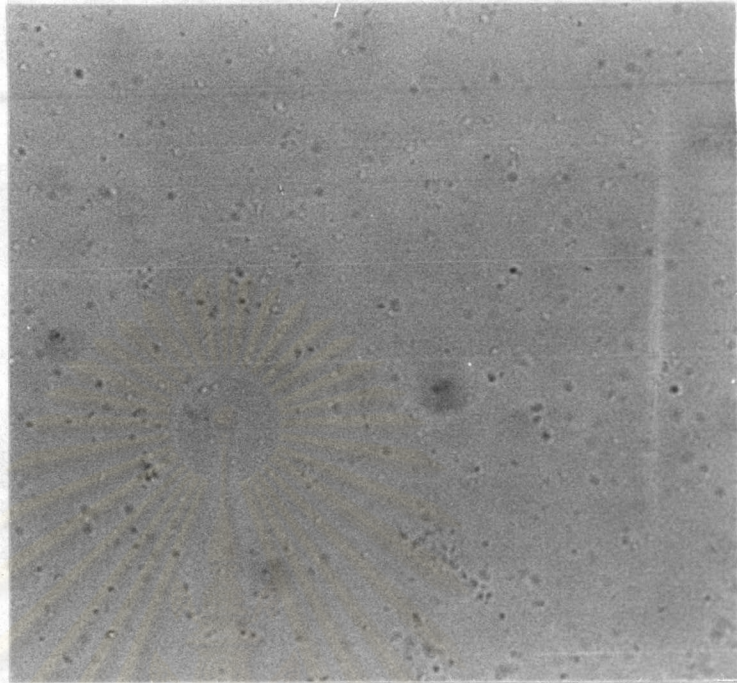
4. โพรโทพลาสต์ฟิวชันและการแยกฟิวแซนต์

ในงานวิจัยนี้ได้นำโพรโทพลาสต์ของ Rhizobium sp. TAL 141 ure his และ R. fredii USDA 192 Trp Phe มาหลอมด้วยสารเคมีที่ชื่อว่า polyethylene

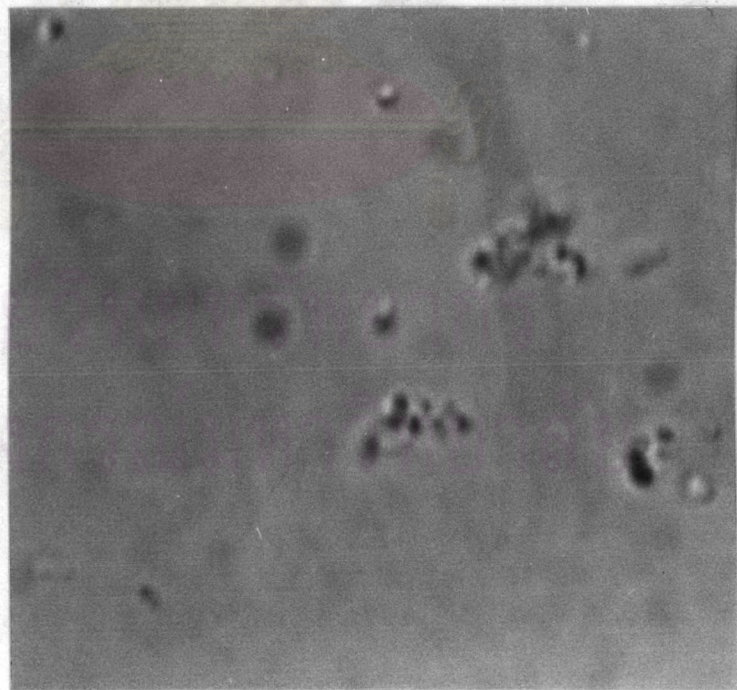
glycol (PEG) พบว่า เมื่อใช้ PEG น้ำหนักโมเลกุล 6000 ที่มีความเข้มข้น 25 มิลลิโมลาร์ (15 กรัมเปอร์เซ็นต์) ในสารละลายซูโครส 0.234 โมลาร์ หลอมโพรโทพลาสต์ของไรโซเบียม ทั้งสองสายพันธุ์ดังกล่าว ซึ่งมีจำนวนเซลล์ 10^7-10^8 ต่อมิลลิลิตร ที่อุณหภูมิ 42°C เป็นเวลา 5 นาที และลุ่มตัวอย่างไปสังเกตลักษณะการเกาะกลุ่มกันของเซลล์ภายใต้กล้องจุลทรรศน์ พบลักษณะ กลุ่มเซลล์ขนาดและรูปร่างแตกต่างกันไป ดังแสดงในภาพที่ 5 และ 6 (กำลังขยาย 400 และ 1000 เท่า ตามลำดับ) เมื่อนำโพรโทพลาสต์ที่ถูกหลอมในสภาวะดังกล่าวมาเจือจางในสารละลาย รักษาสภาพโพรโทพลาสต์ที่เหมาะสม (maleate buffer 50 มิลลิโมลาร์ ที่มีซูโครส 0.234 โมลาร์ pH 6.5) 10-1000 เท่า แล้วกระจายเซลล์ด้วยเทคนิค spread plate บนอาหารสูตรคัดเลือก MMGS-8 ซึ่งเป็นอาหารสูตรปรับค่าที่ไม่เสริมกรดอะมิโนใดๆ ทั้งสิ้น และมี ซูโครส 0.234 โมลาร์เป็นสารปรับความดัน พบการหาค้นของโพรโทพลาสต์ซึ่งให้ลักษณะ โคลนีนี 2 ขนาด คือ โคลนีนีขนาดเล็กที่มีเส้นผ่าศูนย์กลางประมาณ 0.1 มิลลิเมตร เจริญทั่วจานอาหาร เลี้ยง เชื้อและมีโคลนีนีขนาดใหญ่ที่มีเส้นผ่าศูนย์กลางประมาณ 0.3-0.5 มิลลิเมตร ปะบนอยู่เล็กน้อย ซึ่งลักษณะดังกล่าวก็พบในกลุ่มควบคุมเช่นกัน คือ กลุ่มควบคุมที่มีเฉพาะโพรโทพลาสต์ของ TAL 141 ure his และ USDA 192 Trp Phe แต่ไม่เติม PEG ก็พบทั้งโคลนีนีขนาดเล็กและใหญ่ กลุ่ม ควบคุมที่มีเฉพาะโพรโทพลาสต์ของ USDA 192 Trp Phe และ PEG พบเฉพาะโคลนีนีขนาดเล็ก กระจายทั่วจานอาหารเลี้ยง เชื้อ สำหรับกลุ่มควบคุมที่มีเฉพาะโพรโทพลาสต์ของ TAL 141 ure his และ PEG ไม่พบการเจริญของเชื้อบนจานอาหารเลี้ยง เชื้อดังกล่าว ได้ทดลองแยกโคลนีนีขนาดใหญ่ ที่พบบนจานอาหารคัดเลือก MMGS-8 จากกลุ่มทดลอง คือ กลุ่มที่ได้จากโพรโทพลาสต์ของ TAL 141 ure his และ USDA 192 Trp Phe ที่มี PEG และกลุ่มควบคุมจากโพรโทพลาสต์ของ TAL 141 ure his และ USDA 192 Trp Phe แต่ไม่เติม PEG พบจำนวนโคลนีนีขนาดใหญ่ทั้งหมดจาก กลุ่มทดลอง 72 โคลนีนี และจากกลุ่มควบคุม 44 โคลนีนี จากจำนวนเซลล์ 3×10^8 เซลล์ต่อมิลลิลิตร จึงนำโคลนีนีใหญ่ทั้งหมดไปแยกให้บริสุทธิ์อีกครั้งบนอาหารสูตรอุดม YM และลุ่มตัวอย่างจำนวน ครั้งหนึ่ง นำไปทดสอบสมบัติเบื้องต้นเปรียบเทียบกับสายพันธุ์พ่อแม่ คือ TAL 141 ure his และ USDA 192 Trp Phe

การหลอมโพรโทพลาสต์ของไรโซเบียมสายพันธุ์ TAL141 ure his ที่มียื่นเครื่องหมายจากการเตรียมแบบ double mutation กับโพรโทพลาสต์ของไรโซเบียมสายพันธุ์ USDA 192 Trp Phe ซึ่งเป็น point mutant นั้น มีปัญหาอยู่ว่า

ภาพที่ 5



ภาพที่ 6



ภาพที่ 5,6 กลุ่มโพรโทพลาสต์ของไรโซเบียมขนาดต่างๆ กัน ภายหลังจากการหลอมเซลล์ด้วย 15% PEG 6000 ที่ 42 °ซ จากการศึกษาภายใต้กล้องจุลทรรศน์กำลังขยาย 400 และ 1000 เท่า ตามลำดับ

ก. โครโมโซมของแต่ละสายพันธุ์จะมีลักษณะ เด่นและ ค้อยต่อกันหรือไม่

ข. การหาลิ้นผนัง เซลล์ของโพธิพลาสต์ของฟิวแซนต์และของสายพันธุ์พ่อแม่ จะแตกต่างกันหรือไม่

สำหรับปัญหาข้อ ข. นั้น จะสังเกตได้จากการทำกลุ่มควบคุมควบคู่ไปกับการคัดเลือกฟิวแซนต์ ส่วนปัญหาของข้อ ก. จะทราบได้ต่อเมื่อแยกฟิวแซนต์ออกมาได้จริง ๆ เท่านั้น

โดยหลักการ การรวมตัวกันของโครโมโซมนั้น ไม่จำเป็นจะต้องใช้เอนไซม์ เพราะแรงระหว่างไฮโดรเจนบอนด์ย่อมเกิดได้โดยง่ายแบบสุ่ม (random) แต่หลังจากการเกิดรีคอมบิเนชันแล้ว จะได้โครโมโซมเสถียรหรือไม่ เป็นปัญหาของการแบ่งตัวของโครโมโซม (replication)

จากการทดลองพบว่า กลุ่มควบคุม TAL141 ure his นั้น ไม่ปรากฏว่ามีโคลนนี้ขึ้นบนสูตรอาหารคัดเลือกแต่อย่างใด ซึ่งก็ไม่น่าสงสัย เพราะโพธิพลาสต์ของ TAL 141 ure his เป็น double mutation ย่อมมีอัตราการหาลกลับเท่ากับ $10^{-10}-10^{-12}$ ต่อเซลล์ แต่สำหรับกลุ่มควบคุมของ USDA192 Trp Phe นั้น เมื่อบ่มเซลล์ไปหลาย ๆ วัน จะได้โคลนนี้ขนาดเล็ก ๆ เริ่มขึ้นบาง ๆ

โชคดีที่ว่าก่อนที่จะมีโคลนนี้ขนาดเล็กเกิดขึ้น ก็ได้มีโคลนนี้ใหญ่ ๆ เกิดขึ้นด้วยซึ่งสามารถแยกไปทำให้บริสุทธิ์ได้ง่าย แต่การที่มีโคลนนี้เล็ก ๆ ขึ้นภายหลัง ทำให้การแยกโคลนนี้ให้บริสุทธิ์เป็นสิ่งที่จะต้องระมัดระวัง เพราะอาจจะมีโคลนนี้เล็ก ๆ แทรกอยู่ระหว่างในโคลนนี้ใหญ่ ๆ ได้

4.1 การทดสอบสรีรวิทยาของฟิวแซนต์ ได้ศึกษาสมบัติทางสรีรวิทยา 2 อย่าง คือ ทดสอบสมบัติเบื้องต้นซึ่งได้แก่การทดสอบความสามารถในการเจริญบนอาหารแข็งชนิดต่างๆ และศึกษาการเจริญอาหารเหลวสูตรปรับต่ำ MMG

4.1.1 การทดสอบสมบัติเบื้องต้น ได้นำโคลนนี้ขนาดใหญ่จากกลุ่มทดลอง 36 โคลนนี้ และกลุ่มควบคุม 22 โคลนนี้ ไปทดสอบสมบัติต่างๆ ดังแสดงในภาพที่ 7 พบว่า โคลนนี้ที่เจริญบนอาหารสูตรต่างๆ เจริญได้แตกต่างกัน ดังแสดงผลการทดลองในตารางที่ 14 ก พบว่าโคลนนี้ที่ได้จากกลุ่มทดลอง 9 โคลนนี้ มีสมบัติเหมือน TAL 141 ure his ทุกประการ และ 9 โคลนนี้ ที่มีสมบัติเหมือน USDA 192 Trp Phe ทุกประการ โคลนนี้ที่เหลืออีก 18 โคลนนี้ มีลักษณะแตกต่างกัน แบ่งได้เป็น 3 กลุ่มใหญ่ ๆ คือ (1) สายพันธุ์ที่มีลักษณะคล้าย TAL 141 ure his เกือบทั้งหมด ยกเว้นสมบัติในการเจริญบนอาหารสูตรปรับต่ำ MMG มีจำนวน 3 สายพันธุ์



ศูนย์วิทยทรัพยากร
จุฬาลงกรณ์มหาวิทยาลัย

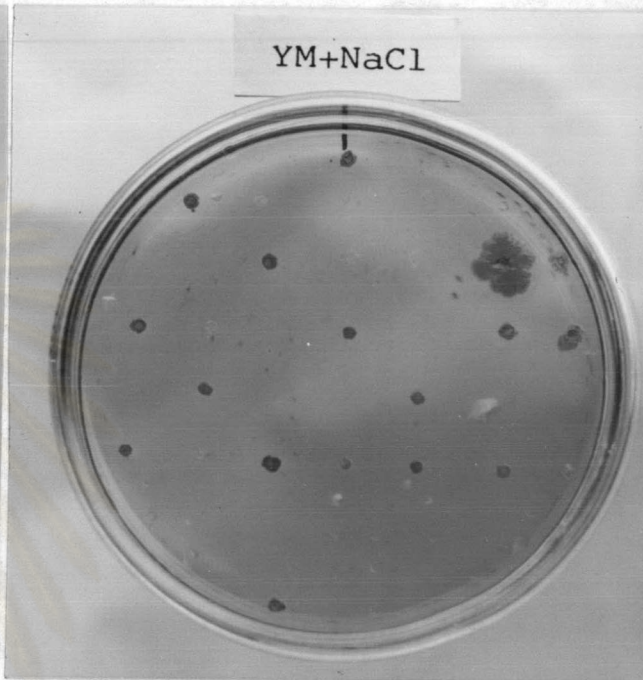
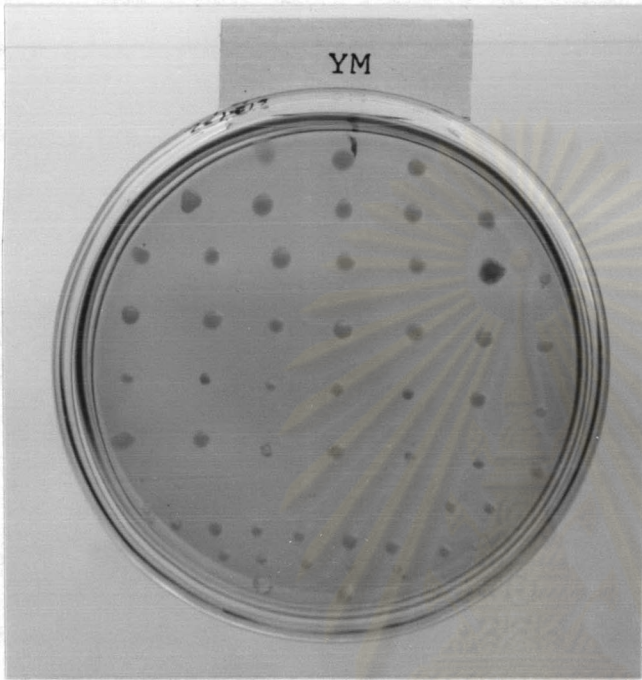
สงวนลิขสิทธิ์



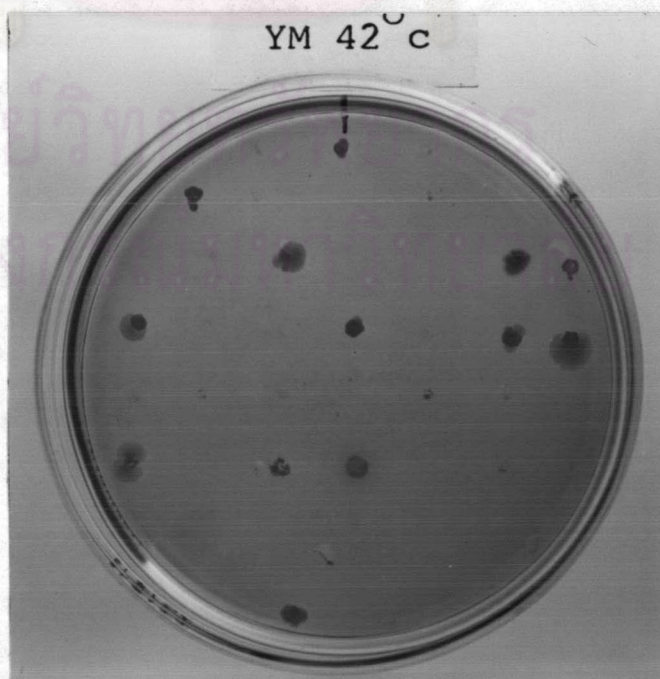
ภาพที่ 7

ก.

ข.



ค.

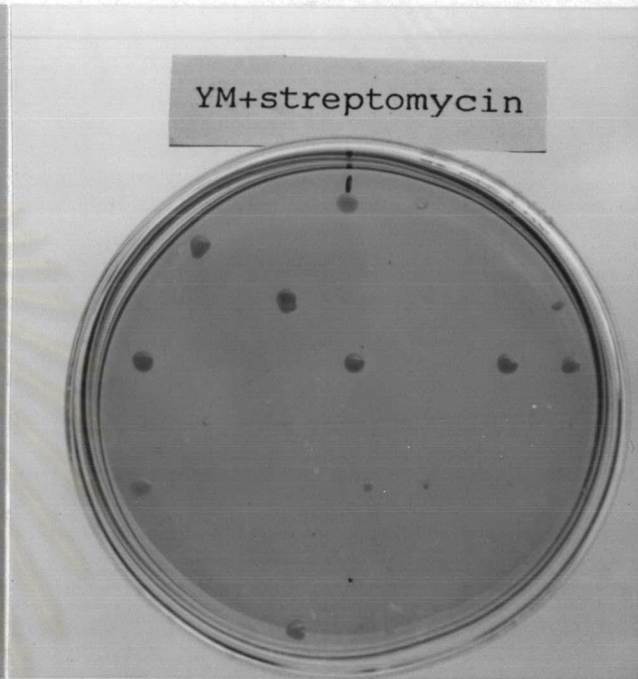


ภาพที่ 7 (ต่อ)

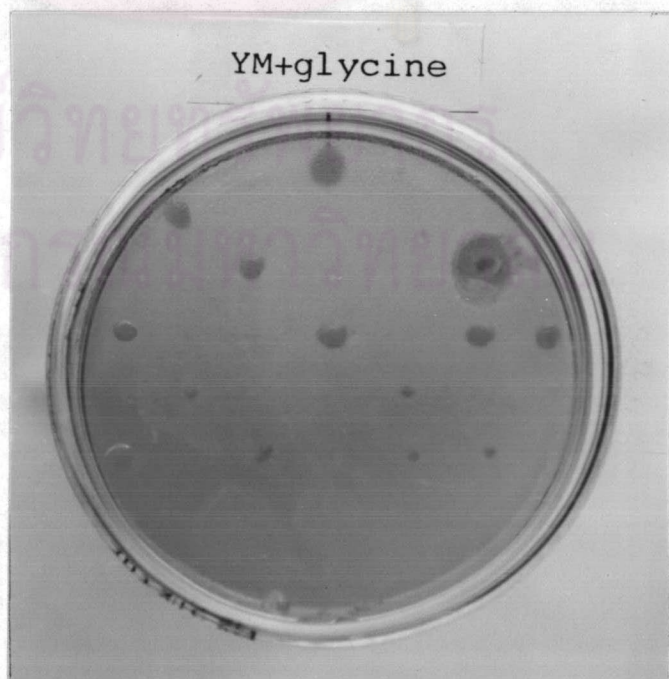
ง.



จ.

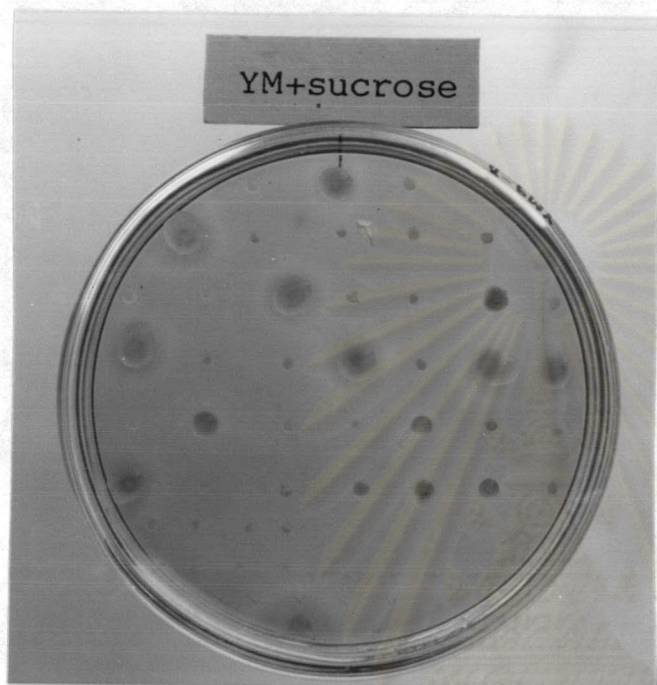


ฉ.

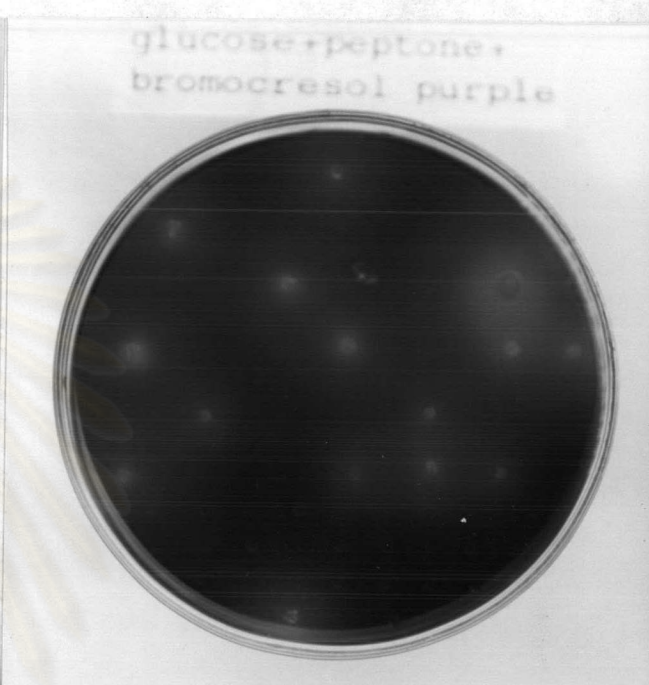


ภาพที่ 7 (ต่อ)

ช.

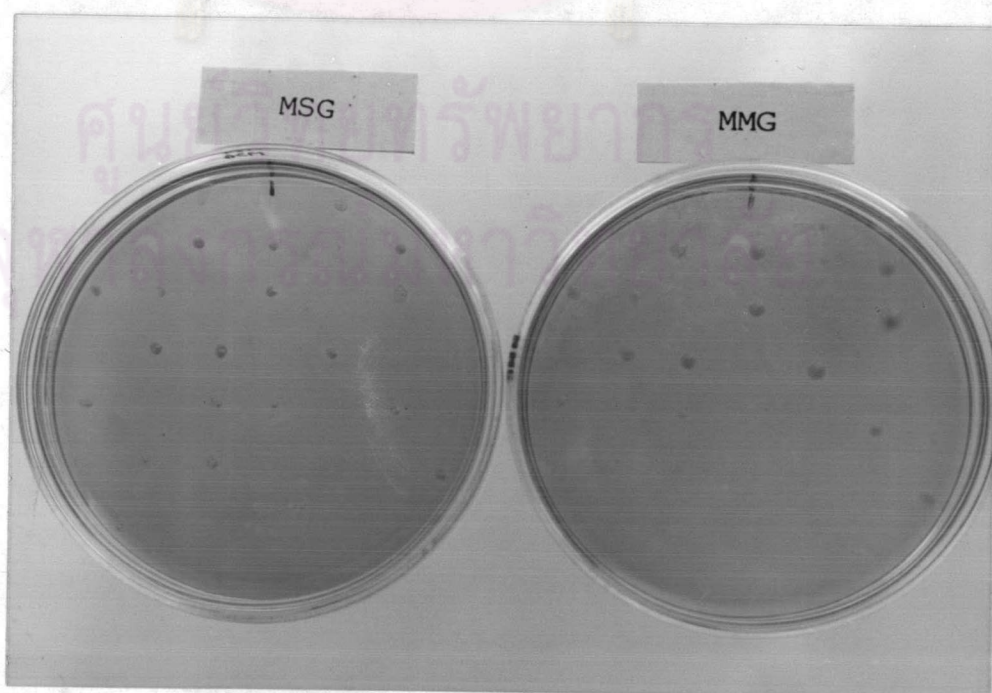


ค.



ด.

ฉ.



ตารางที่ 14 ก ความสามารถในการเจริญบนสูตรอาหารชนิดต่าง ๆ ของโคโลนีที่แยกได้จาก
อาหารสูตรคัดเลือก (MMGS-8) 36 โคโลนี

Types of medium	TAL 141	USDA 192	No. of colonies that give +ve
	<u>ure</u> <u>his</u>	Trp Phe	
⁽¹⁾ YM 30 °C	+	+	36
YM + 0.3 M NaCl	+	-	16
YM 42 °C	+	-	14
YM + 50 µg/ml Km	+	-	12
YM + 25 µg/ml Sm	+	-	12
YM + 0.1% Glycine	+	-	15
YM + 8% Sucrose	+ ^{Suc+}	+ ^{Suc-}	13
⁽²⁾ MMG	-	+ ₋	18
⁽²⁾ MSG	-	+	18
⁽³⁾ GP + BCP	+ ^v	+ ^v	14

⁽¹⁾YM = สูตรอาหารอุดม Km = Kanamycin Sm = Streptomycin

⁽²⁾MMG หรือ MSG = สูตรอาหารปรับต่ำที่มีแมนนิทอลหรือซัคซิเนก เป็นแหล่งต้นตอคาร์บอนตามลำดับ
และมีกลูตาเมทเป็นแหล่งไนโตรเจน

⁽³⁾GP + BCP = glucose-peptone medium

+ = พบการเจริญของเชื้อ - = ไม่พบการเจริญของเชื้อ

+₋ = บางครั้งพบการเจริญของเชื้อได้เล็กน้อยหรือไม่พบการเจริญของเชื้อ

Suc+ = สามารถใช้ชูโครสได้ดี ให้โคโลนีขนาดใหญ่มีเมือกใส

Suc- = ไม่มีการใช้ชูโครส ให้โคโลนีขนาดเล็กปกติ เช่นเดียวกับการเจริญบน YM

v = มีการเปลี่ยนแปลงสีของอาหารเลี้ยงเชื้อเป็นสีเหลือง

v₋ = ไม่มีการเปลี่ยนแปลงสีของอาหารเลี้ยงเชื้อจากสีแดงเป็นสีม่วง

(2) สายพันธุ์ที่มีลักษณะคล้าย USDA 192 Trp Phe เกือบทั้งหมด ยกเว้นสมบัติในการเจริญบนอาหารสูตรปรับต่ำ MMG ได้ดีกว่า มีจำนวน 8 สายพันธุ์ (3) อีก 2 สายพันธุ์มีสมบัติก้ำกึ่งระหว่าง TAL 141 และ USDA 192 ซึ่งไม่สามารถบอกได้ว่าคล้ายสายพันธุ์ใดมากกว่ากัน สำหรับกลุ่มควบคุมซึ่งให้โคลนีนขนาดใหญ่ 22 โคลนีน พบว่ามีสมบัติต่าง ๆ เหมือน USDA 192 Trp Phe ทุกประการ จึงพอสรุปได้ว่าโคลนีนจากกลุ่มทดลองคือฟิวแซนต์ร่วมกับรีเวอร์แทนต์ ส่วนโคลนีนจากกลุ่มควบคุมคือ รีเวอร์แทนต์เพียงอย่างเดียว

ลุ่มตัวอย่างฟิวแซนต์ทั้งสามชนิดจำนวน 5 สายพันธุ์ ซึ่งมีสมบัติเบื้องต้นดังแสดงในตารางที่ 14 ข เพื่อนำไปทดสอบสมบัติขั้นต่อไป

4.1.2 การเจริญของฟิวแซนต์ในสูตรอาหารเหลวปรับต่ำ MMG จากการศึกษาการเจริญของฟิวแซนต์ทั้งห้าสายพันธุ์ ในอาหารเหลวสูตรครบและอาหารสูตรปรับต่ำเปรียบเทียบกับสายพันธุ์พ่อแม่ ได้รูปแบบการเจริญดังรูปที่ 14 และ 15 จะเห็นว่าฟิวแซนต์ทั้งห้าสายพันธุ์ สามารถเจริญได้ในสูตรอาหารปรับต่ำ MMG ในขณะที่สายพันธุ์พ่อแม่ TAL 141 ure his ไม่สามารถเจริญในสูตรอาหารปรับต่ำ และ USDA 192 Trp Phe มีการเจริญในสูตรอาหารปรับต่ำได้เพียงเล็กน้อย อย่างไรก็ตามฟิวแซนต์ทั้งห้าสายพันธุ์ก็ยังคงมีความแตกต่างกันของค่าการเจริญสูงสุด และแตกต่างจากการเจริญในสูตรอาหารครบอีกด้วย

4.2 การทดสอบทางชีวภาพ

4.2.1 การหารูปแบบของโครโมโซมที่ถูกย่อยด้วยเรสตริกชันเอนไซม์ทราบกันดีแล้วว่า ไรโซเบียมเป็นแบคทีเรียที่หน้าจะมี redundant gene เพราะการแยกมิวแทนต์นั้นทำได้ยากกว่าแบคทีเรียทั่วไป และเป็นอุปสรรคสำคัญของการวิจัยทางพันธุกรรมในระดับโมเลกุล ดังนั้นการแยกโครโมโซมของไรโซเบียมมาตัดด้วยเรสตริกชันเอนไซม์ จึงมีโอกาที่จะได้พบรูปแบบของโครโมโซมที่ถูกย่อยด้วยเอนไซม์แล้วมีความหมาย (restriction pattern มีค่า) และเพื่อทดสอบว่ารีคอมบิเนชันของโครโมโซมระหว่างไรโซเบียมสายพันธุ์ USDA 192 Trp Phe และ TAL 141 ure his ได้เกิดขึ้นจริง การทดสอบที่เบื้องต้นที่สุดก็คือ ลักษณะของ restriction patterns ของฟิวแซนต์จะต้องจัดเข้ากับสายพันธุ์พ่อแม่ได้

จากการทดลองเลือกใช้เอนไซม์ตัดจำเพาะ 3 ชนิดคือ EcoR I, BamH I และ Xho I ตัด chromosomal DNA ของฟิวแซนต์ทั้งห้า เปรียบเทียบกับสายพันธุ์พ่อแม่ ดังแสดงในภาพที่ 8 ผลการทดลองพบว่ารูปแบบโครโมโซมที่ย่อยด้วยเรสตริกชันเอนไซม์ของสายพันธุ์ F11 คล้ายกับ

ตารางที่ 14 ข สมบัติเบื้องต้นของฟิวแซนต์บางสายพันธุ์ที่แยกได้

Types of medium	TAL 141	USDA 192	Strains of fusant				
	<u>ure</u> <u>his</u>	Trp Phe	F11	F14	F15	F20	F36
⁽¹⁾ YM 30°C	+	+	+	+	+	+	+
YM + 0.3 M NaCl	+	-	+	+	+	-	-
YM 42°C	+	-	+	+	+	-	-
YM + 50 µg/ml Km	+	-	+	-	+	-	-
YM + 25 µg/ml Sm	+	-	+	-	+	-	-
YM + 0.1% Glycine	+	-	+	+	+	-	-
YM + 8% Sucrose	+ ^{Suc+}	+ ^{Suc-}	+ ^{Suc+}	+ ^{Suc+}	+ ^{Suc+}	+ ^{Suc-}	+ ^{Suc-}
⁽²⁾ MMG	-	±	+	+	+	+	+
⁽²⁾ MSG	-	+	+	+	+	+	+
⁽³⁾ GP + BCP	+ ^v	± ^v	+ ^v	+ ^v	+ ^v	± ^v	± ^v

⁽¹⁾ YM = สูตรอาหารอุดม Km = Kanamycin Sm = Streptomycin

⁽²⁾ MMG หรือ MSG = สูตรอาหารปรับต่ำที่มีแมนนิทอลหรือซัคซิเนท เป็นแหล่งต้นตอคาร์บอนตามลำดับ และมีกลูตาเมทเป็นแหล่งไนโตรเจน

⁽³⁾ GP + BCP = glucose-peptone medium

+ = พบการเจริญของเชื้อ - = ไม่พบการเจริญของเชื้อ

± = บางครั้งพบการเจริญของเชื้อ ได้เล็กน้อยหรือไม่พบการเจริญของเชื้อ

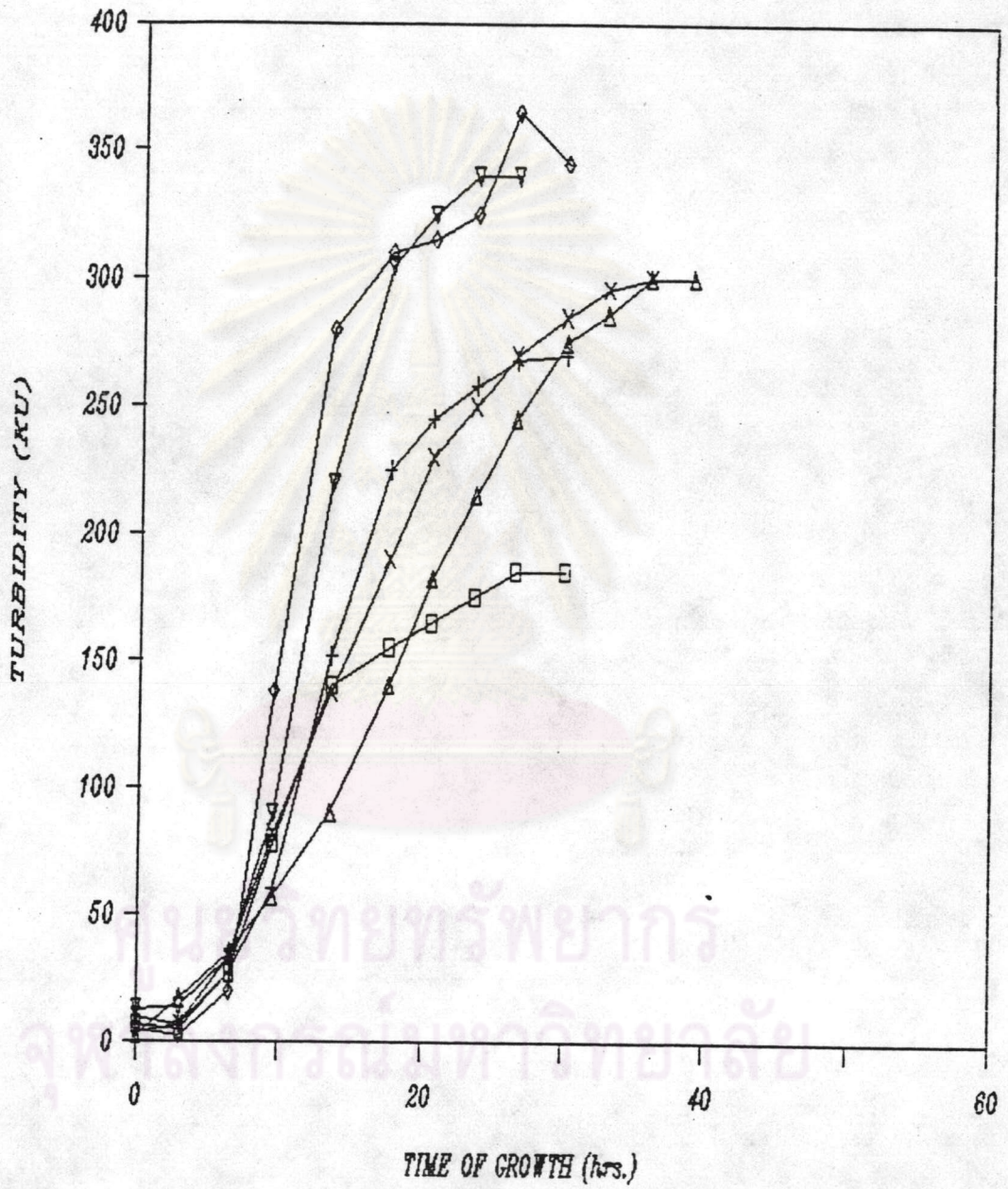
Suc+ = สามารถใช้ชูโครสได้ดี ให้โคโลนีขนาดใหญ่มีเมือกใส

Suc- = ไม่มีการใช้ชูโครส ให้โคโลนีขนาดเล็ก เช่นเดียวกับการเจริญบน YM

^v = มีการเปลี่ยนแปลงสีของอาหารเลี้ยงเชื้อเป็นสีเหลือง

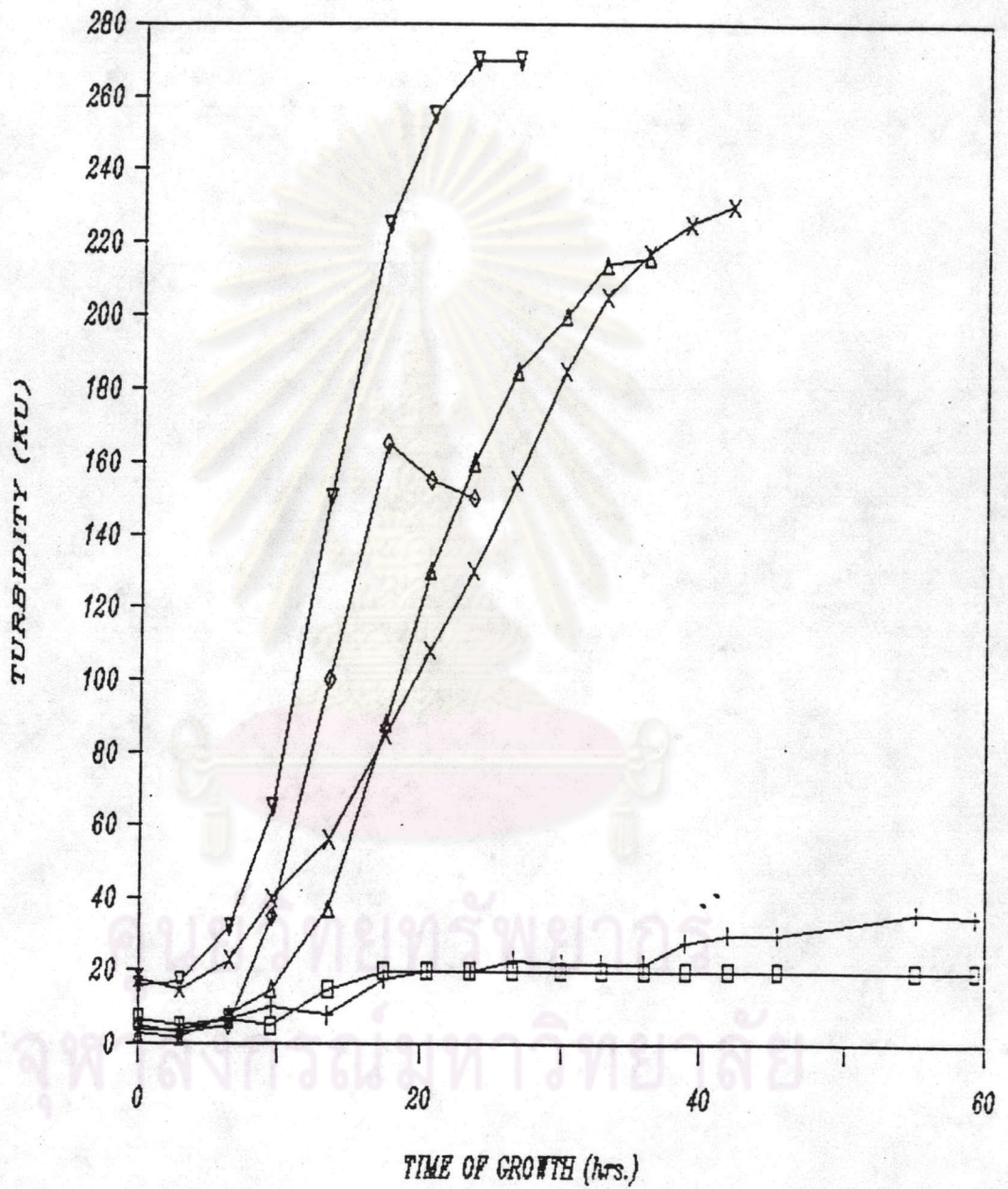
^v = ไม่มีการเปลี่ยนแปลงสีของอาหารเลี้ยงเชื้อจากสีแดงเดิมคือสีม่วง

รูปที่ 14 รูปแบบการเจริญของฟิวแซนด้าในอาหารสูตรครบ CM



□	TAL141	+	USDA192	×	F11
◇	F14	△	F15	▽	F36

รูปที่ 15 รูปแบบการเจริญของฟิวแซนด้าในอาหารสูตรปรับต่ำ MMG



□ TAL141

◇ F14

+ USDA192

△ F15

X F11

▽ F36



ภาพที่ 8

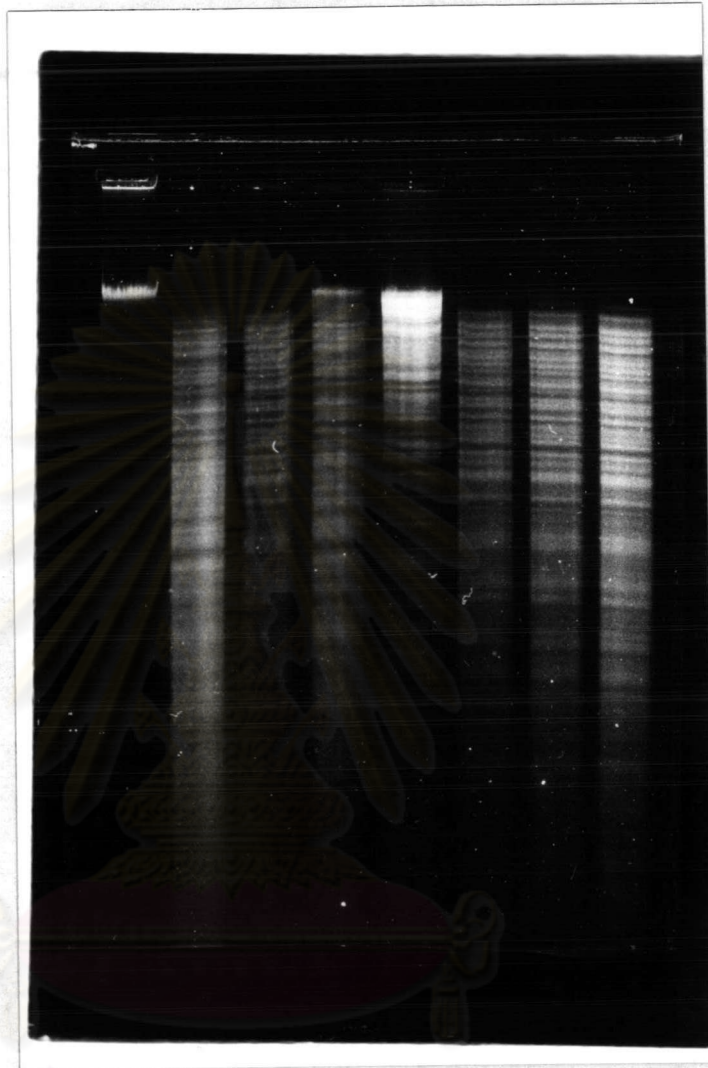
1 2 3 4 5 6 7 8



ภาพที่ 8 ก แสดงรูปแบบดีเอ็นเอของโครโมโซมที่แยกได้ ก่อนย่อยด้วยเรสทริกชันเอนไซม์

- | | |
|-----------|--|
| ช่องที่ 1 | λ / Hind III มาตรฐาน |
| ช่องที่ 2 | ดีเอ็นเอของโครโมโซมของสายพันธุ์ TAL 141 <u>ure his</u> |
| ช่องที่ 3 | ดีเอ็นเอของโครโมโซมของสายพันธุ์ USDA 192 Trp Phe |
| ช่องที่ 4 | ดีเอ็นเอของโครโมโซมของฟิวแซนต์ F11 |
| ช่องที่ 5 | ดีเอ็นเอของโครโมโซมของฟิวแซนต์ F14 |
| ช่องที่ 6 | ดีเอ็นเอของโครโมโซมของฟิวแซนต์ F15 |
| ช่องที่ 7 | ดีเอ็นเอของโครโมโซมของฟิวแซนต์ F20 |
| ช่องที่ 8 | ดีเอ็นเอของโครโมโซมของฟิวแซนต์ F36 |

1 2 3 4 5 6 7 8



ภาพที่ 8 ข แสดงรูปแบบดีเอ็นเอของโครโมโซมที่ถูกย่อยด้วยเอนไซม์ EcoR I

- | | |
|-----------|--|
| ช่องที่ 1 | ดีเอ็นเอของโครโมโซมก่อนย่อยด้วยเอนไซม์ |
| ช่องที่ 2 | ดีเอ็นเอของโครโมโซมของสายพันธุ์ TAL 141 <u>ure his</u> |
| ช่องที่ 3 | ดีเอ็นเอของโครโมโซมของสายพันธุ์ USDA 192 Trp Phe |
| ช่องที่ 4 | ดีเอ็นเอของโครโมโซมของฟิวแซนต์ F11 |
| ช่องที่ 5 | ดีเอ็นเอของโครโมโซมของฟิวแซนต์ F14 |
| ช่องที่ 6 | ดีเอ็นเอของโครโมโซมของฟิวแซนต์ F15 |
| ช่องที่ 7 | ดีเอ็นเอของโครโมโซมของฟิวแซนต์ F20 |
| ช่องที่ 8 | ดีเอ็นเอของโครโมโซมของฟิวแซนต์ F36 |

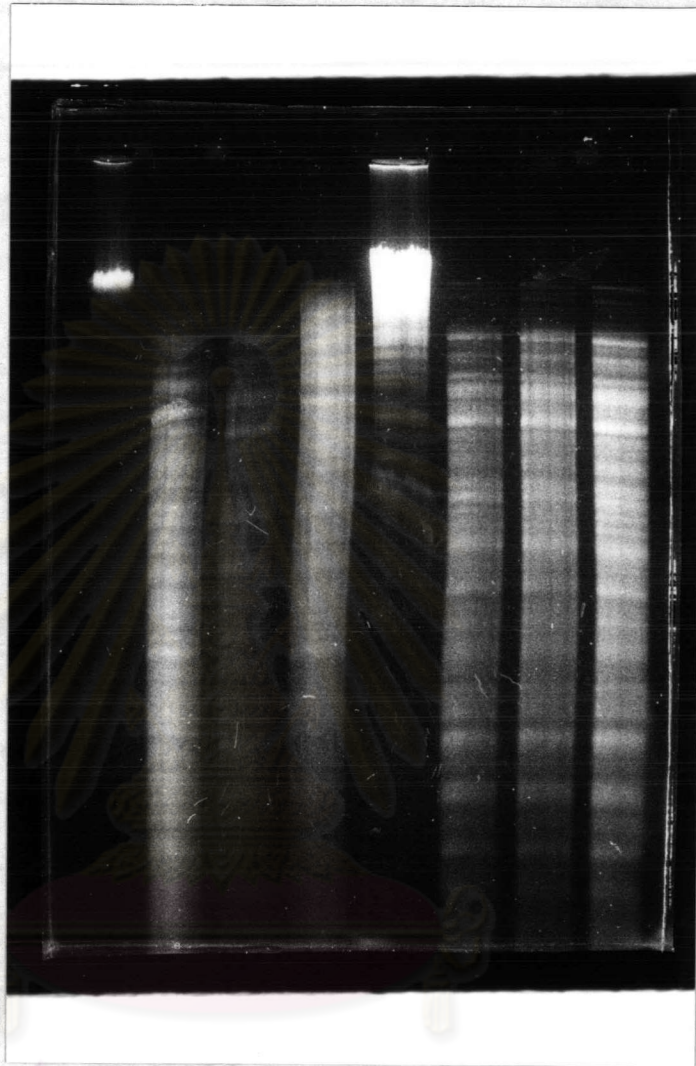
1 2 3 4 5 6 7 8



ภาพที่ 8 ค แสดงรูปแบบดีเอ็นเอของโครโมโซมที่ถูกย่อยด้วยเรสทริกชันเอนไซม์ BamH I

- | | |
|-----------|--|
| ช่องที่ 1 | ดีเอ็นเอของโครโมโซมก่อนย่อยด้วยเรสทริกชันเอนไซม์ |
| ช่องที่ 2 | ดีเอ็นเอของโครโมโซมของสายพันธุ์ TAL 141 <u>ure his</u> |
| ช่องที่ 3 | ดีเอ็นเอของโครโมโซมของสายพันธุ์ USDA 192 Trp Phe |
| ช่องที่ 4 | ดีเอ็นเอของโครโมโซมของฟิวแซนต์ F11 |
| ช่องที่ 5 | ดีเอ็นเอของโครโมโซมของฟิวแซนต์ F14 |
| ช่องที่ 6 | ดีเอ็นเอของโครโมโซมของฟิวแซนต์ F15 |
| ช่องที่ 7 | ดีเอ็นเอของโครโมโซมของฟิวแซนต์ F20 |
| ช่องที่ 8 | ดีเอ็นเอของโครโมโซมของฟิวแซนต์ F36 |

1 2 3 4 5 6 7 8



ภาพที่ 8 ง แสดงรูปแบบดีเอ็นเอของโครโมโซมที่ถูกย่อยด้วยเรสทริกชันเอนไซม์ Xho I

- | | |
|-----------|--|
| ช่องที่ 1 | ดีเอ็นเอของโครโมโซมก่อนย่อยด้วยเรสทริกชันเอนไซม์ |
| ช่องที่ 2 | ดีเอ็นเอของโครโมโซมของสายพันธุ์ TAL 141 <u>ure his</u> |
| ช่องที่ 3 | ดีเอ็นเอของโครโมโซมของสายพันธุ์ USDA 192 Trp Phe |
| ช่องที่ 4 | ดีเอ็นเอของโครโมโซมของฟิวแซนต์ F11 |
| ช่องที่ 5 | ดีเอ็นเอของโครโมโซมของฟิวแซนต์ F14 |
| ช่องที่ 6 | ดีเอ็นเอของโครโมโซมของฟิวแซนต์ F15 |
| ช่องที่ 7 | ดีเอ็นเอของโครโมโซมของฟิวแซนต์ F20 |
| ช่องที่ 8 | ดีเอ็นเอของโครโมโซมของฟิวแซนต์ F36 |

ของไรโซเบียมสายพันธุ์ TAL141 ure his และ F15, F20 และ F36 คล้ายกับของไรโซเบียมสายพันธุ์ USDA192 Trp Phe สำหรับ F14 เป็นสายพันธุ์ที่มี restriction patterns แตกต่างจากสายพันธุ์พ่อแม่โดยสิ้นเชิง บราดูการค้นพบในทำนองเดียวกันเมื่อย่อยโครโมโซมด้วยเรสทริกชันเอนไซม์ทั้ง 3 ชนิด และยังไม่พบเอนไซม์ตัดจำเพาะชนิดใด (เท่าที่มีในห้องปฏิบัติการ) ที่จะ เป็นตัวบ่งชี้ถึงความสัมพันธ์ของพิวแซนต์ F14 กับสายพันธุ์พ่อแม่ทั้งสอง

4.2.2 การทดสอบทางอิมมูโนวิทยา เนื่องจากสายพันธุ์พิวแซนต์ทั้งห้าสายพันธุ์ดังกล่าว บางสายพันธุ์มีสรีรสมบัติคล้าย TAL 141 ure his เช่น F11 และบางสายพันธุ์มีสรีรสมบัติคล้าย USDA 192 Trp Phe เช่น F20 และ F36 แต่บางสายพันธุ์ไม่สามารถบอกได้ว่าคล้าย TAL 141 ure his หรือ USDA 192 Trp Phe มากกว่ากัน (ตารางที่ 14ข) จึงทดสอบแอนติเจนบนผิวเซลล์ของพิวแซนต์สายพันธุ์ทั้งห้ากับแอนติซีรัมของสายพันธุ์พ่อแม่ เพื่อช่วยในการชี้บอกความสัมพันธ์ระหว่างพิวแซนต์ที่ได้กับสายพันธุ์พ่อแม่ โดยการทดสอบการเกาะกลุ่ม (agglutination test) ซึ่งอธิบายไว้ในวิธีการทดลองในบทที่ 2 ผลการทดลองแสดงในภาพที่ 9 และตารางที่ 15 อธิบายได้ดังนี้ (1) ในกลุ่มควบคุม ก ซึ่งทดสอบปฏิกิริยาระหว่างแอนติเจนกับแอนติซีรัมภายในสายพันธุ์พ่อแม่และแม่ พบว่า TAL141 ure his เกิด agglutination ที่ไตเตอร์ 2048 และ USDA192 Trp Phe เกิด agglutination ที่ไตเตอร์ 1024 สำหรับกลุ่มควบคุม ข ซึ่งทดสอบปฏิกิริยาระหว่างแอนติเจนกับแอนติซีรัมข้ามสายพันธุ์พ่อแม่ พบการเกิดปฏิกิริยาข้าม (cross reaction) ต่ำมาก คือ ไม่พบการเกิด agglutination ระหว่างแอนติเจนของ TAL 141 ure his กับ แอนติซีรัมของ USDA 192 Trp Phe และ เกิด agglutination ระหว่างแอนติเจนของ USDA 192 Trp Phe กับแอนติซีรัมของ TAL 141 ure his ที่ไตเตอร์ต่ำกว่า 4 (2) พิวแซนต์สายพันธุ์ F11 มีลักษณะแอนติเจนผิวเซลล์คล้ายคลึงกับ TAL 141 ure his มากกว่า USDA 192 Trp Phe คือพบว่าแอนติเจนจาก F11 เกิด agglutination กับแอนติซีรัมของ TAL 141 ure his ที่ไตเตอร์ 256 และพบการเกิด agglutination กับแอนติซีรัมของ USDA 192 Trp Phe ที่ไตเตอร์ต่ำเพียง 8 (3) พิวแซนต์สายพันธุ์ F15, F20 และ F36 มีลักษณะแอนติเจนบนผิวเซลล์คล้ายคลึงกับ USDA 192 Trp Phe คือ พบว่าแอนติเจนจาก F15, F20 และ F36 เกิด agglutination กับแอนติซีรัมของ USDA 192 Trp Phe ที่ไตเตอร์สูงถึง 1024 แต่พบการเกิด agglutination กับแอนติซีรัมของ TAL 141 ure his ที่ไตเตอร์ต่ำเพียง 8 (4) สายพันธุ์ลูกผสม F14 มีลักษณะ

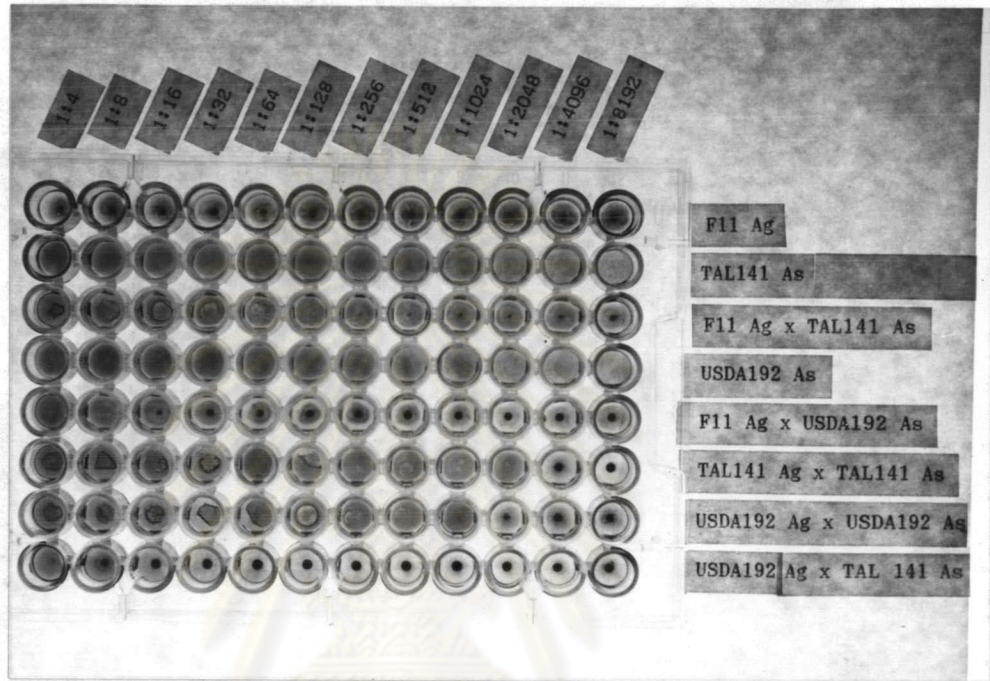


ศูนย์วิทยทรัพยากร
จุฬาลงกรณ์มหาวิทยาลัย

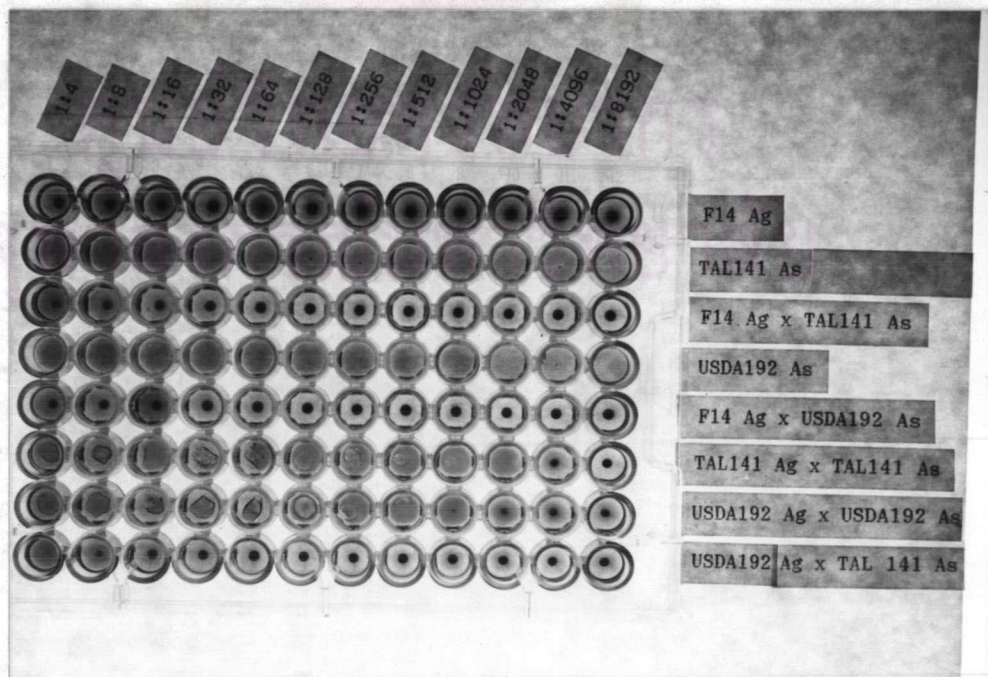


ภาพที่ 9

ก.

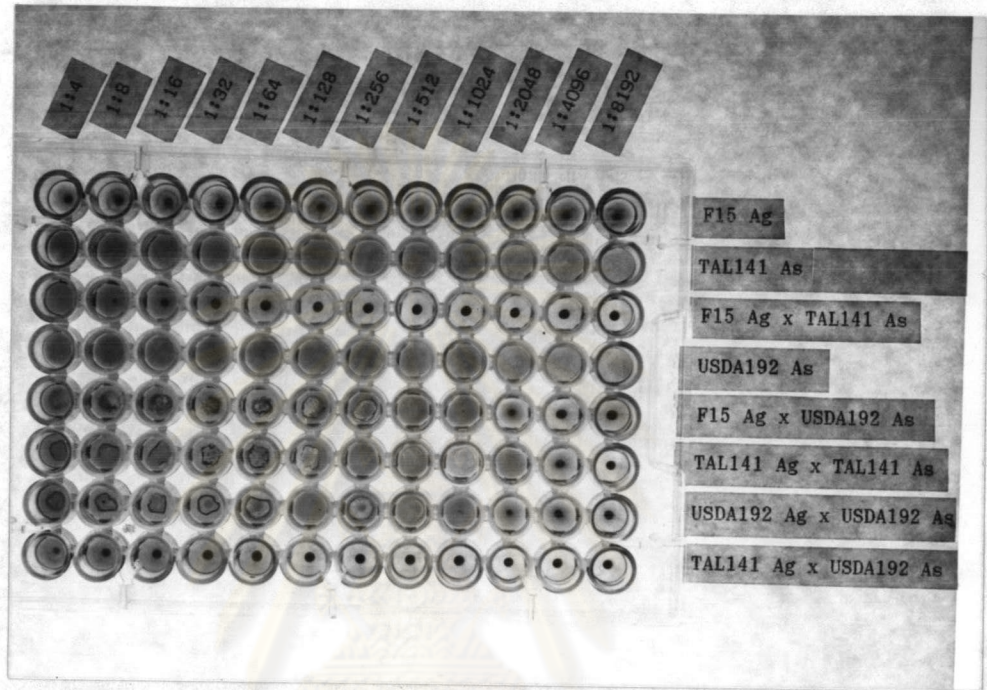


ข.

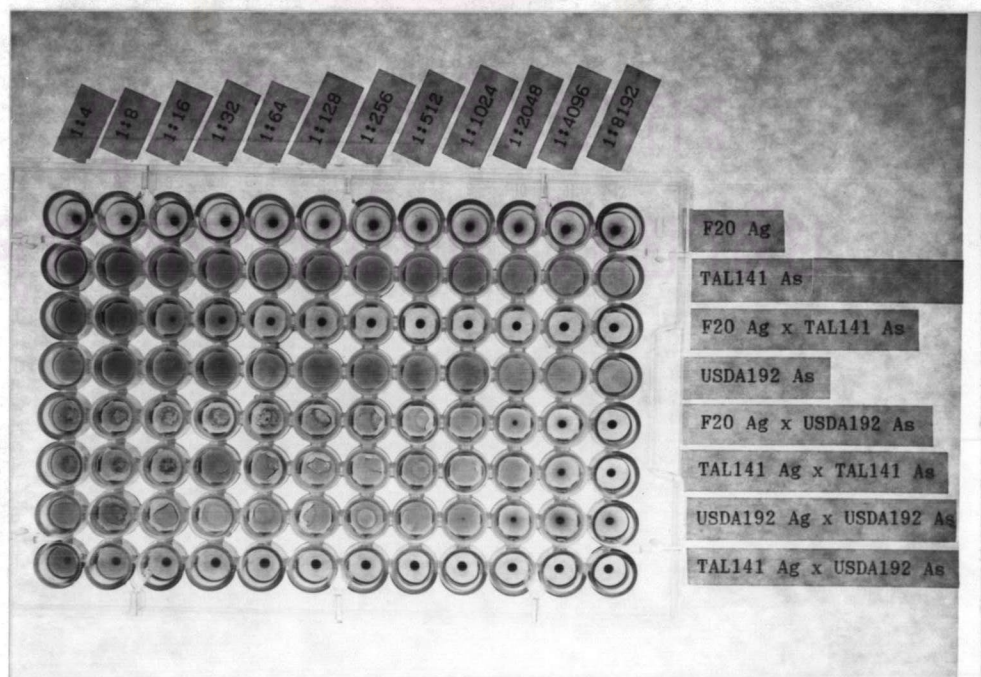


ภาพที่ 9 (ต่อ)

ค.

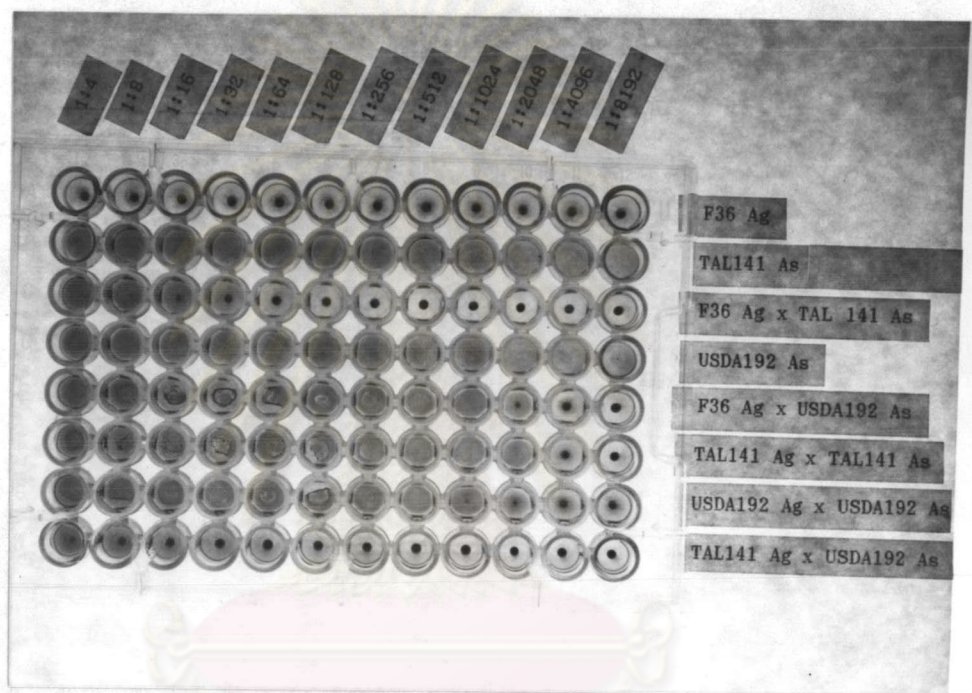


ง.



ภาพที่ 9 (ต่อ)

จ.



ศูนย์วิทยทรัพยากร
จุฬาลงกรณ์มหาวิทยาลัย

ตารางที่ 15 ความสัมพันธ์ทางอิมมูโนวิทยาระหว่างฟิวแซนต์กับสายพันธุ์พ่อแม่จากการวัดระดับ
แอกกลูทีเนชันไตเตอร์

Strainial antigen	Strainial antibody	Agglutination titer	Interpretation
TAL 141		2048	+ve control
<u>ure his</u>			
USDA 192		4	-ve control
Trp Phe	TAL 141		(cross reaction)
F11	<u>ure his</u>	256	partial TAL141
F14		< 4	not TAL141
F15		4	not TAL141
F20		4	not TAL141
F36		4	not TAL141
TAL 141		< 4	-ve control
<u>ure his</u>			(cross reaction)
USDA 192		1024	+ve control
Trp Phe	USDA 192		
F11	Trp Phe	8	not USDA192
F14		< 4	not USDA192
F15		1024	USDA192
F20		1024	USDA192
F36		1024	USDA192

แอนติเจนบนผิวเซลล์แตกต่างจาก TAL 141 ure his และ USDA 192 Trp Phe โดยสิ้นเชิง คือ แอนติเจนจาก F14 ไม่สามารถเกิด agglutination กับแอนติซีรัมของ TAL141 ure his และ USDA 192 Trp Phe ที่ไตเตอร์ต่ำเพียง 4

4.3 การทดสอบการติดบวมกับพืชตระกูลถั่วและแอคทีวิตีการรีดิวิชั่น เซทีลิน

ความสามารถในการติดบวมกับพืชตระกูลถั่ว เป็นคุณสมบัติจำเพาะของแบคทีเรียตระกูลไรโซเบียม เพื่อที่จะยืนยันว่าพิวแซนต์ที่ได้ภายหลังโพรโทพลาสต์ฟิวชัน เป็นสายพันธุ์ไรโซเบียมจริง จึงนำพิวแซนต์สายพันธุ์ F11, F14, F15, F20 และ F36 ไปทดสอบการติดบวมกับพืชตระกูลถั่วซีราโทร (seratro) และถั่วเหลือง (soybean) เปรียบเทียบกับสายพันธุ์พ่อแม่ TAL 141 ure his และ USDA 192 Trp Phe ใน Leonardjar ดังที่อธิบายไว้ในบทที่ 2 และมีกลุ่มควบคุมคือ ต้นพืชที่ไม่ใส่เชื้อในการเพาะปลูก เก็บเกี่ยวพืชที่มีอายุ 4 สัปดาห์ นำส่วนรากและลำต้นไปศึกษาขึ้นต่อไป

จากการสังเกตการติดบวมกับรากพืชตระกูลถั่วทั้งสองสายพันธุ์ของพิวแซนต์สายพันธุ์ดังกล่าว เปรียบเทียบกับสายพันธุ์พ่อแม่และกลุ่มควบคุม ซึ่งแสดงในภาพที่ 10.1 และ 10.2 จะเห็นว่าพิวแซนต์สายพันธุ์ F20 และ F36 มีการติดบวมกับพืชตระกูลถั่วทั้งสองสายพันธุ์ (ภาพที่ 10.1 ช, 10.2 ช และ 10.1 ซ, 10.2 ซ) ได้ดีกว่าสายพันธุ์พ่อแม่อย่างเห็นได้ชัด สำหรับพิวแซนต์สายพันธุ์ F14 และ F15 ไม่พบความแตกต่างของจำนวนบวมอย่างชัดเจน (ภาพที่ 10.1 จ, 10.2 จ และ 10.1 ฉ, 10.2 ฉ) เมื่อเปรียบเทียบกับสายพันธุ์พ่อแม่ (ภาพที่ 10.1 ข, 10.2 ข และ 10.1 ค, 10.2 ค) กรณีของพิวแซนต์ F11 ไม่พบการติดบวมเช่นเดียวกับกลุ่มควบคุม (ภาพที่ 10.1 ง, 10.2 ง และ 10.1 ก, 10.2 ก) น้ำหนักแห้งและความสูงของลำต้น จำนวนบวมและน้ำหนักบวม รวมทั้งแอคทีวิตีการรีดิวิชั่น เซทีลิน แสดงผลการทดลองในตารางที่ 16 (ถั่วเหลือง) และตารางที่ 17 (ซีราโทร) ได้ค่าทางสถิติขั้นสุดท้ายดังตารางที่ 18 และตารางที่ 19 พบว่า F11 ซึ่งมีลักษณะทางสรีรวิทยาคลาย TAL 141 ure his ไม่สามารถสร้างบวมกับถั่วเหลืองและซีราโทร ในขณะที่ F14 และ F15 ซึ่งมีลักษณะทางสรีรวิทยาร่วมระหว่าง TAL 141 ure his และ USDA 192 Trp Phe สามารถสร้างบวมกับถั่วเหลืองและซีราโทรได้เช่นเดียวกับสายพันธุ์พ่อแม่ทั้งสองดังกล่าว ส่วน F20 และ F36 ซึ่งมีลักษณะทางสรีรวิทยาที่คล้ายคลึง USDA 192 Trp Phe มีแนวโน้มจะสร้างบวมในถั่วเหลืองและซีราโทรได้ดีขึ้น โดยเฉพาะอย่างยิ่ง จำนวนบวมแตกต่างกันอย่างมีนัยสำคัญ (ตารางที่ 18 และ 19 ตามลำดับ) และได้สรุปสมบัติที่น่าสนใจของพิวแซนต์ทั้งห้าสายพันธุ์ไว้ในตารางที่ 20



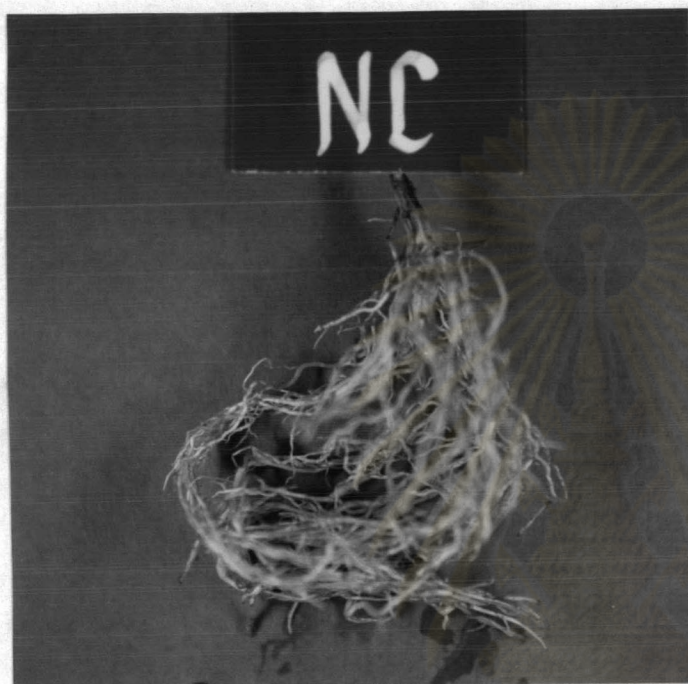
ศูนย์วิทยทรัพยากร
จุฬาลงกรณ์มหาวิทยาลัย



ภาพที่ 10.1

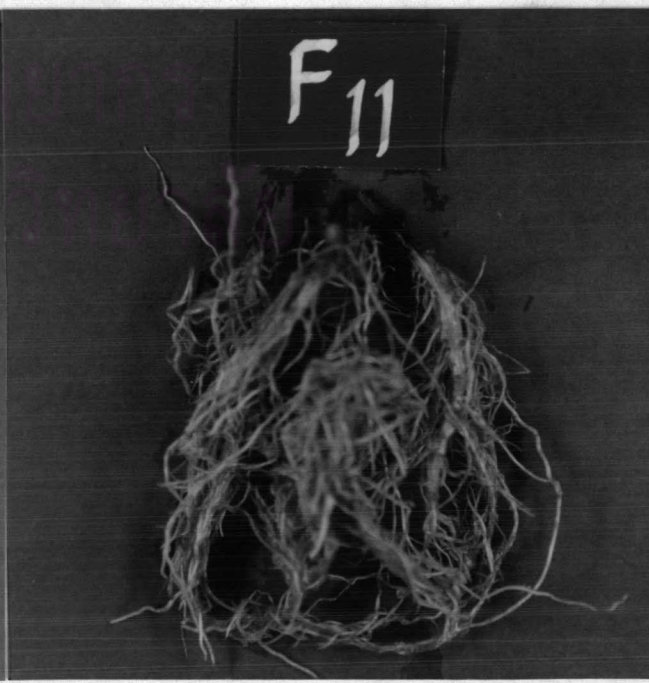
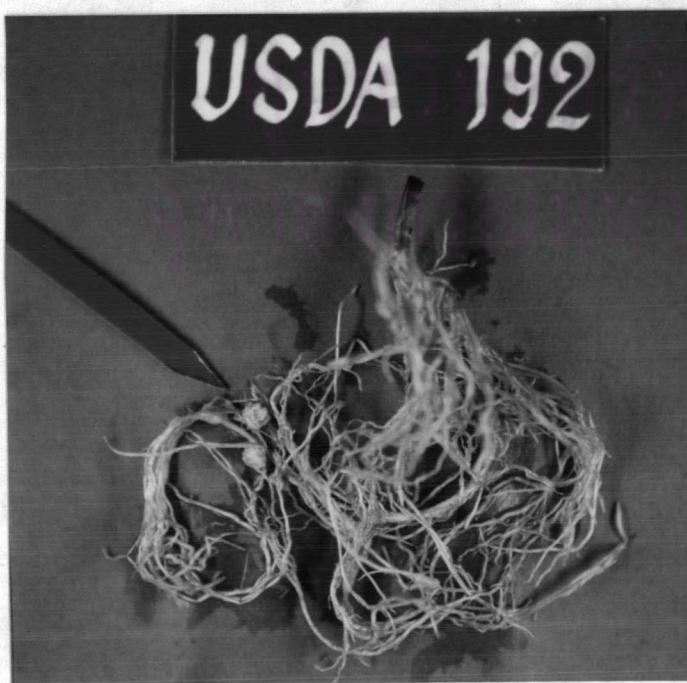
ก.

ข.



ค.

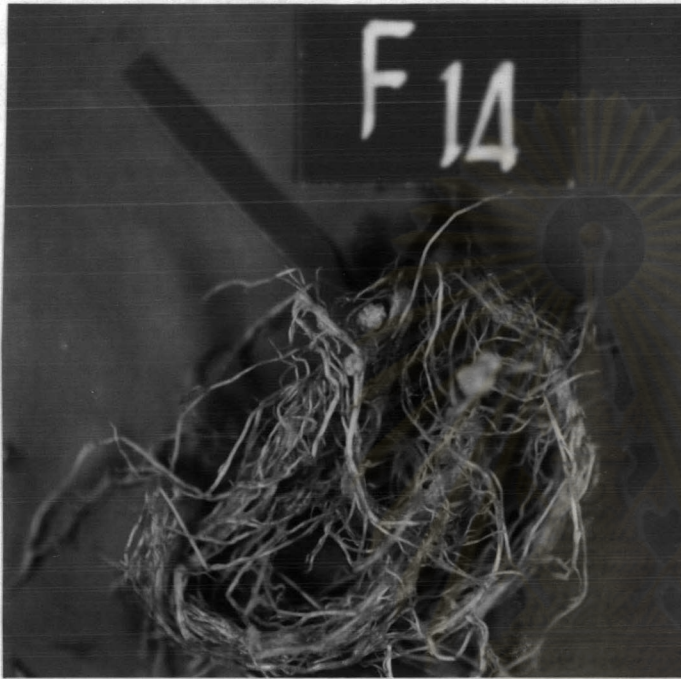
ง.



ภาพที่ 10.1 (ต่อ)

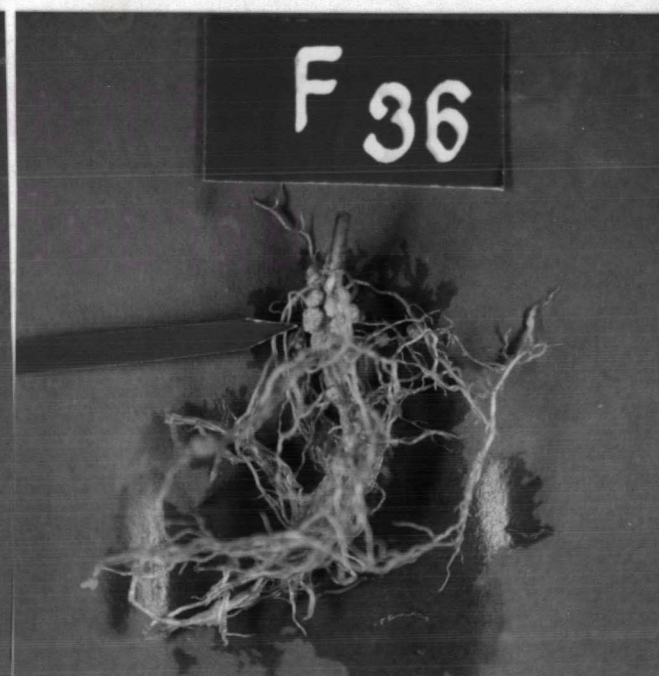
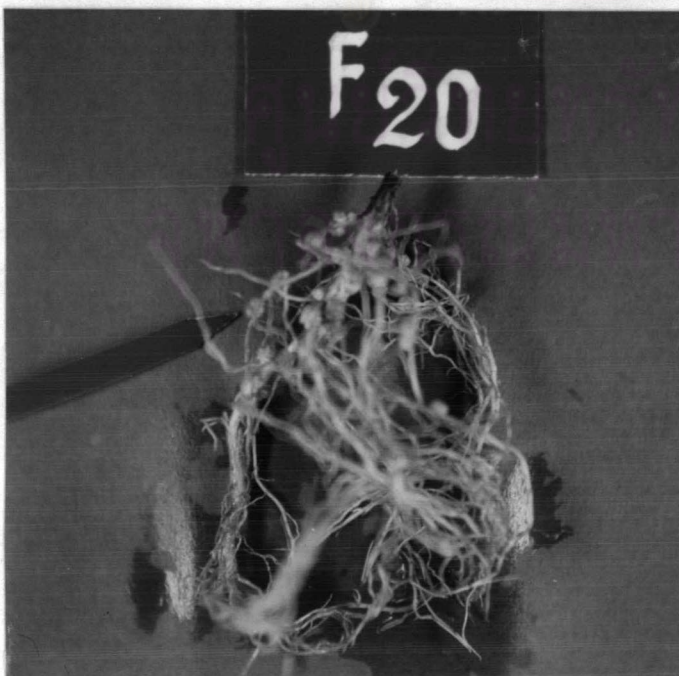
จ.

ฉ.



ช.

ซ.





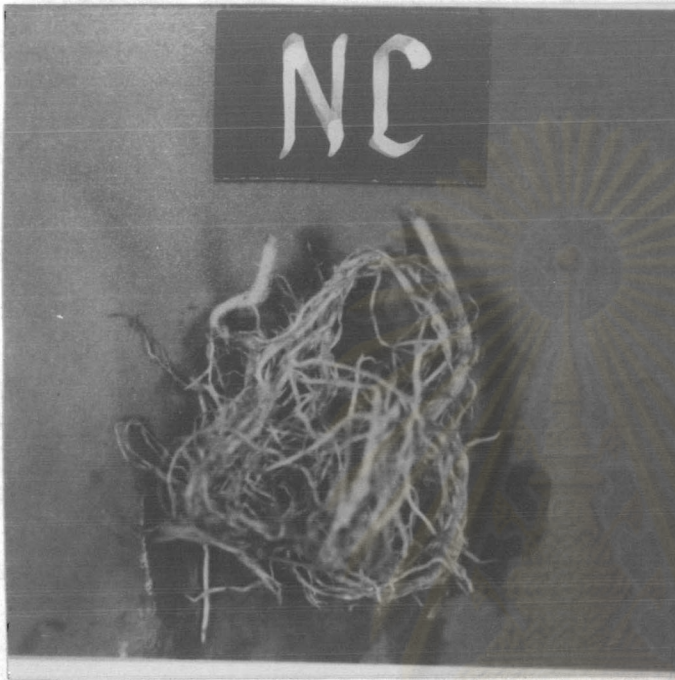
ศูนย์วิทยทรัพยากร
จุฬาลงกรณ์มหาวิทยาลัย



ภาพที่ 10.2

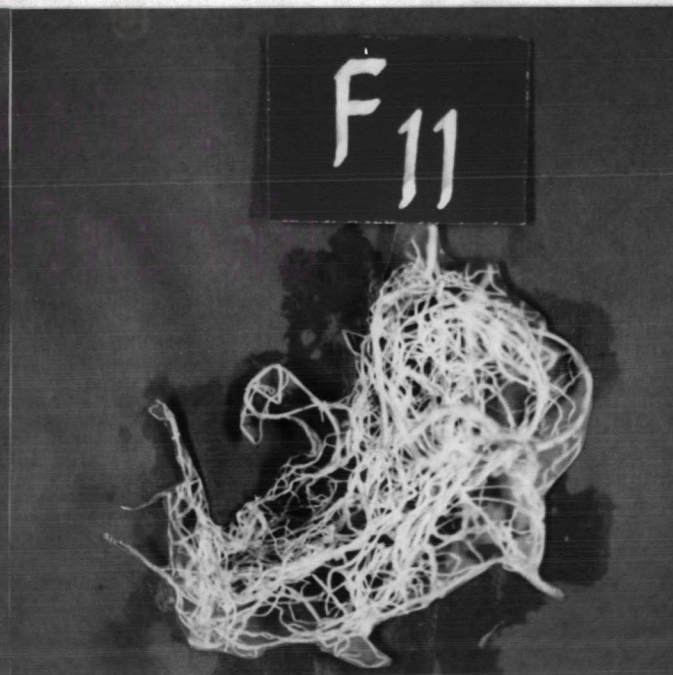
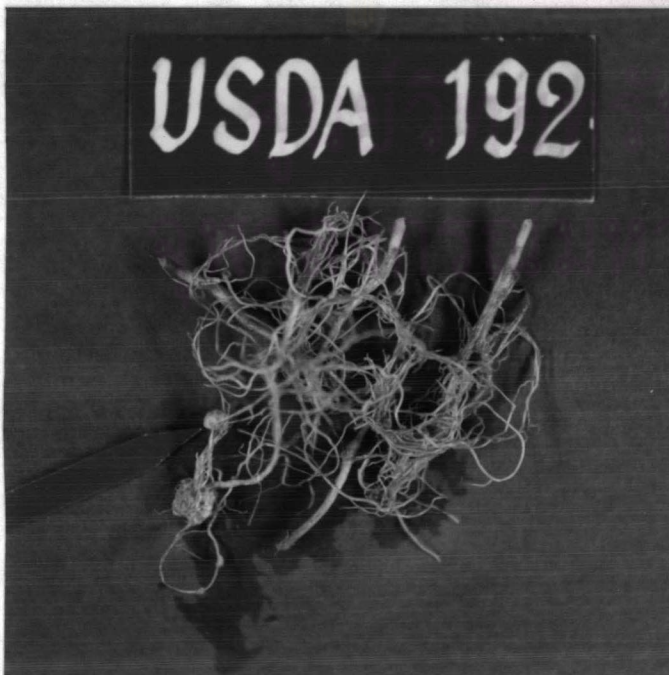
ก.

ข.



ค.

ง.

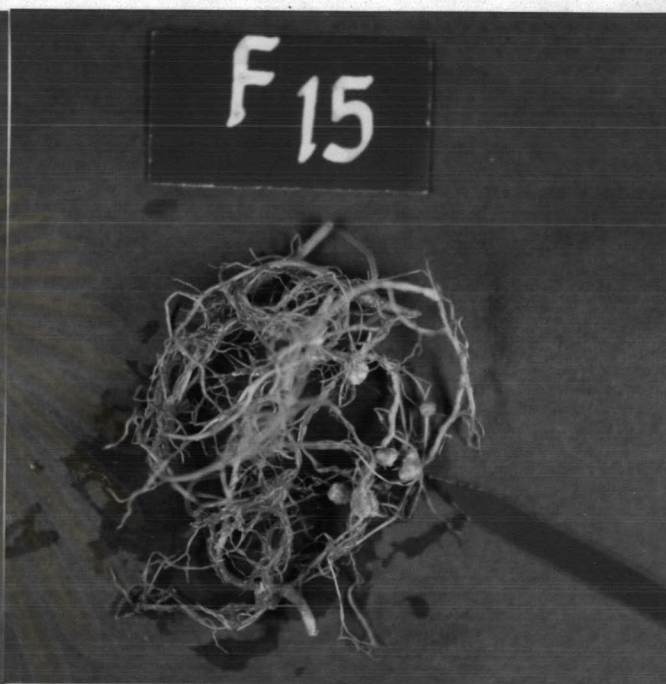
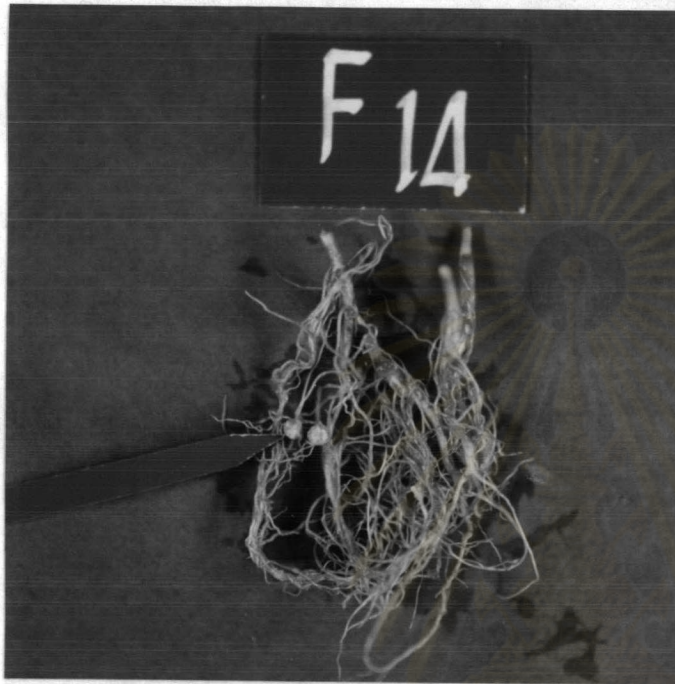




ภาพที่ 10.2 (ต่อ)

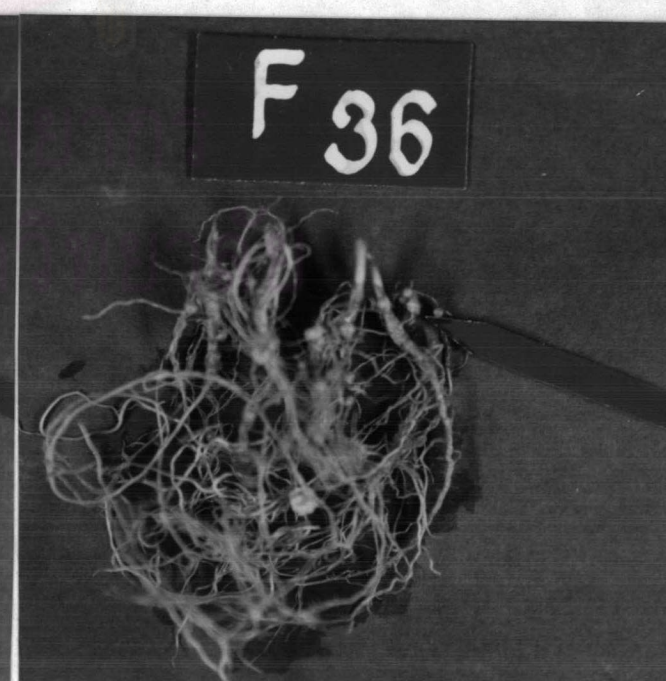
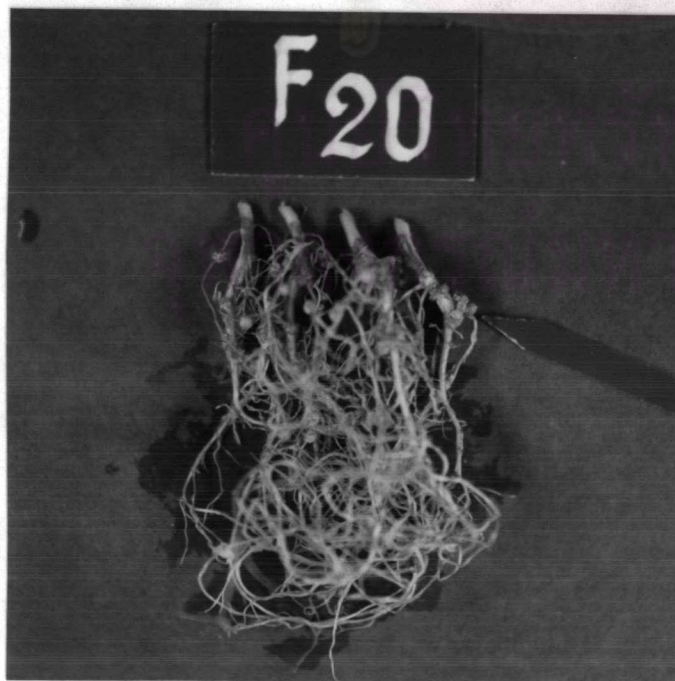
จ.

ค.



ช.

ซ.



ตารางที่ 16 ข้อมูลเกี่ยวกับการเจริญของต้นถั่วเหลืองอายุ 1 เดือน ซึ่งใส่เชื้อไรโซเบียมสายพันธุ์
พิวแทนต์และสายพันธุ์พ่อแม่

Strains	No. of nodules per rep.	Dry wt. of nodules per rep. (mg)	A.R.A. ⁽¹⁾ nmoles/hr/ g nodule	Plant dry wt. per rep. (g)	Plant height (cm)
TAL 141 <u>ure his</u>	2	10	2.6	2.158	32.6
	5	20.8	11.5	1.781	29.1
	0	0	0	2.164	34.8
USDA 192 Trp Phe	2	4.2	1.7	2.173	32.5
	2	8.4	2.5	2.615	36.3
	5	21.2	27.9	2.068	31.4
F11	0	0	0	1.805	30.4
	0	0	0	1.966	35.6
	0	0	0	1.906	28.8
F14	2	30.0	2.3	1.875	27.4
	3	33.9	4.7	1.835	31.1
	2	31.9	1.9	1.805	30.9
F15	4	41.0	8.9	1.858	29.9
	5	27.7	7.2	1.732	27.9
	2	16.0	5.6	1.848	29.7
F20	62	87.4	16.7	2.085	32.0
	79	102	7.1	2.237	33.0
	33	49.4	24.9	2.070	29.6
F36	40	59.6	16.1	2.202	30.5
	28	44.6	13.9	2.205	30.7
	31	41.4	96.8	1.854	28.3
Control	0	0	0	1.794	29.4
	0	0	0	1.882	27.3
	0	0	0	1.848	29.1

rep. = replicant : 1 replicant ประกอบด้วยต้นถั่วเหลือง 3 ต้นต่อ 1 Leonard jar
⁽¹⁾ แอคทีวิตีของการรีดิวซ์อะเซทิลีน จากการวัดด้วยเครื่องก๊าซโครมาโทกราฟีของ Varian
 model 3700, U.S.A.

ตารางที่ 17 ข้อมูลเกี่ยวกับการเจริญของต้นซีราโทรอายุ 1 เดือน ซึ่งใส่เชื้อไรโซเบียมสายพันธุ์
 พิวแซนด์และสายพันธุ์พ่อแม่

Strains	No. of nodules per rep.	Dry wt. of nodules per rep. (mg)	A.R.A. ⁽¹⁾ nmoles/hr/ g nodule	Plant dry wt. per rep. (g)	Plant height (cm)
TAL 141 <u>ure his</u>	0	0	0	.2573	4.3
	0	0	0	.3279	5.8
	3	7.1	23.66	.3083	4.1
USDA 192 Trp Phe	0	0	0	.2136	4.0
	8	16.8	4.99	.2518	4.4
	0	0	0	.2194	4.0
F11	0	20.2	0	.2926	4.6
	0	0	0	.2460	3.8
	0	0	0	.2721	4.1
F14	3	6.6	14.16	.2773	4.1
	0	0	0	.2406	3.7
	6	11.1	14.94	.2313	3.8
F15	3	2.6	4.58	.1991	3.5
	3	11.2	22.62	.3060	4.1
	7	23.8	24.30	.2762	4.9
F20	63	24.4	2.63	.2629	4.5
	70	31.5	1.45	.3600	5.7
	52	27.3	0.72	.3599	5.9
F36	40	18.3	0.18	.2488	4.5
	67	29.6	6.84	.2296	5.2
	59	21.0	1.41	.2302	5.1
Control	0	0	0	.2488	4.1
	0	0	0	.2296	5.3
	0	0	0	.2302	5.1

rep. = replicant : 1 replicant ประกอบด้วยต้นซีราโทร 4 ต้นต่อ 1 Leonard jar
⁽¹⁾ แอคทีวิตีของการรีดิวซ์อะเซทิลีน จากการวัดด้วยเครื่องก๊าซโครมาโตกราฟีของ Shimadzu
 model GC-R1A, Japan

ตารางที่ 18 ผลการวิเคราะห์ทางสถิติเกี่ยวกับสมบัติการติดปมของพิวแซนด์กับถั่วเหลือง
เปรียบเทียบกับไรโซเบียมสายพันธุ์พ่อแม่⁽¹⁾

Strains	No. of nodules per rep.	A.R.A. (nmoles C ₂ H ₂ / hr/g nodules)	Dry weight per plant (g)	Height (cm)
TAL 141	2 c	4.7	2.0343 abc	32.2
<u>ure his</u>				
USDA 192	3 c	10.7	2.2853 a	33.4
Trp Phe				
F11	0 c	0	1.8923 bc	31.6
F14	2 c	3.0	1.8383 bc	29.8
F15	4 c	7.2	1.8127 c	29.2
F20	58 a	16.2	2.1307 ab	31.5
F36	33 b	42.3	2.0870 abc	29.8
control	-	-	1.8413 bc	28.6
% C.V.	62.91	159.5	7.87	7.2

⁽¹⁾ ผลการวิเคราะห์ทางสถิติ ใช้โปรแกรม Completely Randomized Design (CRD)
จาก BANANA STAT PACK ซึ่งเขียนขึ้นโดย WITCHA CHALEEPROM

ตารางที่ 19 ผลการวิเคราะห์ทางสถิติเกี่ยวกับสมบัติการติดปมของพิวแซนด์กับซีราโทร
เปรียบเทียบกับไรโซเบียมสายพันธุ์พ่อแม่⁽¹⁾

Strains	No. of nodules per rep.	A.R.A. (nmoles C ₂ H ₂ / hr/g nodules)	Dry weight per plant (g)	Height (cm)
TAL 141 <u>ure his</u>	1	7.89	0.2978 ab	4.7333
USDA 192 <u>Trp Phe</u>	3	1.66	0.2283 c	4.1333
F11	0	0	0.2702 abc	4.1667
F14	3	9.70	0.2497 bc	3.8667
F15	4	17.17	0.2604 bc	4.1667
F20	62	1.60	0.3276 a	5.3667
F36	55	2.81	0.2362 bc	4.9333
control	-	-	0.2362 bc	4.8333
% C.V.	36.59	129.39	12.96	12.95

⁽¹⁾ ผลการวิเคราะห์ทางสถิติ ใช้โปรแกรม Completely Randomized Design (CRD)
จาก BANANA STAT PACK ซึ่งเขียนขึ้นโดย WITCHA CHALEEPROM

ตารางที่ 20 เปรียบเทียบสมบัติต่างๆ ของพืขาวขนดกึ่งห้าสายพันธุ์กับสายพันธุ์พ่อแม่

Investigated properties	Parental strains		Fusants			
	TAL141 <u>ure his</u>	USDA192 Trp Phe	F11	F14	F15	F20 and F36
1. Growth in MMG	-	-	2+	4+	4+	4+
2. YM + 8% sucrose	4+ ^{Suc+}	± ^{Suc-}	4+ ^{Suc+}	4+ ^{Suc+}	2+ ^{Suc+}	± ^{Suc-}
3. YM 42°C	4+	-	3+	4+	2+	-
4. YM + 0.3 M NaCl	3+	-	3+	4+	3+	-
5. Resist to antibiotics	Km ^r , Sm ^r	Km ^s , Sm ^s	Km ^r , Sm ^r	Km ^s , Sm ^s	Km ^r , Sm ^r	Km ^s , Sm ^s
6. Surface antigen cross reaction	TAL141	USDA192	TAL141 ^w	None	USDA192	USDA192
7. Chromosomal restriction pattern	TAL141	USDA192	TAL141	None	USDA192	USDA192
8. Nodulation to soybean	poor	poor	none	poor	medium	good
9. A.R.A. in soybean nodules	low	medium	none	low	medium	high

- = ไม่มีการเจริญ, ± = เจริญได้ < 10 % , + = เจริญได้ 25 % ,
2+ = เจริญได้ 50 % , 3+ = เจริญได้ 75 % , 4+ = เจริญได้ 100 %

^{Suc+} คือ สามารถใช้ซูโครสได้ดี ให้โคโลนีขนาดใหญ่มีเมือกใส

Km^r คือ ความสามารถในการต้านทานต่อยาต้านามัยซิน 50 ไมโครกรัมต่อมิลลิลิตร

Km^s คือ ความไม่สามารถในการต้านทานต่อยาต้านามัยซิน 50 ไมโครกรัมต่อมิลลิลิตร

Sm^r คือ ความสามารถในการต้านทานต่อยาสเตรปโตมัยซิน 25 ไมโครกรัมต่อมิลลิลิตร

Sm^s คือ ความไม่สามารถในการต้านทานต่อยาสเตรปโตมัยซิน 25 ไมโครกรัมต่อมิลลิลิตร

A.R.A. คือ แอควิวิตีการรื้อวัชอะเชทีลิน

TAL141 หมายถึง ลักษณะเหมือน TAL141 ure his ทุกประการ

TAL141^w หมายถึง ลักษณะเหมือน TAL141 ure his แต่มีความแตกต่างกันบ้างเล็กน้อย

USDA192 หมายถึง ลักษณะเหมือน USDA192 Trp Phe ทุกประการ